punctipectus sp. 4	⁷ stresema	nni sp.	90	torquatithorax	
queenslandicus sp. 11	Subana	g	54	subsp	17
Rhopalotritoma g. 2	' subviola	cea sp	60	triguttata sp	39
rubrifrons sp 8	' sumatra	na subsp.	. 76	Trimota g	27
rufipes var 19	sumatre	nsis sp	4 3	tripoecila sp	98
rufomarginata	sumbava	ına sp	62	Tritomophasma g.	27
subsp 9	3 Tambor	ia g	54	Tropidoscaphula	
samoensis sp 6	tamburi	nea sp	105	subg	56
schröderi sp 2) tayabasi	sp	49	uniramosa sp	96
septentrionis subsp.6	3 testaceic	ornis sp.	38	vagepunctata sp.	92
serrulatipes sp. 3	tonkiner	isis sp	83	vulnerata sp	63
Simocoptengis g. 5	tonkiner	<i>isis</i> s ub sp	. 24	wunderlichi sp.	23.
stigmosa sp 8					

Untersuchungen über Süßwasserperidineen und ihre Variationsformen

II.

Von

Dr. phil. E. Lindemann-Berlin-Tempelhof.

Mit 200 Textfiguren.

Vorliegende Arbeit bringt die Fortsetzung meiner Untersuchungen, die ich im Archiv für Protistenkunde, Bd. 39, Heft 3, unter gleichem Titel der Öffentlichkeit übergab. Die in letzterer Arbeit angegebene Untersuchungsmethode ist nunmehr auch besonders auf die häufigsten Vertreter der Sektion Cleistoperidinium angewandt worden, und es hat sich herausgestellt, daß auch diese Sektion eine Fülle von Variationsformen bildet. Die systematische Beurteilung derselben muß allerdings in einzelnen Fällen noch der Zukunft überlassen bleiben.

In meiner ersten Arbeit über Süßwasserperidineen und ihre Variationsformen unterschied ich zwei Arten von "echten Variationsformen", die sich unter folgende zwei Gesichtspunkte zusammenfassen ließen:

a) Formen, deren äußere Gestalt mit der Ausgangsform übereinstimmt, aber durch Änderung des Verlaufes der Interkalarstreifen ist der Charakter der Täfelung ein anderer geworden. (Variationsformen im engeren Sinne.) Beispiele: Peridinium cinctum und seine Varietäten regulatum, irregulatum, laesum, dissimile, curvatum usw.

b) Formen, deren Plattenanordnung im allgemeinen mit der Ausgangsform übereinstimmt, indessen ist die äußere Gestalt geändert durch starke dorsoventrale Abplattung, winklige Körperkontur, Farbe, Stachelbesatz usw. (Variationsformen im weiteren Sinne.) Eine Reihe neuer Beispiele dieser Gruppe sind bekannt geworden, so *Peridinium cinctum* forma angulatum, forma ovo-

planum; P. willei forma stagnale usw.

Bei der großen Fülle von neuen Variationsformen, die inzwischen gefunden worden sind, ist es oft recht schwer, eine praktische und zugleich einheitliche Nomenklatur zur Bezeichnung derselben zu finden. Ich habe hier prinzipiell die Formen der Gruppe b mit "forma" bezeichnet, wohingegen die weitaus häufigeren Formen der Gruppe a mindestens die Bezeichnung "varietas" erhalten haben - war die Täfelung der Epivalva vollkommen geändert, so wurde auch wohl eine neue Art aufgestellt. Besondere Aufmerksamkeit verdient eine "Variationsform" von *P. cinctum* aus dem Schaalsee (Lauenburg), Tiergartentief, von der nur ein Exemplar gefunden wurde: Peridinium scallense subvar. originale n.sp. n. subvar.; die Hypovalva derselben war getäfelt wie diejenige von Woloszyńskas Gattung Sphaerodinium! Nun hat Woloszyńska in solchen Fällen sogar stets eine neue Gattung aufgestellt, wie z. B. eben bei Sphaerodinium oder bei Chalubińskia tatrica. Dieses Verfahren kann nicht allgemein aufrecht erhalten werden, denn ich konnte nachweisen, daß auch bei sonst völlig normalen Formen von P. guestrowiense und P. cinctum ab und zu eine Hypovalvatäfelung vorkommt, wie wir sie bei der Gattung Sphaerodinium finden. Vielleicht ist diese Hypovalvatäfelung bei P. guestrowiense und cinctum als eine Reminiszenz an einfachere Stadien aus der Phylogenie dieser Formen aufzufassen, ich benenne sie daher stets mit "subvar. originale" — deswegen eine neue Gattung aufzustellen, liegt kein Anlaß vor. (subvar. deswegen, weil wir bereits var. sagen, wenn sich die Anordnung der Epivalvaplatten ändert.) (Siehe Seite 173.) Übrigens bin ich der Meinung, daß Chalubinskia tatrica zu P. aciculiferum — oder P. wierzejski-ähnlichen Formen zu stellen ist. Hierüber in einer späteren Arbeit weiteres.

Indem ich die zwei angeführten Gruppen von Variationsformen scharf trenne, wird es mir möglich, die Nomenklatur derselben nach einem einheitlichen Gesichtspunkte durchzuführen; zu vermeiden ist hierbei allerdings nicht, daß häufig die Bezeichnung "forma" gleich hinter den Artnamen tritt, ohne daß ihr die Bezeichnung "varietas" vorausgegangen wäre. Wenn dies auch nach den Regeln der Nomenklatur nicht wünschenswert erscheint, so ist es an dieser Stelle doch nicht zu umgehen, da sonst durch eine unendliche Fülle neuzubildender Namen jede Übersichtlichkeit ge-

stört würde. (Siehe auch Seite 172.)

Ein Beispiel soll meine Ausführungen erläutern. Bei dem von mir abgebildeten Exemplare von P. willei forma stagnale (Fig. 85) bildet der zwischen der zweiten pr und der dritten pr gelegene Interkalarstreifen mit dem zwischen der r vap und der r map gelegenen Interkalarstreifen fast eine gerade Linie. Eine solche Form müßte nach meinen Ausführungen auf Seite 174 die Bezeichnung "var. β -collineatum" erhalten. Ist nun zu gleicher Zeit, wie bei

Fig. 84, 85 die ganze Form gleichmäßig dorsoventral zusammengedrückt, so würde man diese Form als P. willei var. β -collineatum forma stagnale zu bezeichnen haben. Dieses ist nun ein seltener Fall. Diese dorsoventral zusammengedrückte Form von P. willei tritt nämlich in den meisten Fällen mit normaler Epivalvatäfelung auf, und in diesem Falle muß der Name derselben P. willei forma stagnale lauten, denn, wollte man hier P. w. var. stagnale sagen (nach den Nomenklaturregeln wohl besser), so würde die Bezeichnung "stagnale" bald als "var.", bald als "forma" fungieren - es würde also dieselbe Art der Variierung einmal mit "var." und ein andermal mit "forma" bezeichnet. Daß dies eine nomenklatorische Absurdität wäre, ist leicht einzusehen.

Hier sei deshalb nochmals der Grundsatz aufgestellt: Änderung der Täfelung (Gruppe a) berechtigt mindestens zur Aufstellung einer neuen Varietät, Änderung der äuße-

ren Form (Gruppe b) wird mit "forma" bezeichnet. Nun noch einige Worte über die Variationsformen der Gruppe a. (Variationsformen im engeren Sinne.) Schon im Archiv für Protistenkunde habe ich darzulegen versucht, daß ich aus theoretischen Gründen an die Existenz solcher Variationsformen glaubte, und daß dann meine Befunde die Erwartungen weit übertrafen. Ich habe dort auf Seite 6 im ganzen 7 verschiedene Prinzipien der Abweichungen von der normalen Epivalvatäfelung aufgestellt, muß aber hier hinzufügen, daß ich in vorliegender Arbeit solche Täfelungen abbilde, welche scheinbar jeder Bildungsregel spotten, so daß man im Zweifel sein kann, wo denn eigentlich die "normalen" Formen aufhören und die "Mißbildungen" beginnen. Es finden sich nämlich in der Tat auch Formen, die ich als Mißbil-

dungen ansehe, und ich werde solche hier abbilden.

Es gibt nur ein Mittel, abweichende Formen aufzufinden: man muß in jedem Fange nicht nur ein paar Exemplare, sondern eine große Menge der Vertreter ein und derselben Peridineenart miteinander vergleichen - so findet man stets nur einzelne Exemplare der gesuchten Variationsformen. Setzt man dieses Verfahren nun bei zahllosen Fängen fort, so findet man, daß Abweichungen, die man im ersten Augenblick für Mißbildungen halten möchte, sich ganz konstant in den verschiedensten Fängen wiederfinden ich kann aus diesem Grunde nicht umhin, solche Abweichungen als seltene Varietäten oder gar Arten anzusehen! Das schönste Beispiel hierfür bietet *Peridinium* eximium n. sp., eine Form, die zuerst von mir im Wollsteiner See (Posen) (11. 7. 1916), dann am 13. 12. 1904 in der Eschbachtalsperre bei Remscheid und in etwas veränderter Form am 20. 4. 1903 hierselbst noch einmal aufgefunden wurde! Die größte Variationsfähigkeit habe ich übrigens bei P. elpatiewskyi gefunden. Sieht man sich nun die Fülle der "Variationsformen im

engeren Sinne" an, so bemerkt man, daß unter zahllosen, scheinbar regellosen Veränderungen der Epivalvatäfelung sich sehr häufig solche Veränderungen finden, die auf eine seitliche Wanderung der Interkalarstreifen zwischen den pr zurückzuführen sind. Diese Formen sind von mir als var. collineatum, bicollineatum, travectum, bitravectum usw. bezeichnet worden, und ich habe dieselben in einem eigenen Kapitel dieser Arbeit ausführlich besprochen.

(S. 174.)

Vorliegende Untersuchungen sind nun inhaltlich so angeordnet, daß zunächst einzelne Formen, ohne besonderen Zusammenhang nebeneinander gestellt, besprochen werden; sodann aber habe ich die übrigen zu behandelnden Peridineen in 3 Gruppen sondern können, die ich auch möglichst vollzählig abzubilden gedenke:

1. Die nach 3 Typen der Epivalvatäfelung geordnete Gruppe (Archiv f. Prot., Bd. 39, Heft 3, Seite 237 u. f.), zu der nun auch die über 30 µ großen Vertreter hinzukommen; 2. Gruppe Peridinium willei und guestrowiense und 3. Gruppe Peridinium cinctum. Diese 3 Gruppen werden mit Bestimmungsschlüsseln versehen, so daß hier ein Anfang zu einem neuen Bestimmungswerke für Süßwasserperidineen vorliegt.

In einem besonderen Kapitel werde ich dann noch die Nomenklatur der Variationsformen bei den Peridineen ausführlicher besprechen, als dieselbe in der Einleitung angedeutet werden konnte, und zum Schluß wird uns ein Anhang über das Vorkommen und die geographische Verbreitung von häufigeren Peridineenformen

berichten.

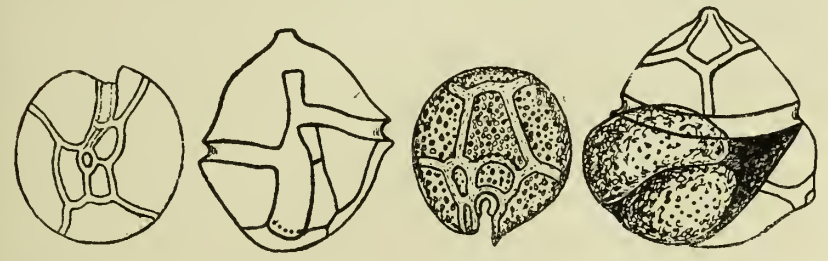
Jedes *Peridinium* muß bekanntlich so orientiert werden, daß man von der dorsalen zur ventralen Seite hinsieht. Ich habe nun dementsprechend in dieser Arbeit auch die Epivalvatäfelungen (abweichend von früher) so abgebildet, daß die rechten pr wirklich auch in der Zeichnung sich rechts befinden und die linken links. Es liegt also nunmehr in der Ansicht der Epivalvatäfelung die ventrale Seite nach oben, in der Ansicht der Hypovalvatäfelung dagegen ist diese Seite nach unten gerichtet.

Gonyaulax limnetica mihi. Textfig. 1-4.

Die Diagnose dieser Form findet sich im Arch. f. Prot., Bd. 39, Heft 3, Seite 220, 221. Sie gehört zu den häufigsten Vertretern der Peridineen unserer größeren Seen und konnte nunmehr systematisch völlig sichergestellt werden. Von Gonyaulax apiculata var. clevei Ostenf. ist diese Form durch die Epivalvatäfelung, aber auch durch die Panzerausbildung, gänzlich verschieden (ich konnte die var. clevei inzwischen in Gewässern bei Konstantinopel feststellen); dagegen halte ich G. limnetica bis auf kleine Abweichungen für identisch mit G. polonica Wolosz. Erstere ändert ab: Stachelbildungen am Ende der Längsfurche fehlen ganz (Krakower See) oder sind schwach bis gut ausgebildet vorhanden (z. B. Baalensee bei Fürstenberg) (Textfig. 2, 3); manchmal finden sich Verdickungen an den Seiten der Längsfurche (Schlawasee), und letztere kann bis zum Hinterende reichen oder kürzer sein. Auch die Breite

der Längsfurche wechselt. Endlich kann die Epivalva größer als die Hypovalva erscheinen (Krakower See), oder die letztere ist größer und halbkugelig gestaltet (so von mir im Bodensee beobachtet.) Besondere Schwierigkeit macht die genaue Feststellung der Epivalvatäfelung, da die Interkalarstreifen, besonders am Apex, unbestimmt erscheinen. Ich bilde darum hier nochmals die Epivalva eines Exemplares aus dem Großen Plöner See (Juli 1895) ab (Textfig. 1). Diese Abbildung scheint mir die tatsächlichen Verhältnisse besser zu treffen, als die früher (Arch. f. Protk.) von mir gegebenen Abbildungen.

Die Textfiguren sind vom Verf. mit einem Abbe'schen Zeichenapparate bei Oc. 4, Obj. 7b (Leitz) entworfen worden. Dieselben sind beim Druck um 1/3 verkleinert.



See).

Fig. 2. form.)

am Ende der Längsfurche.

Fig. 4. Gonyaulax limneticamihi. Epivalvatäfelung.
(Großer Plöner see.) (UmrißStachelbildungen Gonyaulax limneGonyaulax limneGonyaulax limneGonyaulax limneGonyaulax limneGonyaulax limnetica mihi. Hypomihi. Teilung der
valva(Baalensee).
Stachelbildungen Zerreißung und Abwerfung ihrer

In Fig. 4 bilde ich eine "Teilung der nackten Zelle unter Zerreißung und Abwerfung ihrer Hülle" ab. Gallertbildung war kaum zu erkennen. (Baalensee.)¹)

Wahrscheinlich ist Gonyaulax limnetica mit G. polonica zu vereinigen, ausschlaggebend hierfür ist nur der Bau der Epi-valvatäfelung, alles andere ist unbedeutend. Aber gerade die Epivalvatäfelung ist bei diesen Formen meist undeutlich, besonders, wenn keine Interkalarstreifen vorhanden sind, daher sei die Vereinigung dieser Formen nicht eher vollzogen, als bis Exemplare aus der Tatra zur Untersuchung vorgelegen haben.

Vorkommen: Holstein in 8 Seen. Mecklenburg: in 3 Seen. Lauenburg: Schaalsee. Pommern: Madü-See. Westpreußen: Kafkensee. Ostpreußen: Mauersee, Kosnosee. Neumark: Pulssee. Schlesien: Schlawasee. — Bodensee. (Siehe S. 187.)

¹⁾ G. limnetica wurde im Schlawasee lebend beobachtet: nach Sprengung der Hülle, deren Hälften oft nur noch lose zusammenhingen, wurde der Zellinhalt frei, um sich dann zu teilen. Beim Absterben unter Deckglas trat Pustelbildung auf.

Diplopsalis acuta Entz. Textfig. 5-9.

- = Peridinium latum Pauls.
- = Glenodinium acutum Apst.



Fig. 5. Diplopsalis acuta Entz. Ventralansicht.

Fig. 9.

Diplopsalis acuta

Entz.

Hypovalva.

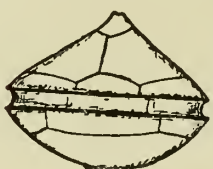


Fig. 6. Diplopsalis acuta Entz. Dorsal.



Fig. 7. Diplopsalis acuta Entz. Von der linken Seite.



Fig. 8. Diplopsalis acuta Entz. Epivalvatäfelung.

Es dürfte zweckmäßig sein, hier möglichst naturgetreue Abbildungen dieser Form beizufügen. Besonders die Epivalva-

täfelung ist meines Wissens bisher stets verzerrt angegeben. Die Variationsfähigkeit dieser Form

ist gering.

Daß Diplopsalis auch im Glenodinium-artigen Zustande vorkommt, konnte ich bereits im Arch. f. Prot., S. 217 anführen (dortselbst Textfig. 3).

Vorkommen: D. ist viel verbreiteter als man gewöhnlich anzunehmen pflegt. Diese Form fehlt wohl kaum in einem (kleineren) See, doch ist sie meist nur in sehr geringer Zahl auftretend.

Peridinium penardiforme mihi. Textfig. 10-15.

Diese Form fand ich am 2. Juli 1918 am Ufer des Schlawasees (Schlesien) und stellte sie Herrn Dr. Br. Schröder für seine Publikation über das Plankton dieses Gewässers (Berichte d. deutsch-



Fig. 10. Peridinium penar- Peridinium pediforme mihi. Habitusbild mit Kern.



Fig. 11. nardiforme mihi. Ventral.



Fig. 12. Peridinium penardiforme mihi. Dorsal.



Fig. 13. Peridinium penardiforme mihi. Von der Seite.

bot. Ges.) zur Verfügung. P. penardiforme ist leicht mit P. penardi Lemm. zu verwechseln: deswegen seien hier auch die Unterschiede zwischen beiden Formen deutlich hervorgehoben.

Diagnose: Zellen eiförmig, dorsoventral stark abgeplattet, am antapikalen Pole schwach eingebuchtet. Länge 30-34 μ;

Breite 26—30 μ . Apex vorhanden, Querfurche fast kreisförmig, Längsfurche kaum auf die Epivalva übergreifend, sehr breit, bis zum Hinterende reichend. Valven fast gleich groß. Epivalva platt-kegelförmig mit 6 pr + 1 r +



Fig. 14 Peridinium Penardiforme mihi. Epivalvatäfelung.



Fig. 15. Peridinium penar-diforme mihi. Hypovalvatäfelung.

2 vap + 1 dap. Die dap meist nicht ganz bis an den Apex reichend. Hypovalva zusammengedrückt-halbkugelig, unten ausgerandet, mit 5 pst + 2 at; letztere meist gleich groß, selten etwas ungleich. Panzer dick und stark areoliert, oft mit breiten Interkalarstreifen. Bisher nur farblose Exemplare gesehen. Kern rundlich, zentral.

Die Unterschiede zwischen P. penardiforme und P. penardi

lassen sich wie folgt gegenüberstellen:

P. penardi.

Dorsoventral kaum zusammengedrückt.

Panzer stets zart (Glenodinium-artig); ohne Areolierung.

Längsfurche schmäler, unten abgerundet.

Hypovalva in Ventralansicht halbkreisförmig,

dap bis zum Apex reichend; in der Dorsalansicht ganz sichtbar.

P. penardiforme.

Dorsoventral sehr stark zusammengedrückt.

Panzer dick; areoliert.

Längsfurche sehr breit, bis zum Ende reichend.

Hypovalva unten mit einer seichten Einbuchtung (konkav).

dap meist nicht ganz bis zum Apexreichend; in Dorsalansicht seitlich nicht ganz sichtbar, weil sehr breit.

Vorkommen: Ufer des Schlawasees, 2. Juli 1918, selten. Witoslawer See (Posen), 29. Juli 1917, 1 Ex. (auch Juli 1918). Teich bei der Brennerei am Schloß Karlshof b. Borek (Posen), Juli 1918

Peridinium berolinense Lemm, Textfig. 16.

Abbildungen: siehe Arch. f. Prot. Bd. 39, Heft 3, S. 246. Ein überraschender Fund ist hier nachzutragen: P. berolinense, welches bisher stets nur mit sehr zarter, glenodiniumartiger Täfelung beobachtet wurde, kommt auch mit einem starken, gut areolierten Panzer vor. Die Täfelung stimmt genau mit der von mir angegebenen überein, nur die flügelartige Leiste am linken Seitenrande der Längsfurche war weniger deutlich ausgebildet als sonst, dafür fand sich auch am rechten Seitenrande eine kleine Ver-



Fig. 16.

Peridinium berolinense Lemm.

Mit dickem Panzer.

Ventral.

dickungsleiste. Bisher konnte ich eine Reihe starkbepanzerter Peridineen in einem "Glenodiniumzustande" nachweisen; hier liegt ein umgekehrter Fall vor: eine "glenodiniumähnliche" Form tritt mit starkem Panzer auf!

Vorkommen: Anscheinend sehr selten mit starkem Panzer. Bisher wurde nur 1 Exemplar im Kleinen Plöner See (30.7.1917) (36 µ lang) gefunden.

Das Material verdanke ich der Liebens-

würdigkeit des Herrn Professor Dr. A. Thienemann, Plön.

Peridinium elpatiewskyi (Ostenf) Lemm. forma brigantinum n. f. Textfig. 17.

In fast allen Proben, die mir aus dem Bodensee (bei Lindau) zur Verfügung standen, fand sich einzeln eine Form von P. elpatiewskyi, die ich als forma brigantinum von der

Hauptform sondern möchte.



Fig. 17.

Peridinium elpatiewskyi (Ostenf.)

Lemm. forma brigantinum n. f.

Dorsal.

Diagnose dieser Form: Unterscheidet sich von der Hauptform durch eine oft sehr starke Verkleinerung der Apikalplatten, so daß dieselben in der Seitenansicht in einzelnen Fällen kaum mehr erkennbar sind. Stachelbildungen an der Hypovalva sind bis jetzt bei dieser Form nicht beobachtet worden.

(Bezüglich der Stachelbildungen vermag ich nicht mit Sicherheit anzugeben, ob das Material noch in genügend gutem Erhaltungs-

zustande war.) Die Proben (am 24. 7. 1918 gefischt) verdanke ich dem freundlichen Interesse des Frl. L. Koch, Biberach; ich sage derselben auch hier meinen herzlichen Dank.

Peridinium laeve Huitf.-Kaas. Textfig. 18.



Fig. 18.

Peridinium laeve
Huitf.-Kaas.
Epivalvatäfelung.

Die Diagnose gab ich im Arch. f. Prot., Bd. 39, Heft 3, S. 254. Wie ich dort zeigte, kommt für die Unterscheidung dieser Form von *P. laeve* subsp. *marssoni* vor allem die Gestalt der map in Betracht. Die dort in Textfig. 124 abgedruckte Epivalvatäfelung besitzt noch eine etwas schief orientierte map, welche auch noch eine ganz geringe Abweichung von der von Huitfeldt-Kaas angegebenen quadratischen Form zeigt. Ich bilde daher hier noch einmal eine Epivalva ab, die den Typus *P. laeve* in denkbar bester Ausbildung wiedergibt.

So leicht man P. laeve subsp. marssoni im Winter und Frühjahre in fast jedem Gewässer antrifft, so schwer ist P. laeve mit

typischer Epivalva zu finden, da letztere Form meist einzeln der ersteren beigemengt ist und die map selbst bei diesen Exemplaren

selten genau quadratisch auftritt. Das Exemplar von P. laeve, dessen Epivalva hier in Textfig. 18 abgebildet ist, entstammt einem gänz-lich mit Pflanzen zugewachsenen Wiesentümpel am Ufer des Linciusz-See nördlich Lissa (Posen). (18. 5. 1918.)

Endlich kann ich hier mitteilen, daß ich den von mir beschriebenen neuen Fortpflanzungsmodus: "Teilung der Zelle samt ihrer Hülle Peridinium laeve (Panzer) im beweglichen Zustande" auch an P. laeve subsp. marssoni beobachtete (Textfig. 19) und zwar in Proben aus dem Teiche samt ihrer Hülle botanischen Gartens zu Breslau (16. 5. 1918), (Panzer) im bewegdie mir durch die dortige Assistentin, Frl. lichen Zustande. Käthe Reiter, freundlichst zur Verfügung gestellt wurden. Ich spreche Frl. Reiter auch an dieser Stelle hierfür meinen verbindlichsten Dank aus.



Fig. 19.

Peridinium tabulatum (Ehrbg.) Clap et Lachm. Textfig. 20-26.

Wie ich aus der Literatur ersehe, wird diese bestgekannte Form sehr häufig nicht mit Sicherheit identifiziert, besonders,

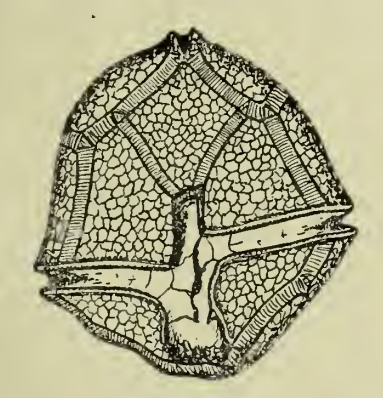


Fig. 20. Peridinium tabulatum (Ehrbg.) Clap. et Lachm. Ventralansicht.

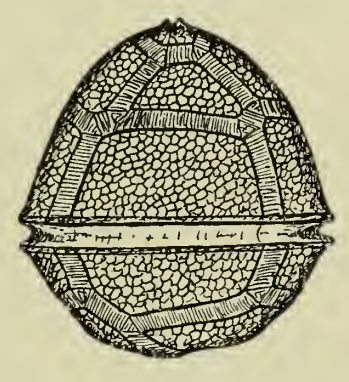


Fig. 21. Peridinium tabulatum (Ehrbg.) Clap. et Lachm. Dorsal. Man beachte die mdap.

wenn sie in Seen auftritt. Zunächst ist stets darauf zu achten, daß dieselbe einen Apex besitzt (!), also eine Verwechslung mit P. willei-Formen ist hierdurch ausgeschlossen. Ferner fällt auf, daß Stein eine andere Epivalvatäfelung abbildet, als Schilling in seiner Süßwasserflora S. 35 wiedergibt. Nach meinen Befunden entspricht die Abbildung von Stein der Wirklichkeit: ich gebe die

Archiv für Naturgeschichte 1918. A. 8.

Epivalvatäfelung in Textfig. 22 nochmals wieder. Ein P. tabulatum, wie Schilling es abbildet, ist von mir bis jetzt niemals ge-

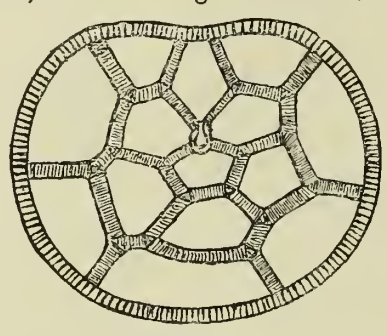


Fig. 22.

Peridinium tabulatum (Ehrbg.)

Clap. et Lachm.

Epivalvatäfelung.

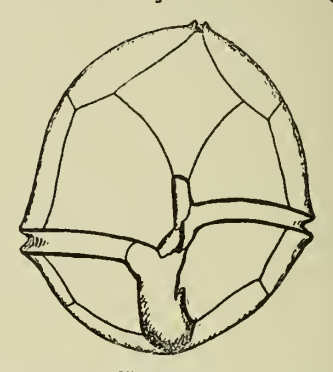


Fig. 23.

Peridinium tabulatum (Ehrbg.)
Clap. et Lachm. Glenodiniumartiger Zustand.

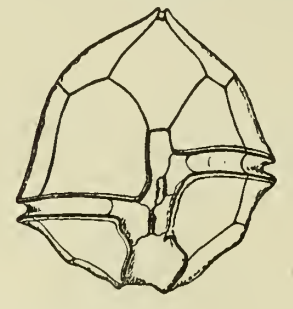


Fig. 24.

Peridinium tabulatum (Ehrbg.)
Clap. et Lachm. Eigentümliche Formausbildung.

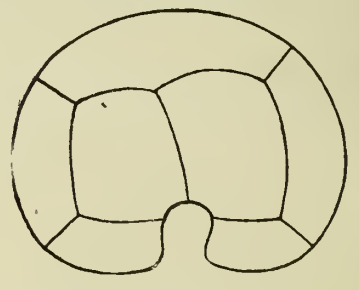


Fig. 25.

Peridinium tabulatum (Ehrbg.)

Clap. et Lachm.

Hypovalvatäfelung.

funden worden, und ich glaube, daß es sich hier um eine Verwechslung mit gewissen Formen von $P.\ bipes$ Stein (siehe dort) handelt.

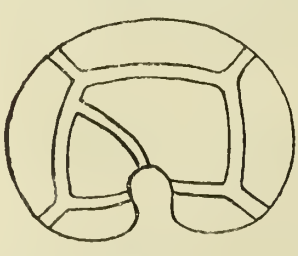


Fig. 26.

Peridinium tabulatum
(Ehrbg.) Clap. et Lachm.
Variation der Hypovalvatäfelung.

Selbst bei diesem großen Vertreter der Gattung Peridinium habe ich "glenodiniumartige" Zustände gefunden (siehe Textfig. 23) und es bestätigt sich auch das im Arch. f. Prot., Bd. 39, Heft 3, Seite 213 Gesagte: die Größe der at ändert sich bei ein und derselben Form meist außerordentlich. Ein hübsches Beispiel bringen hier die Textfiguren 25 und 26. Sämtliche Figuren nach Exemplaren aus dem Kankeler Waldteich bei Lissa (Posen). (Juni 1917.)

Es wird sich nun um die Unterscheidung dieser Form von gewissen Ausbildungsformen von P. bipes Stein handeln.

Peridinium bipes Stein,

Zunächst sei hier wiederum auf die Abbildung der Epivalvatäfelung (Textfig. 30) hingewiesen: dieselbe findet sich bei Schilling (Lemmermann) nicht ganz richtig, indem die m. map²) fehlerhaft

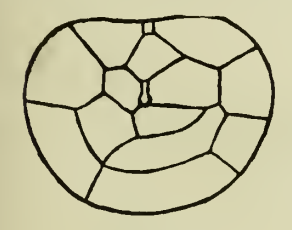


Fig. 32. Peridinium bipes Stein. Abnorme Epivalva-täfelung. (Lehmteich, Trebchen.) (Junges Exemplar.)

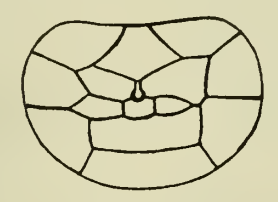


Fig. 33. Peridinium Stein. AbnormeEpivalvatäfelung. (Großer Modebröckensee 17. 2. 1919.)

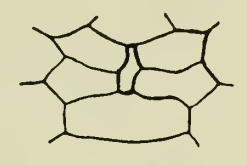


Fig. 34. Peridinium bipes Stein. Apex abnorm vergrößert, da die m map fanz fehlt und mit zur Apexöffnung geworden ist. (Edeberg-See 4.2. 1919.)

dargestellt ist. Interessante Mißbildungen, die bei dieser sonst sehr konstanten Form hin und wieder vorkommen, fanden sich im Ziegeleiteiche von Trebchen bei Lissa (Posen) (die Form erinnert

an P. cinctum) (Textfig. 32), im Großen Madebröckensee (Holstein) (Textfig. 33) und im Edebergsee (Holstein) (Textfig.34) (Apex abnorm groß). Ferner bildet Schilling (Lemmermann) die Hypovalva mit zwei gleichgroßen at ab, während dieselben fast immer ungleich sind. (Textfig. 31.) Die Länge von P. bipes wird von Lemmermann mit 45 μ angegeben; ich fand im Pulssee (Holstein) (11. 9. 1918) manche Exemplare, deren Länge 70 µ betrug. In diesem See fanden sich normale Formen mit der var. occultatum und der forma globosum vereinigt. (Es gab dort auch Formen, die P. bipes var. occultatum forma globosum zu benennen wären.) Im Sepoldteiche bei Lissa (Posen) fand sich endlich ein

Glenodiniumzustand. (Textfig. 36.)

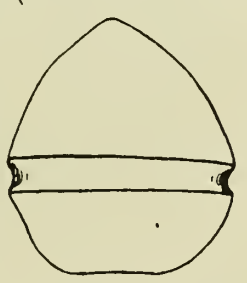


Fig. 36. Peridinium bipes Stein Glenodiniumzustand. (Sepoldteich, Lissa **17.** 10. 1918.)

²) Hiermit sei nochmals auf die von mir vorgeschlagene (Arch. f. Protk., Bd. 39) erweiterte Abkürzungsbezeichnung f. d. Apikalplatten aufmerksam gemacht: ich unterscheide z. B., wenn wir die mittlere Apikalplattenreihe nehmen, hier eine r map (rechte "mittlere Apikalplatte"), eine m map (mittlere "mittlere Apikalplatte") und eine l map (linke map). Ebenso bei den vap und dap, wenn solche in Mehrzahl vorhanden sind.

Besondere Beachtung verdienen folgende Variationsformen:

Peridinium bipes var. excisum Lemm. (Textfig. 27.)

Flügelleisten der Hypovalva an der Spitze ausgerandet, sonst wie die typische Form. Textfig. 27 aus dem Templiner See; das Material verdanke ich Herrn Oberlehrer Dr. Hucke, Templin, dem ich hiermit meinen herzlichen Dank für die Übersendung von Planktonproben ausspreche, und

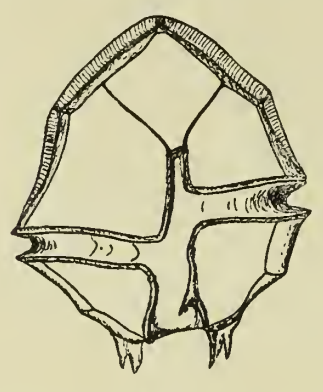


Fig. 27.

Peridinium bipes var. exisum
Lemm. Ventral. (Templiner See.)

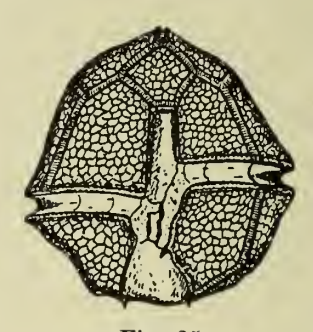


Fig. 35.

Peridinium bipes var.

occultatum n. var. Ventral.

(4. 6. 1918. Ziegeleiteich,

Trebchen.)

Peridinium bipes var. occultatum n. var. (Textfig. 35.)

Flügelleisten der Hypovalva sehr reduziert bis gänzlich fehlend, sonst wie die typische Form.

Bei Glenodinium-artigen Stadien fehlen diese Flügelleisten stets.

Hier erhebt sich nun die Frage: wie können wir solche Formen, wie P. bipes var. occultatum, wenn ihre Flügelleisten gänzlich reduziert sind, von P. tabulatum unterscheiden? (Man vergleiche die Textfiguren 24 und 35 miteinander.) Denken wir uns die kleinen Spitzen der Flügelleisten bei Textfig. 35 auch noch fort, so würde dieses P. bipes ein "P. tabulatum" darstellen, etwa wie Schilling es in seiner Süßwasserflora auf S. 35 abbildet. Eine sichere Unterscheidung ist hier nur durch die Gestalt der dap möglich!

Reine Populationen dieser Form ohne Flügelleisten mit dickem Panzer habe ich noch nicht angetroffen; stets fand ich nur einzelne Exemplare unter typischen *P. bipes*-Formen.

Peridinium bipes forma globosum n. f. (Textfig. 28-31.)

Form fast kugelig, nur dorsoventral etwas zusammengedrückt. Sonst wie die typische Form. (Letztere ist stets in richtiger Weise bedeutend länger als breit angegeben.) 60 μ lang; ebenso breit. Vorkommen: häufig; die Textfig. 28—31 nach einer Form

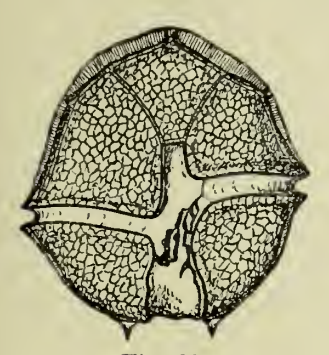


Fig. 28.

Peridinium bipes forma
globosum n. f. Ventral.
60 \(\mu \) lang; ebenso breit.
(Moor bei Heingarten.)



Fig. 29.

Peridinium bipes forma globosum
n. f. Dorsal.

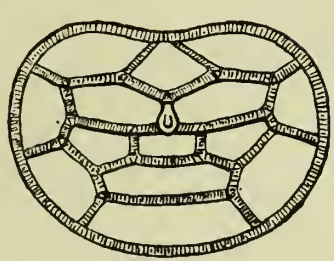


Fig. 30.

Peridinium bipes forma globosum

n. f. Epivalvatäfelung (wie P.
bipes Stein). (Apex mit Masse
ausgefüllt. Die Kämme an den
hinteren Rändern der Interkalarstreifen.)

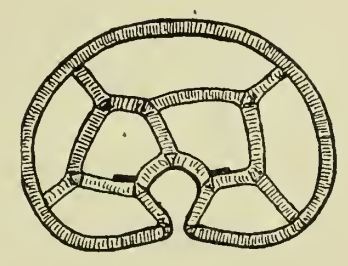


Fig. 31.

Peridinium bipes forma
globosum n. f. Hypovalvatäfelung (wie P. bipes
Stein).

entworfen, die aus dem Moor bei Heingarten (Baden) (11. 1908) stammt. Das Material verdanke ich Herrn Dr. Schaedel.

Die nach 3 Typen der Epivalvatäfelung geordnete Peridineengruppe.

Im Arch. f. Protk. Bd. 39, Heft 3, Seite 245 kam ich zu dem Ergebnis, daß P. munusculum — var. contactum — pusillum (inconspicuum) und P. africanum — var. contactum — P. tatricum var. spinulosum eine große Formengruppe darstellen. Ich ordnete die Epivalvatäfelung dieser Formen nach folgendem Schema:

Typus I.

(Textfig. 37.) map reicht mit ihrer ganzen dorsalen Seite bis an die 4 pr.

Nachdiesem Typus sind gebaut:

P. umbonatum mit

var.

P. linzium n. sp. P. achromaticum Lev.

P. tatricum var. spinulosum Wołosz.

P. goslavienseWołosz.

P. pusillum Lemm.
P. inconspicuum
Lemm.

P. trochoideum(Stein) Lemni. Typus II.

(Textfig. 38.) map berührt nur mit ihrer dorsalen Ecke die 4pr: mediane Interkalarstreifen der 3 dap bilden ein Kreuz.

Nachdiesem Typus

sind gebaut:

P. lubieniense var.
contactum mihi

P. africanum var. contactum mihi

P. munusculum var. contactum mihi

Typus III.

(Textfig. 39.) map reicht nicht bis an die 4 pr: die 2 sap trennen die 1 map von 4 pr, hierdurch entsteht zwischen map und 4 pr ein längsgerichteter Interkalarstreifen.

Nach diesem Typus sind gebaut:

P. lubieniense Wołosz.
P. dzieduszycki
Wołosz.

P. tatricum Wołosz.

P. africanum Lemm. P. munusculum mihi.



Fig. 37,



Fig. 38,



Fig 39.

Schematische Darstellung der 3 Typen der Anordnung der dorsalen Epivalvaplatten bei der ersten Gruppe.

Die Textfiguren 37—39 veranschaulichen diese Typen. (Die vap sind fortgelassen, da ihre Lage im Plattenverbande stets die

gleiche ist.)

Zn den bereits in meiner früheren Arbeit angeführten Formen dieser großen Gruppe kommen nunmehr noch eine größere Anzahl hinzu, die ebenfalls stets diesen Typen entsprechen; ihre Epivalvatäfelung ist ausnahmslos nach der Formel 7 pr + 1 r + 2 vap + 1 map + 2 dap gebaut.3)

Wir wollen alle diese Formen jetzt in einer Bestimmungstabelle zusammenfassen, müssen aber zuvor bemerken, daß dieselben nach einem äußerlichen Merkmal, nämlich der Körpergröße in zwei große Untergruppen geteilt werden: es erhebt sich nun hier die Frage, ob nicht vielleicht durch dieses Verfahren Wuchsformen derselben Art in zwei gänzlich verschiedene Abteilungen hineinkommen und dazu noch mit verschiedenen Namen belegt werden.

Diese Frage ist schwer zu entscheiden. Wenn ich auch beispielsweise der Ansicht zuneige, daß Peridinium umbonatum (var.

 $^{^{8})}$ Statt dapkann man auch sap schreiben. Es werden auch wohl die 1 map + 2 dap als 3 dap zusammengefaßt. Ich schlage obige Schreibweise vor.

papilliferum) und P. pusillum verschiedene Größenformen derselben Art darstellen, mithin nicht in 2 Arten getrennt werden dürften, so wäre eine Entscheidung darüber kaum zu fällen, ob man P. munusculum als zusammengehörig mit P. lubieniense (dzieduszycki), oder mit P. tatricum oder mit Formen wie meine Textfig. 44, 45 ansehen soll. Beachtenswert ist jedenfalls, daß die verschiedenen Größenformen sich konstant so vorfinden: entweder sind sie 20 µ bis höchstens 28 μ lang, oder über 30 μ bis zu 45 μ und darüber. Ein Sprung bei etwa 30 μ Länge ist unverkennbar. Ich schlage daher vor, die bisher gebrauchten Namen beizubehalten, weil es praktisch ist, dies zu tun.

Bestimmungstabelle.

A. Form über 30 μ bis etwa 50 μ lang.

1. Epivalvatäfelung entspricht dem Typus I:

a) Hypovalva halbkugelig, ohne Ecken und Stachelbesatz P. umbonatum Stein⁴)

b) Hypovalva mit 3 stumpfen Ecken (ob an diesen Ecken Stacheln vorhanden, war bisher nicht zu entscheiden) P. linzium mihi.

c) Hypovalva ohne Ecken, doch die Ränder der Längsfurche kammartig erhöht und in ventraler und dorsaler Ansicht als zwei kurze Stacheln erscheinend P. achromaticum Lev.

d) Hypovalva hinten tief ausgerandet, die linke at trägt einen großen Zahn. (Größe mit 30 μ angegeben) P. tatricum var. spinulosum Wołosz.

2. Epivalvatäfelung entspricht dem Typus III:

a) Hypovalva mit 3 stumpfen Ecken (aber ohne Stacheln), at mit Papillen auf den Platten P. lubieniense Wolosz.

b) wie a, nur die Papillen auf den at fehlen (Hypovalvaplatten konkav, rechte at größer als die linke) P. dzieduszycki Wolosz.

c) Hypovalva mit 3 stumpfen Ecken, die je einen deutlichen Stachel tragen P. tatricum Wołosz.

d) Hypovalva hinten ausgerandet, die linke at trägt einen großen Zahn P. africanum Lemm. (Wenn dieser Zahn in Dornen aufgelöst ist, so spricht man von einer forma spinosum.)

3. Epivalvatäfelung entspricht dem Typus II:

a) Merkmale wie bei 2 a P. lubieniense var. contactum mihi. b) Merkmale wie bei 2 d P. africanum var. contactum mihi (Falls Zahn in Dornen aufgelöst: P. africanum var. contactum forma spinosum mihi.)

B. Form etwa 30 μ lang. (Übergangsformen.) Epivalvatäfelung entspricht dem Typus I:

a) Größe 30 μ und kleiner; Hypovalva halbkugelig, ohne

⁴⁾ Wenn Papillen an den Plattenrändern vorhanden, so kann man P. umbonatum var. papilliferum Lemm. bezeichnen. Eine nähere Untersuchung dieser Form behalte ich mir vor.

Stacheln, jedoch mit einem stachelähnlichen Anhange am antapikalen Pole (Form oft mit "Apikalblase")

P. goslaviense Wołosz.

- b) Merkmale wie bei A1d; (Woloszyńska gibt für diese Form die Größe 30 μ an) P. tatricum var. spinulosum Wolosz.
- C. Form etwa 18 μ bis 28 μ lang.

1. Epivalvatäfelung entspricht dem Typus I:

- a) 20—30 μ lang; Merkmale wie bei Ba. (Umriß der Gestalt charakteristisch)
 P. goslaviense Wołosz.
- b) Hypovalva halbkugelig, ohne Ecken und Stachelbesatz (höchstens an den Plattenrändern winzige Papillen tragend)

 P. pusillum Lemm.
- c) Hypovalva mit 3 stumpfen Ecken, die in der dorsalen und ventralen Ansicht meist winzige Stacheln tragen P. inconspicuum Lemm. 5)
- d) die unter c) erwähnten Stacheln (3—5 Stück) sind auffallend lang und auch stark

 forma marchicum (Lemm.) mihi

 (= P. marchicum Lemm.
- e) Längsfurche am linken Rande verdickt und vorgezogen, Hypovalva halbkugelig; Epivalva in einem kurzen, röhrenförmigen Ansatz endigend (Brackwasserform) P. trochoideum (Stein) Lemm.
- 2. Epivalvatäfelung entspricht dem Typus III:
 - a) Hypovalva mit 3 stumpfen Ecken, die in der dorsalen und ventralen Ansicht meist winzige Stacheln tragen *P. munusculum* mihi
 - b) Die unter a) erwähnten Stacheln (3—5 Stück) sind auffallend lang und oft stark

 P. munusculum
 forma spiniferum mihi
- 3. Epivalvatäfelung entspricht dem Typus II:
 - a) Merkmale wie bei C 2 a

 P. munusculum var.

 contactum mihi
 - b) Merkmale wie bei C2b: P. munusculum var. contactum forma spiniferum mihi
- 4. Epivalva wie bei *P. elpatiewskyi* mit 7 pr + 1 r + 2 vap + 1 dap. Hypovalva mit 3 stumpfen Ecken, die in der dorsalen und ventralen Ansicht meist winzige Stacheln tragen *P. pygmaeum* mili ⁶)

⁵) Die von Woloszynska (Poln. Süßw. Perid.) Pl. 11, Fig. 26-29 abgebildete Form würde ich als *P. inconspicuum* bezeichnen.

^{6) 4} und 5 der Bestimmungstabelle gehören eigentlich nicht in die hier behandelte Gruppe hinein. Ich habe sie hierher gestellt, weil wir nunmehr in Tabelle C sämtliche bisher bekannte kleinste Süßwasserperidineen (Größe ea. 20-25 μ) vereinigt finden.

Untersuchungen über Süßwasserperidineen und ihre Variationsformen 137 5. Epivalvatäfelung unbekannt, Hypovalva mit einer auffallenden Leiste auf der rechten at. P. minimum Schill. 7)

Peridinium linzium n. sp. Textfig. 40—43.

Wie P. umbonatum dem P. pusillum entspricht, so entspricht P. linzium dem P. inconspicuum in der Form. Leider waren die bisher gesehenen Exemplare von P. linzium nicht in besonders gutem Erhaltungszustande.







Fig. 41. Peridinium linzium n. sp. Dorsal.



Fig. 42. Peridinium linzium n. sp. Epivalvatäfelung.



Fig. 43. Peridinium linzium n. sp. Hypovalvatäfelung.

Diagnose: Zellen eiförmig, dorsoventral wenig abgeplattet, $32-36~\mu$ lang, $26-30~\mu$ breit. Apex vorhanden. Querfurche schwach linkswindend, Längsfurche etwas auf die Epivalva übergreifend, hinten verbreitert, meist bis zum Hinterende reichend. Epivalva kegelförmig, etwas größer als die Hypovalva, mit 7 pr +1r +2vap +1 map +2 dap. Die map reicht mit ihrer ganzen dorsalen Seite bis an die 4 pr. Hypovalva mit 3 stumpfen Ecken; an denselben konnten Stachel nicht festgestellt werden. Hypovalva mit 5 pst + 2 ziemlich gleich großen at, die an ihren Rändern kleine Papillen tragen. Areolierung der Platten nicht deutlich, Interkalarstreifen linienförmig bis breit.
Vorkommen: Vereinzelt in einem Wiesentümpel am Linciusz-

See nördlich Lissa (Posen) 18. 5. 1918.

P. lubieniense var. contactum n. var. Textfig. 48—50. (= P. linzium var. contactum n. var.)

Unterscheidet sich von P. lubieniense Wolosz, nur durch die Epivalvatäfelung: map berührt nur mit ihrer dorsalen Ecke die 4 pr, daher bilden die medianen Interkalarstreifen der 1 map und

2 dap ein Kreuz. (Typus II.)
Diese Form ist als Übergangsform zu P. linzium-artigen Formen aufzufassen. In der Tat fanden sich unter normalen Exemplaren von P. linzium auch solche, die man als P. linzium

var. contactum hätte bezeichnen können.

⁷⁾ Die von Schilling aufgestellte Form *P. minimum* ist am besten zu streichen. Ob eine Form mit einer solchen Leiste an der Hypovalva, wie Sch. sie zeichnet, überhaupt vorkommt, erscheint mir zweifelhaft; jedenfalls kommt sie nicht (nach Sch.s Worten) "sehr häufig in großer Individuenzahl mit *P. umbonatum* zusammen" vor — es handelt sieh hier wohl um eine Verwechslung mit einer Form wie *P. inconspicuum* oder munusculum. Da die Epivalvatäfelung von *P. minimum* unbekannt ist, so ist eine Entscheidung hierüber nicht möglich.

Vorkommen: Moor bei Heingarten (Baden). (11. 1908.)

Das Material verdanke ich Herrn Dr. Schaedel.

Hier ist nun der Ort, einige Bemerkungen über die Formen unter A2 der Bestimmungstabelle einzufügen. Die Systematik



Fig. 48.

Peridinium lubieniense
var. contactum n. var.
36 μ lang; 30 μ breit.

Ventral.



Fig. 49.

Peridinium lubieniense var. contactum
n. var. Täfelung der
Epivalva, dorsal
gesehen.



Fig. 50.

Peridinium lubieniense
var. contactum n. var.
Hypovalvatäfelung.

derselben ist zurzeit noch unsicher, da sie anscheinend recht stark variieren. Dabei finden sie sich sehr selten; ich habe dieselben (mit Ausnahme von *P. africanum*) in unserem Seenplankton niemals nachweisen können.

In den Textfiguren 44—47 bilde ich eine Form aus dem Moor bei Heingarten (Baden) (11. 1908) ab, die ich als identisch mit



Fig. 44.

Peridinium lubieniense Wołosz.
44 µ lang; 38 µ Dorsal.(Vielleicht breit. Ventral.

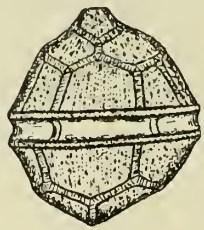


Fig. 45.

Peridinium lubieniense Wołosz.

Dorsal.(Vielleicht kam diese Form auch mit kleinen Stacheln an den Hypovalvaecken vor.) (Material mangelhaft.)

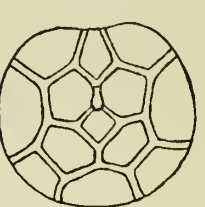


Fig. 46.

Peridinium lubieniense Wołosz.

Epivalvatäfelung.



Fig. 47.

Peridinium lubieniense Wołosz.

Hypovalvatäfelung.

P. lubieniense ansehen muß. Das Exemplar aus dem Moor in Baden ist nur etwas stärker areoliert, als das von Woloszyńska abgebildete. Auch das soeben beschriebene P. lubieniense var. contactum stellt, abgesehen von der kleinen Änderung der Epivalvatäfelung, dieselbe Form dar, wie das P. lubieniense der Textfig. 44 bis 47. Vergleicht man diese beiden, in demselben Moore nebeneinander gefundenen Exemplare miteinander, so bemerkt man

einen deutlichen Unterschied in der äußeren Gestaltung (Umriß, Längsfurche). Die beiden at der var. contactum sind gleich groß, während Fig. 47 und auch bei Woloszyńska, Pl. 12, Fig. 23, Hypovalven darstellen, deren linke at etwas größer als die rechte ist.

Hierzu kommt nun noch die von Wołoszyńska abgebildete Form P. dzieduszycki. Daß die Konkavität der Hypovalvaplatten kein Recht auf Aufstellung einer neuen Art gibt, konnte ich schon bei P. laeve subsp. marssoni und anglicum nachweisen. 8) Ebensowenig die verschiedene Größe der at. (Arch. f. Protk., Bd. 39, Heft 3, Seite 213.) Bleibt nur als Unterschied von P. lubieniense

das Fehlen der Papillen an den at. Hieraus folgt, daß wir P. dzieduszycki nicht als eigene Art aufrecht erhalten können (ebensowenig wie z. B. P. umbonatum var. papilliferum als eine eigene Art von P. umbonatum abgezweigt wird). Es ist jedoch heute nicht zu entscheiden, welche von den in Frage kommenden Peridineen als Haupt- und welche als Nebenform anzusehen ist. Ich würde dahin neigen, P. lubieniense als typische Form anzusehen, und werde daher in Zukunft diesen Namen beibehalten.

Auch die systematische Stellung von P. tatricum Wolosz. wäre später einer genaueren Kritik zu unterziehen; dasselbe gilt von P. tatricum var. spinulosum Wołosz., von welcher Form ich bereits früher nachwieß, daß dieselbe sich aufs engste systematisch an P. africanum anschließt.

P. goslaviense Wołoszyńska (Textfig. 51-57.)

Es dürfte nützlich sein, von dieser leicht zu übersehenden Form (wenn der stachelähnliche Anhang am antapikalen Pole nicht mehr gut erhalten ist, so dürfte dieselbe stets mit *P. pusillum*



Fig. 51. Peridinium gosla- Peridinium goslaviense Wołosz. 30 μ lang; 24 μ breit. Ventral.



Fig. 52. viense Wołosz. Dorsal.



Fig. 53. Peridinium goslaviense Wołosz. Habitusbild.Kern in der Epivalva gelegen.



Fig. 54. Peridinium goslaviense Wołosz. Habitusbild. Kern in der Hypovalva. Am apikalen Pole die "Apikalblase".

oder auch umbonatum verwechselt werden), Abbildungen beizufügen. Diagnose findet sich bei Wołoszyńska. Ich habe nur hinzuzufügen, daß die "zerstreuten Papillen" auf den Platten zwar vorhanden, doch oft sehr schwach (ohne Ölimmersion kaum sichtbar)

⁸) Bevor nicht vergleichende Untersuchungen vorliegen, zweifle ich daran, daß diese Konkavität ein konstantes Merkmal einer Art ist, falls sie nicht durch die ganze Formausbildung bereits gegeben ist.

sind. Die Exemplare aus den Havelseen bei Fürstenberg besaßen nur den einen erwähnten Anhang am antapikalen Pole, und zwar in der Mitte des Interkalarstreifens zwischen den at; diejenigen aus dem Großen Plöner See dagegen hatten diesen Anhang am Ende der Längsfurche und daneben noch einen winzigen Stachel. Letzterer befand sich hier rechts von dem großen Anhang, bei Woloszyńskas Abbildung sitzt derselbe links von dem letzteren (stets am ventralen Rande der betreffenden at).

Ich will nun hier noch auf ein eigentümliches Organ dieses Peridinium aufmerksam machen, welches ich vorläufig als "Apikalblase" bezeichne. Zunächst fand ich dasselbe bei typischen Vertretern von P. goslaviense (Textfig. 54), bei denen diese Blase am

Apex zu münden schien.



Fig. 55. Peridinium goslaviense Wołosz. Epivalvatäfelung.



Fig. 56. Peridinium goslaviense Wołosz. Wahrscheinlich eine Hypovalvatäfelung. Die Lage des Cyste von P. goslastachelähnlichen Anhanges nach viense Wołosz. einem Exemplare der Havelseen angedeutet; die Lage des kleinen Nebenstachels dagegen nach einem Exemplare aus dem Grossen Plöner See eingetragen.



Fig. 57.

Später fielen mir dann in den Havelseen eigentümliche cystenartige Gebilde auf, welche ebenfalls diese Blase besaßen, nur daß dieselbe herausgestülpt war und eine Art Henkel bildete. Es ist nicht mit Sicherheit erwiesen, daß diese Gebilde von P. goslaviense stammen; aber ich halte es für sehr wahrscheinlich, daß dieselben Dauercysten dieser Form darstellen. Vielleicht ist die "Apikalblase" ein Organ, welches die Cysten zum Schweben im Wasser befähigt. Auffallend erscheint es mir, daß ich diese cystenartigen Gebilde bisher nur zweimal sah, in den Havelseen bei Fürstenberg und im Großen Plöner See - beides Gewässer, in denen P. goslaviense tatsächlich vorkommt. Sonst habe ich dieselben nie beobachtet.

Dieser Befund, sowie die Anwesenheit einer Apikalblase bei P. goslaviense sprechen für die Zugehörigkeit der "Cysten" zu dieser Peridinenform; unerklärlich dagegen ist mir bisher die enorme Größe dieser "Cysten" (Länge derselben 56 μ), während

Untersuchungen über Süßwasserperidineen und ihre Variationsformen 141

ein wahrscheinlich als Kern zu deutendes Gebilde innerhalb derselben klein geblieben ist (wie bei der beweglichen Form von

P. goslaviense). Vielleicht finden sich Reservestoffe in diesen stets prall gefüllten "Cysten" angehäuft.

Vorkommen von P. goslaviense: Havelseen bei Fürstenberg (Mecklenburg). Das Material verdanke ich der Güte des Herrn Professor Dr. Kolkwitz. Primenter See (bei Ölpoche) (Posen) Mai 1917. Witoslawer See (Posen) 29. 7. 1917 und 9. 7. 1918. Keine "Cysten" beobachtet. Großer Plöner See: Herr Professor Dr. Thienemenn stellte mir in denkonswerter Weise Herr Professor Dr. Thienemann stellte mir in dankenswerter Weise etwa 20 Proben der letzten Jahre zur Verfügung, in keiner derselben war jedoch *P. goslaviense* enthalten. Nur einmal fand ich diese Form häufig in einer Probe vom Juli 1895, die dem Wasserhygienischen Institut in Dahlem entstammte. Hiernach dürfte P. goslaviense in neuester Zeit nicht im Großen Plöner See aufgetreten sein.

Virieux bildet aus der Franche-Comté eine Form unter dem Namen "P. aciculiferum" ab, die mit P. goslaviense identisch zu

sein scheint.



Peridinium pusillum Lemm. Ventral.



Peridinium pusillum Lemm. Dorsal.



Fig. 60. Peridinium pu-· sillum Lemm. Epivalvatäfelung.



Fig. 61. Peridinium pusillum Lemm. Hypovalvatäfelung.

Peridinium inconspicuum Lemm. Textfig. 62-67.

Der (äußere) Habitus der Form differiert gering: man findet mehr kugelige Exemplare (siehe Textfig. 62, 63) und schlankere (Textfig. 66, 67).



Fig. 62. Peridinium inconspicuum Lemm. Ventral. (Mehr kugelige Form.) (Havelseen.)



Fig. 63. Peridinium inconspicuum Lemm. Dorsal.



Fig. 64. Peridinium inconspicuum Lemm. Epivalvatäfelung.



Fig. 65. Peridinium inconspicuum Lemm. Hypovalvatäfelung.

Diagnose: Zellen eiförmig, dorsoventral abgeplattet, Epivalva am apikalen Pole etwas zugespitzt, Hypovalva mit 3 stumpfen Ecken, die in der dorsalen und ventralen Ansicht winzige Stacheln tragen. Länge 18-24 μ; Breite 14-20 μ. Apex vorhanden. Querfurche sehr schwach linkswindend, Längsfurche etwas auf die Epivalva übergreifend, hinten verbreitert, meist bis zum Hinterende reichend. Epivalva kegelförmig, meist etwas größer als die Hypovalva, mit $7 \, \mathrm{pr} + 1 \, \mathrm{r} + 2 \, \mathrm{vap} + 1 \, \mathrm{map} + 2 \, \mathrm{dap}$. Die map reicht mit ihrer ganzen dorsalen Seite bis an die $4 \, \mathrm{pr}$. Hypovalva oft schräg ausgerandet, mit $5 \, \mathrm{pst}$



Fig. 66.

Peridinium inconspicuum Lemm.
Ventral.(Mehrlängliche Form). (WaldteichKankel.) (20 μlang, 17,5 μ breit.)



Fig. 67.

Peridinium inconspicuum

Lem m. Dorsal.

und 2 at, die meist gleichgroß sind, doch kann die rechte at größer als die linke sein. Die Hypovalva trägt eine nicht konstante Anzahl von kleinen Stacheln an den Kreuzungspunkten der Interkalarstreifen: stets sind 2 am Ende der Längsfurche und rechts davon einer entwickelt; es können aber auch die Kreuzungspunkte der Interkalarstreifen an der dorsalen Seite mit Stacheln versehen sein:

Endlich treten in vereinzelten Fällen auch an der Querfurche links von der Längsfurche Stachelbildungen auf. Platten kaum areoliert, mit Ölimmersion rauh erscheinend. Interkalarstreifen oft schwer sichtbar, meistens linienförmig, manchmal breit. Dauerzellen von kugeliger Form, mit fester Membran.

Besonders in kleineren Gewässern verbreitet, doch nicht so

häufig wie P. munusculum mihi.

Vorkommen: Havelseen bei Fürstenberg (Meckl.). Inselsee bei Güstrow (Meckl.). Waldteich bei Kankel (östl. Lissa, Posen). Frühjahr. Primenter See (bei Ölpoche), (Posen). 2. 5. 1917.

Peridinium inconspicuum forma marchicum n. nom. = P. marchicum Lemm.

Auf die Verwechslungen von *P. marchicum* Lemm. mit *P. elpatiewskyi* (Ostenf.) Lemm. habe ich seinerzeit ausführlich hingewiesen. Schilling gibt in seiner Süßwasserflora, Seite 42, die Verhältnisse am Apex fehlerhaft wieder: die Epivalva von *P. inconspicuum* forma *marchicum* ist genau wie diejenige von *P. in-*

conspicuum gebaut.

Diagnose: Täfelung wie bei *P. inconspicuum*; ebenso ist die Bestachelung der Hypovalva dieselbe, nur sind bei der forma marchicum sämtliche Stacheln viel größer und länger. Da auch die Kreuzungspunkte der Interkalarstreifen an der dorsalen Seite der Hypovalva mit Stacheln versehen sind, so entsteht der Eindruck, als ob man von der ventralen Seite drei, von der dorsalen fünf Stacheln sehe (Lemm.).

Um in Zukunft Verwechslungen vorzubeugen, weise ich nochmal darauf hin, daß es sich hier um eine Form handelt, deren Größe etwa 18—26 μ beträgt. Alle größeren Formen gehören nicht hierher.

Peridinium munusculum mihi. Textfig. 68-70.

Diagnose: Zellen eiförmig, dorsoventral wenig abgeplattet, Epivalva am apikalen Pole etwas zugespitzt, Hypovalva mit 3 stumpfen Ecken, die in der dorsalen und ventralen Ansicht winzige Stacheln tragen. Länge 18—26 μ; Breite 14—22 μ. Apex vorhanden. Querfurche schwach linkswindend, Längsfurche etwas auf die Epivalva übergreifend, hinten verbreitert, meist bis zum



Fig. 68.

Peridinium
munusculum
mihi.
Ventral.



Fig. 69.

Peridinium

munusculum.

mihi. Dorsal.



Fig. 70.

Peridinium
munusculum
mihi. Epivalvatäfelung.

Hinterende reichend. Epivalva kegelförmig, meist etwas größer als die Hypovalva, mit 7 pr + 1 r + 2 vap + 1 map + 2 dap. Die map reicht nicht bis an die 4. pr. Hypovalva oft schräg ausgerandet, mit 5 pst und 2 at., die meist gleichgroß sind, doch kann die rechte at größer als die linke sein. Die Hypovalva trägt eine nicht konstante Anzahl von kleinen Stacheln an den Kreuzungspunkten der Interkalarstreifen: stets sind 2 am Ende der Längsfurche und rechts davon einer entwickelt; es können aber auch die Kreuzungspunkte der Interkalarstreifen an der dorsalen Seite mit Stacheln versehen sein. Endlich treten in vereinzelten Fällen auch an der Querfurche links von der Längsfurche Stachelbildungen auf. Platten kaum areoliert, mit Ölimmersion rauh erscheinend. Interkalarstreifen oft schwer sichtbar, meistens linienförmig, manchmal breit.

Weit verbreitete Form. Bisher wohl stets als P. inconspicuum Lemm. bezeichnet. Aus der Beschreibung geht hervor, daß (im Schlachtensee bei Berlin) auch Formen beobachtet wurden, die den charakteristischen Stachelbesatz von P. inconspicuum var. armatum Lemm. trugen. Es wird vorgeschlagen, letztere Varietät zu streichen.

Peridinium munusculum forma spiniferum n. f. Textfig. 71-74.

Wie *P. munusculum*, nur sind die Hypovalvastacheln bedeutend größer und länger.

Diese Form verhält sich zu P. munusculum wie P. inconspicuum forma marchicum (Lemm.) mihi. (siehe dort) zu P, inconspicuum.

Vorkommen: Havelseen bei Fürstenberg (Meckl.) häufig. Sumpfsee bei Güstrow (Meckl.) (Aug. 1917) selten.

Besonders interessant ist das Exemplar der Textfig. 73. Dasselbe zeigt Stachelbildungen (und Papillen) an der Querfurche



Fig. 71. Ventral. (Kern Dorsal. (Hypoeingetragen). (Havelseen.)



Fig. 72. valvatäfelung tragen.) (Havelseen.)



Fig. 73. (Exemplar mit Stachelbildungen fortgelassen, da- an den Rändern für Kern einge- der Längs- und Querfurche. (Sumpfsee bei Güstrow, Meckl.)



Fig. 74. Peridinium mu-Peridinium mu-Peridinium munus-nusculum forma nusculum forma nusculum forma spini-spiniferum mihi. spiniferum mihi. spiniferum mihi. Hypovalvatäfelung. (Havelseen.)

(wagerecht abstehend) und an dem linken Seitenrande der Längsfurche. (Entspricht hierdurch in der Bestachelung der von mir gestrichenen Form P. inconspicuum var. armatum Lemm.)

Peridinium munusculum var. contactum mihi. Textfig. 75, 76. (= P. inconspicuum var. contactum n. var.)

Diagnose: Diese Varietät weicht von der Hauptform nur im Bau der dorsalen Platten der Epivalvatäfelung ab. Epivalva



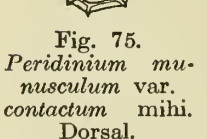


Fig. 76. Peridinium mu- Peridinium munusculum var. contactum mihi. Epivalvatäfelung.

mit:7 pr+1 r+2 vap+1 map+ 2 dap. Die map berührt mit ihrer dorsalen Ecke die 4 pr: daher bilden die medianen Interkalarstreifen der map und 2 dap ein Kreuz.

Häufige Form. Kommt mit P. munusculum zusammen vor, und ist wohl als Übergangsform zu P. pusillum-ähnlichen Exem-

plaren aufzufassen. Bachmann (Phytopl. d. Süßw., S. 97, Fig. 79) bildet diese Form unter dem Namen P. pusillum ab.

Peridinium munusculum var. contactum forma spiniferum n. f.

Wie P. munusculum var. contactum, nur sind die Hypovalvastacheln bedeutend größer und länger.

Diese Form verhält sich zu P. munusculum var. contactum wie P. inconspicuum forma marchicum (Lemm.) mihi (siehe dort) zu P. inconspicuum.

Vorkommen: Havelseen bei Fürstenberg (Meckl.). menter See (Posen). (5. 1918.)

Peridinium pygmaeum n. sp. Textfig. 77—80.

Diese Form ist ein P. elpatiewskyi "en miniature", nur daß auch hier an der Hypovalva die drei stumpfen Ecken mit winzigen Stacheln wiederkehren, wie wir sie bereits bei P. inconspicuum, P. munusculum usw. kennen lernten.



Fig. 77. Peridinium pyg- Peridinium pyg-maeum n. sp. Ven- maeum n. sp. tral. (Havelseen.)



Fig. 78.



Fig. 79. Peridinium pyg-maeum n. sp. Epivalvatäfelung.



Fig. 80. Peridinium pyg-maeum n. sp. Hypovalvatäfelung.

Diagnose: Zellen eiförmig, dorsoventral wenig abgeplattet; Hypovalva mit 3 stumpfen Ecken, die in der dorsalen und ventralen Ansicht winzige Stacheln tragen. Länge 22 µ, Breite ebenso. Apex vorhanden. Querfurche schwach linkswindend, Längsfurche wenig auf die Epivalva übergreifend, auf der Hypovalva stark verbreitert, bis zum Hinterende reichend. Epivalva kegelförmig, etwas größer als die Hypovalva, mit 7 pr + 1 r + 2 vap + 1 dap. Hypovalva oft schräg ausgerandet, mit 5 pst und 2 at, von denen die rechte meist etwas größer ist. Die Hypovalva trägt eine nicht konstante Anzahl von kleinen Stacheln an den Kreuzungspunkten der Interkalarstreifen: stets sind 2 am Ende der Längsfurche und rechts davon einer entwickelt; es können aber auch die Kreuzungspunkte der Interkalarstreifen an der dorsalen Seite mit Stacheln versehen sein. An den Rändern der at finden sich oft Papillen. Endlich treten auch am linken oberen Rande der Längsfurche oft Stachelbildungen auf. Platten äußerst fein areoliert (Ölimmersion).

Vorkommen: Havelseen bei Fürstenberg (Meckl.). Das Material wurde mir in liebenswürdiger Weise von Herrn Prof. Kolkwitz zur Verfügung gestellt.

Gruppe: Peridinium willei und guestrowiense.

Bisher war von dieser ganzen Gruppe wohl nur eine Form bekannt: P. willei Huitf.-Kaas. Ich glaube allerdings, daß P. volzi Lemm. aus kleinen Weihern des botanischen Gartens in Singapore und seine var. australe G. S. West aus dem Yan Yean Reservoir, Viktoria (Australien) mit P. guestrowiense identisch ist oder doch mit ihr zusammengezogen werden könnte. Doch muß hierüber später entschieden werden, wenn Fänge aus jenen Gegenden vorliegen. Jedenfalls handelt es sich hier um Formen, die überall vorkommen: so fand ich *P. guestrowiense* häufig auch im Viktoria Nyanza (Afrika).

Archiv für Naturgeschichte 1918. A. 8.

Um Verwechslungen vorzubeugen, sei hier ausdrücklich darauf hingewiesen, daß alle diese Formen keinen Apex besitzen; hierdurch unterscheiden sie sich von *P. tabulatum*.

Die systematische Bearbeitung vorliegender Gruppe machte insofern Schwierigkeiten, als Formen von P. willei, welche gänzlich kammlos sind, sich nicht immer leicht von P. guestrowiense unterscheiden lassen (besonders auch, wenn sie außerdem kugelig gebaut sind). Trotzdem bin ich zu dem Resultat ge-kommen, daß die Untergruppen P. willei und P. guestrowiense stest scharf unterschieden auftreten: besonders ist es die Form der Rautenplatte (vgl. Textfig. 95 und 103), welche über die systematische Stellung einer Form Aufschluß gibt. Dieselbe ist bei P. willei groß, daher greift die Längsfurche nur wenig auf die Epivalva über; bei P. guestrowiense ist diese Platte kleiner (5-eckig) und die Längsfurche greift deutlicher und mehr auf die Epivalva über. Man wird übrigens nur sehr selten gänzlich kammlose Formen von P. willei antreffen: sobald aber auch nur ein kleiner Kamm vorhanden ist, so liegt stets P. willei vor. P. guestrowiense tritt nie mit Kämmen auf. Endlich findet man in der kälteren Jahreszeit nur P. willei, in der wärmeren mehr P. guestro-

wiense, aber allerdings P. willei auch.

Schon früher hatte ich Gelegenheit, einige neue Formen der vorliegenden Gruppe mitzuteilen (Zeitschr. d. nat. Abt. d. deutsch. Gesellschaft f. Kunst u. Wiss. in Posen, Jahrg. XXIV, 3. Heft, Nr. 81). Ich hatte damals noch nicht erkannt, daß P. willei und P. guestrowiense zwei scharf unterschiedene Peridineenarten darstellen, wie sie ja auch bisher stets beide als P. willei bezeichnet worden sind. Daher sind meine damaligen Ausführungen auf S. 26 unten und 27 oben nunmehr hinfällig. P. willei var. guestrowiense mihi ist also jetzt wieder als P. guestrowiense mihi zu bezeichnen, wie es bereits im Arch. f. Hydrob. und Planktonkunde Bd. XI, 1916 geschah. Ferner ist zu jener (Posener) Arbeit zu bemerken, daß P. willei Huitf.-Kaas mit mehr oder minder, zusammengeklemmter" Epivalva auftritt: ist diese nur mäßig zusammengeklemmt, so entstehen meist Formen wie jene P. willei "var. lineatum" mihi dort auf Seite 32, Abb. 11, ist dies dagegen mehr der Fall, so haben wir oft Formen vor uns, die als P. willei var. geniculatum mihi (Textfig. 93, 94) bezeichnet werden müßten. Der Name "geniculatum" fällt also teilweise mit "lineatum" zusammen, und eine Trennung dieser Bezeichnungen ist daher nicht mehr angängig. Ich streiche deshalb nunmehr die "var. geniculatum" wieder.

Nun erhebt sich aber noch eine Schwierigkeit in der Nomenklatur. P. willei kommt vollständig kugelig (sehr selten) vor, dann finden sich oft in demselben Fange Formen mit etwas zusammengeklemmter Epivalva bis zu solchen, deren Epivalva so zusammen-

⁹⁾ Siehe auch: Lindemann, E., Mitteilungen üb. Posener Peridineen, Zeitsehr. d. nat. Abt. d. deutsch. Ges. f. Kunst u. Wiss. Posen, Jahrg. XXV. Heft 1, Nr. 83.

geklemmt ist, daß die vap und map auf dem Scheitel der Form eine kreisbogenförmige Linie bilden (Textfig. 94). Welche Form hat Huitfeldt-Kaas nun *P. willei* genannt? Aus seinen Abbildungen (Die limnetischen Peridineen. In Kommission bei Jakob Dybwad, Christiania 1900) ersehe ich, daß die von ihm beschriebene Form die häufigste war, deren Epivalva nur ein wenig zusammengeklemmt ist. Ich habe mich nun aus praktischen Gründen (um die recht differierenden Formen scharf unterscheiden und bezeichnen zu können) entschlossen, die kugelige Form (Textfig. 82) mit *P. willei* forma *sphaericum*, Formen mit wenig zusammengeklemmter Epivalva mit *P. willei* und solche, deren vap und map fast zu einer Linie zusammengeschrumpft sind, mit P. willei forma lineatum zu bezeichnen. (Bei der forma lineatum können nun also die vap eine gerade Linie bilden, oder auch knieförmig liegen; es kommt nur darauf an, daß die Epivalva sehr stark zusammengeklemmt ist.)

Die Epivalvatäfelung sämtlicher Formen, die zur Gruppe P. willei-guestrowiense gehören, ist nach derselben Formel gebaut: 7 pr + 1 r + 2 vap + 3 map + 1 dap. Die Hypovalva zeigt die bei den Peridineen vorherrschende Täfelung: 5 pst + 2 at.

Bestimmungstabelle.

- 1. Rautenplatte von "dominierender Größe", oft aus der Längsachse ein wenig nach der linken Seite verschoben. Längsfurche nur sehr wenig auf die Epivalva übergreifend; seitliche Ränder der Längsfurche auf der Hypovalva, wie auch bestimmte Ränder der Epivalvatafeln meist mit breiten Kämmen versehen (die auch oft schmäler sind oder selten ganz fehlen). Große Formen, oft breiter als lang (Länge bis 70 µ), in der kalten Jahreszeit (bes. Frühjahr) meist besser entwickelt als im Sommer P. willei Huitf.-Kaas.
 - a) ganze Form kugelförmig P. willei forma sphaericum mihi,
 - b) ganze Form (beide Valven) gleichmäßig dorsoventral abgeplattet P. willei forma stagnale mihi,
 - c) nur die Epivalva von mäßig (dorsoventral) "zusammengeklenimter" Gestalt (Seitenansicht!). Typische Form von P. willei Huitf.-Kaas,

d) Epivalva sehr stark (dorsoventral) zusammengeklemmt, so daß die vap und map zu einer schmalen Linie werden.

P. willei forma lineatum mihi. 2. Rautenplatte viel kleiner als bei P. willei (5-eckig) und Längsfurche stärker auf die Epivalva übergreifend; Form stets ohne Kämnne, selten über 50 μ lang, meist fast kugelig, nur in der warmen Jahreszeit auftretend P. guestrowiense mihi. a) Die vap und map etwa so lang wie breit, daher die Apikal-

platten kreisförmig gelagert. P. guestrowiense var. cyclicum mihi. b) Form stark ventral eingebuchtet, daher die beiden vap in einem Winkel zueinander ("knieförmig") gelagert.

P. guestrowiense forma sinuatum mihi,

c) ganze Form gleichmäßig dorsoventral abgeplattet

P. guestrowiense forma compressum mihi.

d) Hypovalva mit 6 pst und 2 at (die dorsale große Postaequatorialplatte der normalen Form ist nochmals geteilt) P. guestrowiense subvar. originale mihi.

Peridinium willei Huitf.-Kaas. Textfig. 86-92; 95-99.

Diagnose: Zellen von kugeliger, dorsoventral mehr oder weniger zusammengedrückter Gestalt, manchmal etwas breiter als lang. 45—70 μ lang, etwa ebenso breit. Apex fehlt. Quer-

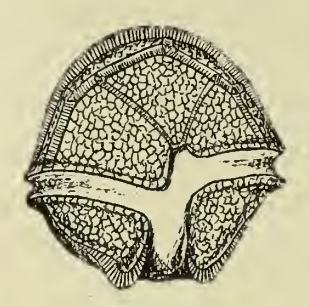


Fig. 86. Peridinium willei Huitf .-Kaas. (Müggelsee.) Ventral. (60 µ lang.)

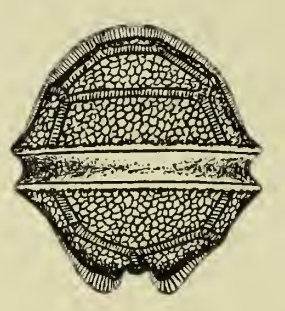


Fig. 87. Peridinium willei Huitf.-Kaas. Dorsal.



Fig. 88. Peridinium willei Huitf.-Kaas. Von der Seite. (Talsperre im Herbringhausertal.) (Bis 70 μ lang!) (13. 12. 1913.)

furche ziemlich stark linkswindend, von weit hervorragenden Rändern eingefaßt, die in der Ansicht von oben oder unten durch

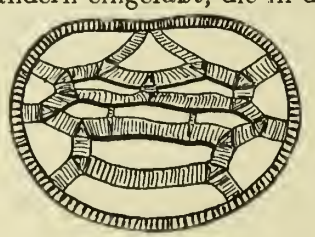


Fig. 89. Peridinium willei Huitf.-Kaas. Epivalvatäfelung. (Die dicken Linien bezeichnen die Lage der kleinen Kämme.)

eine eigentümliche Streifung den Eindruck von Stacheln machen. Längsfurche wenig auf die Epivalva übergreifend, auf der Hypovalva sich verbreiternd, bis zum Hinterende reichend. Epivalva von dor-"zusammengeetwas soventral klemmter" Gestalt, etwas größer als die Hypovalva. Epivalva mit: 7 pr + 1 r + 2 vap + 3 map + 1 dap.Die Rautenplatte ist von dominierender Größe, meist aus der Längsachse ein wenig nach der linken Seite

verschoben. Die Apikalplatten sind in 3 etwa parallelen Reihen angeordnet. Hypovalva mit 5 pst + 2 at; die rechte at meist etwas größer als die linke. Oft befinden sich breite Kämme

(bis 4 \mu breit) an den ventralen Rändern der Apikalplatten und der Antapikalplatten, welch' letztere sich beiderseits der Längsfurche

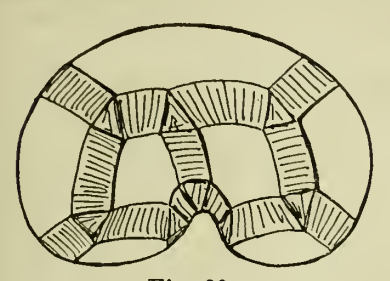
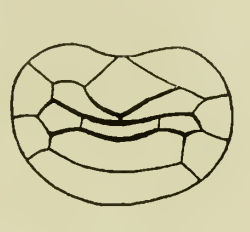


Fig. 90. Fig. 91.

Peridinium willei Huitf. - Kaas. Peridinium willei Hypovalvatäfelung.



(12. 1913.)



Huitf.-Kaas. Von Huitf.-Kaas. Hypoder Seite. (Über valvatäfeller gang zur forma (Übergang zur forma lineatum).

fortsetzen. Alle diese Kämme können aber auch bis zum völligen Fehlen reduziert sein. Tafeln stark, kräftig areoliert; Interkalarstreifen linienförmig bis sehr breit, kräftig quergestreift. Es



Fig. 101. Peridinium willei Huitf.-Kaas. Glenodinium-artiger Zustand. Ventral, etwas von oben gesehen. (Kl. Ukleisee 6. 2. 1919.)

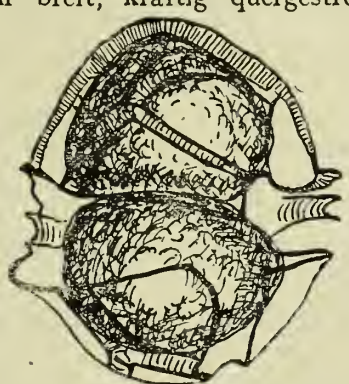


Fig. 102.
Peridinium willei Huitf.-Kaas. Teilung der nackten Zelle unter Zerreißung und Ab-werfung ihrer Hülle. (Kl. Ukleisee 6. 2. 1919.)

kommen Glenodinium-artige Zustände vor, bei denen die Tafeln hautartig dünn sind. 10) Chromatophoren zahlreich, braun. Kern rundlich-oval, meist zentralliegend. Augenfleck fehlt. Die Fort-pflanzung erfolgt meistens unter Sprengung der Hülle¹¹), worauf

¹⁰⁾ Siehe Textfigur 101. (Kleiner Ukleisee 6. 2. 1919.)

11) Zuerst vermutete Schröder diesen Fortpflanzungsmodus bei P. willei (Ber. d. deutsch. bot. Ges., Bd. XXXV, Heft 7, 1918, Seite 553), weil er im Kochelsee, in dem nur P. willei vorkam, eine Gallertspore gesehen hatte. Nunmehr fand ich zahlreiche Exemplare im kleinen Ukleisee (6. 2. 1919) in Teilung begriffen. (Siehe Textfig. 102.) — (Vgl. S. 153 und 162.)

der Inhalt ("nackte Form" nach Schilling) ins Freie gerät. Ist diese "nackte Form" in Teilung begriffen und mit Gallerte eingehüllt, so kann man dieselbe als "Gallertspore" (Cystes mouqueux



Fig. 95. Peridinium willei Huitf .- Peridinium willei Huitf .-Kaas. (Gorkasee.) Ohne Kaas. Form aus dem Huitf.-Kaas. Dorsal. Kämme.



Fig. 96. Walchensee (Bayern). Ventral. (50 μ lang.)



Fig. 97. Peridinium willei (Walchensee.)

von Virieux!) bezeichnen. Andere Fortpflanzungsarten und Dauersporen bisher unbekannt. Hauptentwicklung im Frühjahr (auch in der kalten Jahreszeit, sowie im Hochsommer zahlreich auftretend).

Identisch mit P. willei ist die von Garbini im Zoolog. Anz. 1902 beschriebene Form P. alatum. Da ich im Juli 1918 im Goplosee (Posen) auch Formen mit hohen Kämmen fand, so sind meine Ausführungen über Sommer- und Winterformen nicht mehr auf-



Fig. 98. Peridinium willei Huitf.-Kaas. Von der linken Seite. (Walchensee.)

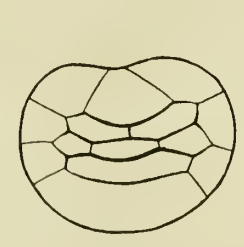


Fig. 99. Peridinium willei Huitf.-Kaas. Epivalvatäfelung. (Walchensee.)

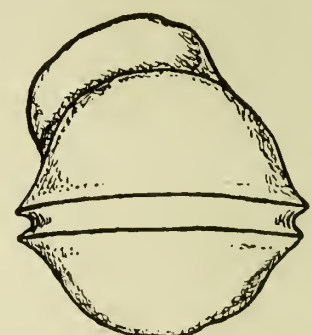


Fig. 100. Peridinium willei Huitf.-Kaas. Abnorme wulstartige Kamm-bildung. (Kleiner Ukleisee 6. 2. 1919.)

recht zu erhalten. (Zeitschr. d. nat. Abt. d. deutsch. Ges. f. Kunst u. Wiss., Posen 1918, Heft 83.) Besonders eigenartig ist auch das Vorkommen von Exemplaren mit hohen Kämmen und von solchen fast ohne jede Kammbildung nebeneinander (in demselben Fange). Schaalsee (Lauenburg), Rethwiesentief. 14. 8. 1917. Im Untersuchungen über Süßwasser reridineen und ihre Variationsformen 151

kleinen Ukleisee (6.2. 1919) fanden sich zwei Exemplare mit einem pathologisch erscheinenden, dicken kammartigen Wulst auf der

Epivalva (Textfig. 100).

Vorkommen: Findet sich das ganze Jahr hindurch, im Hochsommer wie im Winter vorwiegend in größeren Gewässern, doch auch in Teichen und Tümpeln (hier meist vereinzelt). Dennoch spreche ich diese Form als Winterform an, da sie in der kalten Jahreszeit unvergleichlich viel häufiger vorkommt und zahlreicher entwickelt ist als in der warmen. Ihr Entwicklungsmaximum trifft aber gewöhnlich auf den Monat Mai (was schon Huitfeldt-Kaas richtig erkannte).

Bemerkenswert ist, daß man gerade diese Form in den größten Süßwasserseen, die sonst meist peridineenarm sind, zu jeder

Jahreszeit öfter antrifft. (Siehe auch Seite 190.)

P. willei kommt auch im Brackwasser vor; so konnte ich eine besondere Form im Goldenen Horn bei Konstantinopel nachweisen. (Siehe Seite 152.)

Peridinium willei forma sphaericum n. f. Textfig. 81—83.

Unterscheidet sich von P. willei nur durch die völlig kugelige Gestalt (Seitenansicht!), daher ist die Epivalva hier nicht, zusammengeklemmt", sondern schön halbkugelig. Übergänge finden sich häufiger als die typische forma sphaericum.

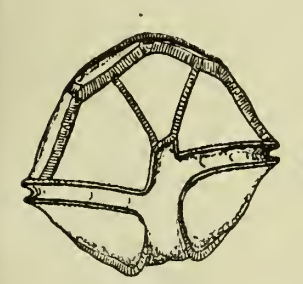


Fig. 81. Peridinium willei forma (60 μ lang.)

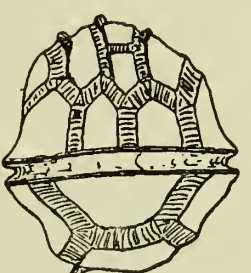


Fig. 82. Peridinium willei Von der Seite. (Kleine Kämme.)

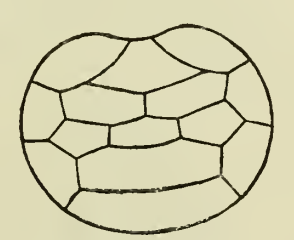


Fig. 83. Peridinium willei forma sphaericum n. f. Ventral. forma sphaericum n. f. sphaericum n. f. Epivalvatäfelung.

Vorkommen: Wiesenteiche beim "Sepoldteich" (Badeteich) bei Lissa (Posen). 17. 10. 1918. Seltene Form.

Peridinium willei forma stagnale n. f. Textfig. 84-85.

Unterscheidet sich von P. willei nur dadurch, daß die ganze Form (beide Valven) gleichmäßig dorsoventral plattgedrückt ist.

Ich zweifle nicht daran, daß sich Exemplare finden, die noch mehr abgeplattet sind, als es Textfig. 85 zeigt. Über die eigenartige Lage des Interkalarstreifens zwischen 2 pr und 3 pr siehe Seite 122 näheres (fast: var. β -collineatum).

Vorkommen: Wiesenteiche beim "Sepoldteich" (Badeteich) bei Lissa (Posen). Seltene Form.

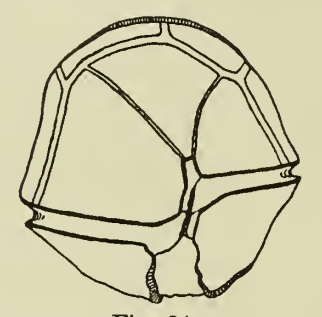


Fig. 84.
Peridinium willei forma stagnale n. f. Ventral. (Kleine Kämme.)

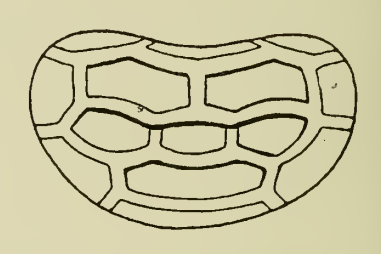


Fig. 85. Peridinium willei forma stagnale n. f. Epivalvatäfelung in nat ürlicher Ansicht. (Die dicken Linien bezeichnen die Lage der kleinen Kämme.)

Merkwürdigerweise konnte ich die selbe Formbei Konstantinopel nachweisen. (Goldenes Horn, Tabakfabrik (Dschubaly) rechtes Ufer. 19. 5. 1918. Brackwasser, mit etwa 13-14% Salzgehalt.)

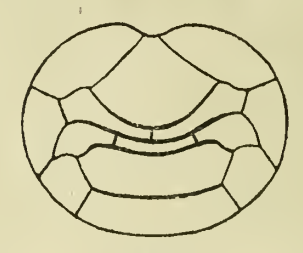
Peridinium willei forma lineatum mihi. Textfig. 93, 94.

Diese Form unterscheidet sich von P. willei nur dadurch, daß ihre Epivalva ganz besonders stark dorsoventral zusammengeklemmt ist, so daß die 2 vap und 3 map — besonders auf dem Scheitel — zu einer schmalen Linie werden. Sind diese Platten



Fig. 93. Fig. 94.

Peridinium willei forma lineatum Peridinium willei forma lineatum n. f. n. f. (Müggelsee. 17. 5. 1911.)



Epivalvatäfelung.

noch mit Kämmen verschen, so bilden sie, wie der First beim Giebeldach, den hohen Scheitelrand der ganzen Form. Die große dorsale Apikalplatte dagegen ist scharf nach unten geklappt und beteiligt sich somit an der Bildung der dorsalen Wand der vorderen Körperhälfte.

Vorkommen: Meist vereinzelt unter typischen Exemplaren von P. willei. Müggelsee bei Berlin 17. 5. 1911.

Peridinium guestrowiense mihi

Die Diagnose dieser Form, welche ich bereits im Archiv f. Hydrob. u. Planktk., Bd. XI, 1916, gab, ändere ich, wie folgt:

Zellen von kugeliger Gestalt, 42-52 (in seltenen Fällen bis 60 μ) lang, ebenso breit oder etwas schmäler, dorsoventral etwas zusammengedrückt. Apex fehlt. Querfurche linkswindend, von hervorragenden Rändern eingefaßt, die in der Ansicht von oben oder unten durch eine eigentümliche Streifung den Eindruck von Stacheln machen. Längsfurche ziemlich weit auf die Epivalva übergreifend, aut der Hypovalva etwas verbreitert, bis zum Hinterende reichend. Etwa in der Mitte des linken Seitenrandes der Längsfurche befindet sich meistens ein kurzer Stachel. Valven fast gleichgroß; Epivalva halbkugelig, mit 7 pr + 1 r + 2 vap + 3 map + 1 dap. Rautenplatte ziemlich klein, 5eckig; die Apikalplatten sind in drei etwa parallelen Reihen angeordnet. Hypovalva halbkugelig, mit 5 pst und 2 at. Rechte at meist größer als die linke. (Niemals sind bei dieser Form Kämme beobachtet worden.) Tafeln ziemlich dick, stark areoliert. Interkalarstreifen linienförmig bis sehr breit, deutlich quergestreift. Es kommen Glenodinium-artige Zustände vor, bei denen die Tafeln hautartig dünn sind. Chromatophoren zahlreich, braun. Kern rundlich-oval, meist zentral liegend. Augenfleck fehlt. Besonders im Herbste finden sich oft große rote Öltropfen im Innern dieses Peridiniums. Die Fortpflanzung erfolgt meistens unter Sprengung der Hülle, worauf der Inhalt ("nackte Form") ins Freie gerät. Ist diese "nackte Form" in Teilung begriffen und mit Gallerte eingehüllt, so kann man dieselbe als



Fig. 103. Peridinium guestro-(Wollwiense mihi. steiner See. $(44 \mu$ lang.) 11. 7.



Fig. 104. Peridinium guestrowiense. Dorsal. (Wollsteiner See.)

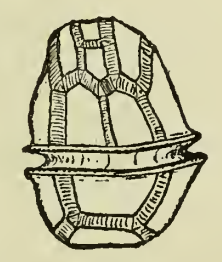


Fig. 105. Peridinium guestrowiense mihi. Längliches Exemplar von der Seite.

"Gallertspore" bezeichnen.¹²) Andere Fortpflanzungsarten und Dauersporen bisher unbekannt. Hauptentwicklung im Hechsommer.

¹²⁾ Ich habe solche "nackte Stadien" von P. guestrowiense im Wollsteiner See (Posen) beobachten können - einmal lagen eine größere Anzahl beisammen, von denen einige im Begriff waren, aus der Hülle zu schlüpfen — doch habe ich nie Gallertsporen mit 4 Teilprodukten gesehen. (Br. Schröder, Ber. d. deutsch-bot. Ges., Bd. XXXV, Heft 7, 1917.) (Vgl. hier Seite 150 und 162.)

Vorkommen: Überall gemein in stehenden, nicht zu sehr verschmutzten Gewässern, doch nur in der wärmeren Jahreszeit. In sehr großen Seen scheint *P. guestrowiense* limnetisch selten zu sein.

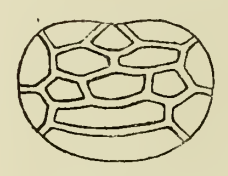


Fig. 106.

Peridinium guestrowiense mihi. Epivalvatäfelung. (Seeform;
dicke Platten, unregelmäßiger.)

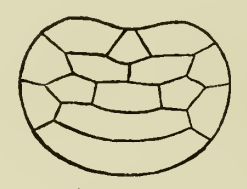


Fig. 107.

Peridinium guestrowiense mihi. Epivalvatäfelung. (Moorform;
regelmäßiger.)
(SchwarzerSee 7.1916).



Fig. 110.

Peridinium guestrowiense
mihi. Hypovalvatäfelung.
(Seeform.)

Im Wollsteiner See (Posen) Juli 1916 (Textfig. 113, 114) und im Schlawasee, 2. 7. 1918, sah ich alle "Altersstadien", auch Formen mit hautartiger Täfelung. Von anderen Fundorten nenne ich: Schwarzer See (Waldteich, Ufer mit Sphagnum) bei Güstrow (Meckl.); Teich bei Czenstochau (Polen); Altrhein von Neuhafen;



Fig. 113.

Peridinium guestrowiense
mihi. Glenodiniumstadium. Ventral. (Wollsteiner See.)



Fig. 114.

Peridinium guestrowiense mihi. Dasselbe Stadium. Epivalvatäfelung.

Bodensee (Gondelhafen bei Lindau); Ochsenteich (Fischteich, gedüngt) Creba (Schlesien); endlich der Viktoria Nyanza (Afrika). (Siche auch Seite 191.)

Spezielle Formen:

Zuerst fand ich diese Form fast in "Reinkultur" im Schwarzen See (Waldteich, torfig) bei Güstrow (Meckl.) (Archiv d. Ver. d. Freunde d. Naturgesch. in Meckl.71, 1916); solche Exemplare aus ruhigen Moorgewässern haben meist eine etwas zartere Täfelung als diejenigen aus größeren Seen. Ich sprach daher früher von einer "Zwischenform" zwischen *P. willei* und dem typischen *P. guestrowiense* (Zeitschr. d. nat. Abt. d. d. Ges. f. Kunst u. Wiss. Posen, Nr. 77, S. 10) oder auch von einer "limnetischen Ausbildungs-

Untersuchungen über Süßwasserperidingen und ihre Variationsformen 155

form" des *P. guestrowiense* (dorts. Nr. 81, S. 27), habe mich aber später überzeugt, daß hier stets dieselbe Form vorlag. (Textfig. 103, 104 aus dem Wollsteiner See, Textfig. 108, 109 aus dem Schwarzen See bei Güstrow.)



Fig. 108.

Peridinium guestrowiense mihi. Epivalvatäfelung einer Form
latissime intercalatum.
(Moorform.)



Fig. 109.

Peridinium guestrowiense
mihi. Hypovalvatäfelung
derselben Form.

Im Krakower See (Meckl.) fanden sich Exemplare, bei denen die Rautenplatte oben unsymmetrisch gestaltet war (Textfig. 111,

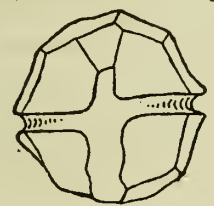


Fig. 111.

Peridinium guestrowiense mihi. Ventral.
Rautenplatte oben unsymmetrisch. (Krakower See 8. 1917.)

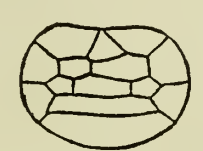


Fig. 112.

Peridinium guestrowiense mihi.

Epivalvatäfelung.
(Krakower See.)

112). Eine eigenartige Ausbildungsform des P. guestrowiense stellt auch Textfig. 115, 116 dar (aus einem Wiesentümpel am Ufer.

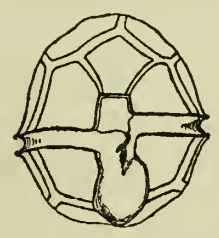


Fig. 115.

Peridinium guestrowiense
Forma.(Wiesentümpel am
Linciusz-See.)

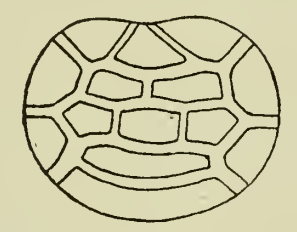


Fig. 116.

Peridinium guestrowiense
mihi Epivalvatäfelung
dieser Form.

des Linciusz-Sees (Posen): hier ist die Rautenplatte auffällig groß, die ganze Form ist schmäler und die Längsfurche breiter als sonst.

Endlich kommen wir zu Epivalvatäfelungen von *P. guestrowiense*, wie ich sie in einzelnen Exemplaren gefunden habe: ich kann dieselben nur als pathologisch ansehen und habe sie deswegen

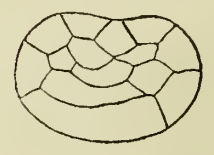


Fig. 117, Peridinium guestrowiense mihi. Abnorme Form. Witoslawer See(29.7.1917.)



Fig. 118.

Peridinium guestrowiense mihi. Abnorme Form. Ziegeleiausstich bei Güstrow.

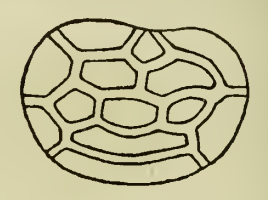


Fig. 119.

Peridinium guestrowiense
mihi. Abnorme Form.
Fundort ?

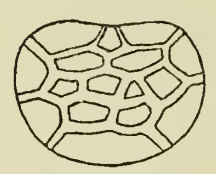


Fig. 120. Peridinium guestrowiense mihi. Abnorme Form. Inselsee bei Güstrow (26. 7. 1916.)



Fig. 121.

Peridinium guestrowiense mihi. Abnorme
Form. Witoslawer See
(29. 7. 1917).

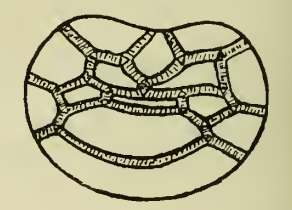


Fig. 122.

Peridinium guestrowiense
mihi. Abnorme Form.
Schlawasee.

nicht besonders benannt. Textfig. 121 erinnert an *P. cinctum*, nur daß hier die dreieckige Scheitelplatte mit ihrer Spitze nach links gerichtet ist (bei *P. cinctum* nach rechts) und Textfig. 122 gibt ein Exemplar wieder, das man als "forma *lineatum*" bezeichnen könnte (siehe Zeitschr. d. nat. Abt. d. d. Ges. f. Kunst u. Wiss. Posen, Nr. 83, S. 25, Zeile 2 v. o.) — ich glaube jedoch, daß es sich auch hier um eine Abnormität handelt.

Peridinium guestrowiense var. cyclicum n. var. Textfig. 123, 124.

Unterscheidet sich von *P. guestrowiense* nur durch die gegenseitige Lage der Apikalplatten. Die vap und die map etwa so lang wie breit, daher sind die 6 Apikalplatten kreisförmig angeordnet. Epivalva ebenfalls in der Ansicht von oben fast kreisrund.

Vorkommen: bisher nur im Sumpfsee bei Güstrow (Meckl.). August 1917.

Peridinium guestrowiense forma sinuatum mihi. Textfig. 128—129.

Wie P. guestrowiense; doch ist die forma sinuatum auf der ventralen Seite stark eingebuchtet: hierdurch kommt es,

Untersuchungen über Süßwasserperidineen und ihre Variationsformen 157.

daß die beiden vap in einem Winkel zueinander ("knieförmig") liegen. Bei typischen Exemplaren ist die Rautenplatte auf der Epivalvaansicht (von oben gesehen) nicht sichtbar.

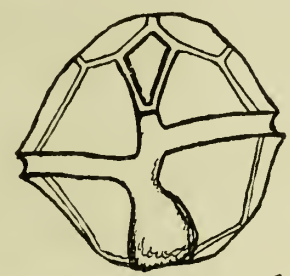


Fig. 123.

Peridinium guestrowiense var.
cyclicum n. var. Ventral. (Sumpfsee 8. 1917.) (46 μ lang.)

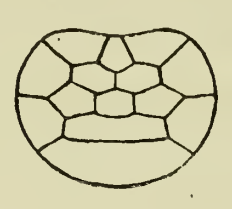


Fig. 124.

Peridinium guestrowiense var.

cyclicum n. var.

Epivalvatäfelung.

Vorkommen: In sehr typischen Exemplaren bisher nur im Viktoria Nyanza (Afrika) (Probe 6, nach der Arbeit von Woloszyńska in Hedwigia, Bd. LV, 1914). Smith-Sound bei Muanza in der Höhe der Kiwumba-Inseln. (27. 9. 1910.)



Fig. 128.

Peridinium guestrowiense forma sinuatum mihi. Stärker eingebuchtet. (Viktoria Nyanza.) Epivalvatäfelung in natürlicher Ansicht.

Fig. 128.

Fig



Fig. 129.

Peridinium guestrowiense forma
sinuatum mihi. Stärker eingebuchtet. (Viktoria Nyanza.)

Hypovalvatäfelung.

Ich bringe hier in Abbildung 125—127 ebenfalls eine Form von P. g. f. sinuatum aus dem Schlawasee (Schlesien, 19. 8. 1917).

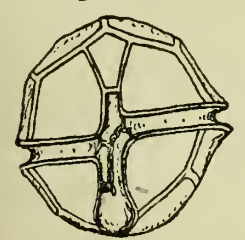


Fig. 125.

Peridinium guestrowiense
forma sinuatum mihi.

Ventral. (Schlawasee.)

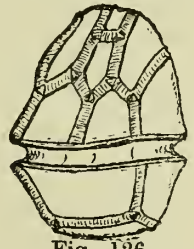


Fig. 126.

Peridinium guestrowiense forma
sinuatum mihi, Von
der Seite.

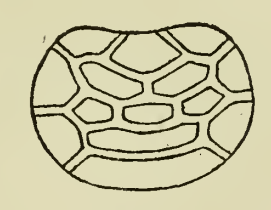


Fig. 127.

Peridinium guestrowiense
forma sinuatum mihi.
Epivalvatäfelung.

Diese Form ist auch ventral eingebuchtet, aber nicht so stark wie die afrikanische. Fig. 127 stellte ich seinerzeit Herrn Dr. Schröder,

Breslau, zur Verfügung (siehe Ber. d. d. bot. Ges., Bd. XXXV, Heft 9, 1917, Seite 688), nannte diese Form aber damals *P. willei* var. geniculatum. Dieselbe gehört also nach der hier festgelegten Nomenklatur zu *P. guestrowiense*; ferner ist der Name geniculatum zu streichen, da für denselben nun die Bezeichnung sinuatum eintritt. (Siehe auch Zeitschr. d. nat. Abt. d. d. Ges. f. Kunst u. Wiss. Posen 1918, Nr. 83, S. 25.)

Peridinium guestrowiense forma compressum mihi. Textfig. 130—132.

Zellen fast kreisrund, $42~\mu$ lang, fast ebenso breit, dorsoventral sehr stark abgeplattet. Apex fehlt. Querfurche linkswindend, Längsfurche auf die Epivalva übergreifend, kaum



Fig. 130.

Peridinium guestrowiense forma compressum mihi. Ventral.
(Witoslawer See.)

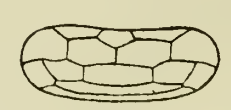


Fig. 131.

Peridinium guestrowiense forma compressum mihi. Epivalvatäfelung.

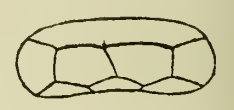


Fig. 132.

Peridinium guestrowiense forma compressum mihi. Hypovalvatäfelung.

bis zum Hinterende reichend. Valven fast gleich groß; Epivalva mit 7 pr + 1 r + 2 vap + 3 map + 1 dap. Die ventrale und mittlere Apikalplattenreihe sind je in einer Linie angeordnet. Hypovalva mit 5 pst und 2 at, von denen die rechte die größere ist. Platten zart, fein areoliert (?).

Wahrscheinlich ist diese Form als Variationsform zu P. gue-

strowiense mihi aufzufassen.

Witoslawer See (Posen) 29. Juli 1917. 1 Ex.

Peridinium guestrowiense subvar. originale n. s. Textfig. 133.

Diese Form unterscheidet sich von P. guestrowiense nur durch die Hypovalvatäfelung, indem nämlich die große dorsale Post-



Fig. 133.
Peridinium guestrowiense subvar. originale n. s. Hypovalvatäfelung.

aequatorialplatte nochmals geteilt ist. Daher Hypovalva mit **6** pst und 2 at, von denen die rechte die größere ist.

Vorkommen: Schwarzer See (Moorteich

im Walde) bei Güstrow (Meckl.).

Auf diese Form wies ich bereits im Arch. f. Hydrob. u. Planktk. Bd. XI, 1916, Abb. 12, hin; dieselbe erlangte eine ganz besondere Bedeutung durch die Entdeckung der Täfelung von *Sphaerodinium* Wolosz. und kommt wahr-

scheinlich vereinzelt bei den verschiedensten Peridineen vor. (Siehe Seite 122 vorliegender Arbeit.)

Gruppe Peridinium cinctum Ehrbg.

Bisher ist von dieser ganzen Gruppe wohl nur die Ausgangsform bekannt gewesen; dieselbe ist so widersprechend abgebildet worden, daß eine Feststellung der ihr nächststehenden Unterformen nötig wurde. Ich gab dieselbe in der Zeitschr. d. nat. Abt. d. d. Ges. f. Kunst u. Wiss. Posen, 1917, Heft 81, Seite 29 u. folg. Das dort Gesagte behält seine volle Gültigkeit. Es kommen oft Formen, die stark und solche, die weniger stark dorsoventral zusammengedrückt sind, nebeneinander vor. Auch ist die rechte at

bei der typischen Form stets größer als die linke.

P. cinctum var. Lemmermanni G. S. West muß ich streichen, da diese Form in den Variationsbereich von P. cinctum fällt. (Es ist außerdem eine B-collineatum-Form; Lemm. Flora, S. 651, Fig. 20.) Nun noch ein Wort über P. westi Lemm. Ich habe diese Form trotz eifrigen Suchens in weit niehr als 100 deutschen Seen niemals gefunden; dieses negative Resultat ist mir von anderer Seite bestätigt worden. 18) Vielleicht ist diese Form nur in Gebirgsseen heimisch. Ich halte die von Lemmermann (Flora: S. 651, Fig. 23) gegebene Epivalvatäfelung für eine δε-bicollineatum-Form, und es wäre zu wünschen, daß eine "normale" Epivalvatäfelung auch hier festgestellt würde. (Siehe auch Seite 182.) Auffallend ist mir nur, daß Lemmermanns Fig. 23 nicht mit Fig. 21 übereinstimmt: der zwischen 4 pr und 5 pr gelegene Interkalarstreifen ist bei Fig. 21 (und ebenso bei der Varietät Fig. 26) so eingezeichnet, als ob eine normale Form von P. cinctum vorläge. Auf diesen Streifen kommt es aber gerade an! Endlich bin ich der Ansicht, daß P. westi var. areolatum Lemni. gar nicht zu P. westi, sondern zu P. cinctum gehört, da es nicht mit "vielfach gewundenen, oft verzweigten Leisten" besetzt, sondern areoliert ist; doch darüber später mehr.

Die systematische Stellung der von Virieux abgebildeten Form (Bull. de la Soc. d'Hist. anat. du Doubs) "P. westi" ist nicht zu entscheiden, bevor nicht die Epivalvatäfelung bekannt ist.

Die nunmehr von mir in vorliegender Gruppe abgebildeten Peridineen sind äußerlich alle dem P. cinctum Ehrbg. (dem sie stets beigemischt sind) so ähnlich, daß sie wohl bisher übersehen wurden. Nur von P. c. forma angulatum trifft man häufiger einheitliche Populationen an.

Bestimmungstabelle.

A. Hypovalva mit 5 pst + 2 at.

1. Epivalva mit 7 pr + 1 r + 2 vap + 2 map + 2 dap. Die r map liegt zentral; die r vap und r dap berühren sich und

¹³) Nur Wołoszynska führt P. westi häufiger an: Przyczynek do znajomosci planktonu roslinnego jezior kujawskich, Sitzungsber, d. Warschauer Ges. d. Wiss. 1913, Lief. 7. Diese Seen dürften mit den Posener Seen die größte Ähnlichkeit haben.

sind **größer** als die links gelegenen Apikalplatten. Rechte at meist größer als die linke P. cinctum Ehrbg.

- a) wie A1, nur alle Apikalplatten nahezu gleichgroß, kreisförmig um die rmap gruppiert. Die beiden at meist gleichgroß P. cinctum var. regulatum mihi,
- b) wie A1, nur die rvap und rdap sind jede drei bis viermalsogroß, wie je eine der drei an der linken Seite gelegenen ap. Rechte at größer als die linke

P. cinctum var. irregulatum mihi,

c) wie *P. cinctum* (A 1), nur ist die Form an der ventralen Seite abgeplattet, so daß an den Seitenflächen ventral scharfe eckige Kanten entstehen

P. cinctum forma angulatum mihi,

d) wie A1, doch macht diese Form den Eindruck eines dorsoventral abgeplatteten *Glenodinium*-Stadiums von *P. cinctum*. Umriß genau eiförmig

P. cinctum forma ovoplanum mihi,

2. Epivalva mit 7 pr + 1 r + 2 vap + 1 sap + 2 dap. Die r dap sehr groß. Sonst wie P. cinctum

P. cinctum var. laesum mihi.

3. Epivalva mit 7 pr + 1 r + 1 vap + 1 sap + 1 map + 2 dap. Die map berührt die r. Sonst wie P. cinctum

P. cinctum var. dissimile mihi.

Epivalva mit 7 pr + 1 r + 1 vap + 1 map + 2 sap + 1 dap.
 Rechte sap sehr groß, halbkreisförmig, reicht von r bis zur 4 pr. map berührt die r. Sonst wie P. cinctum

P. cinctum var. curvatum mihi.

- 5. Epivalva mit 7 pr + 1 r + 2 vap + 3 map + 2 dap. Die r vap und r dap berühren sich; die m map grenzt sowohl an die beiden vap als auch an die beiden dap. Sonst wie P. cinctum

 P. eximium mihi
 - a) wie A 5, nur die m map grenzt wohl an die beiden dap, doch nur an die eine linke vap

 P. eximium

var. mutatum mihi

6. Epivalva mit 4 pr + 1 r + 2 vap + 1 map + 1 sap + 2 dap. Die lvap sehr klein; die r vap und r dap berühren einander. Die 4 pr sehr groß, umfaßt die ganze linke Seite

P. semicirculatum mihi

7. Epivalva mit 7 pr + 1 r + 2 vap + 1 map + 2 dap. Sonst wie P. cinctum P. germanicum mihi

B. Hypovalva mit 6 pr + 2 at.

1. Épivalvatäfelung und sonst die ganze Form wie *P. cinctum P. cinctum* subvar. originale mihi

2. Epivalva mit 9 pr + 1 r + 2 vap + 2 map + 1 sap + 2 dap.

Die r dap und sap berühren die r vap. Sonst ähnlich P.

cinctum

P. scallense mihi

Untersuchungen über Süßwasserperidineen und ihre Variationsformen 161

Peridinium cinctum (Müller) Ehrbg. Textfig. 134-139.

Die Diagnose ist erneut abzugrenzen, wie folgt: Zellen von kugeliger Gestalt, dorsoventral mehr oder weniger stark zusammengedrückt. $45-60~\mu$ lang, fast ebenso breit. Apex fehlt. Querfurche ziemlich stark linkswindend; von hervorragenden, deutlich



Fig. 134.
Peridinium cinctum
Ehrbg. Ventral. (Wollsteiner See 11. 7. 1916.)



Fig. 135.

Peridinium cinctum
Ehrbg. Dorsal.
(Wollsteiner See.)



Fig. 136.

Peridinium cinctum

Ehrbg. (Längliches

Exemplar von der Seite.)

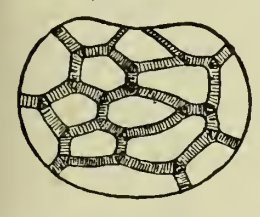


Fig. 137.

Peridinium cinctum

Ehrbg. Epivalvatäfelung.

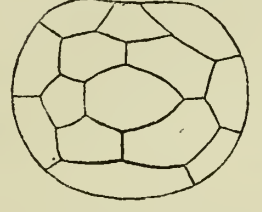


Fig. 138.

Peridinium cinctum

Ehrbg.Epivalvatäfelung
eines besonders breiten,
von oben gesehen fast
kreisförmigen Exemplars. Tafeln sehr dünn.
(Witoslawer See
29. 7. 1917.)

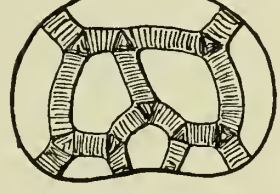


Fig. 139.

Peridinium cinctum
Ehrbg, Hypovalvatäfelung.
(Wollsteiner See.)

quergestreiften Rändern eingefaßt. Längsfurche ziemlich weit auf die Epivalva übergreifend, bis zum Hinterende verlaufend; in der Mitte des linken Seitenrandes der Längsfurche befindet sich meist ein kleiner Stachel. Epivalva etwas größer als die Hypovalva. Epivalva mit 7 pr + 1 r + 2 vap + 2 map + 2 dap. Rechte vap und dap deutlich größer als die entsprechende linke. Die r map reicht nicht bis zur 2 pr, sondern die r vap und r dap berühren einander. Hypovalva mit 5 pst + 2 at, von denen meist die rechte größer als die linke. Tafeln meistens sehr stark, kräftig areoliert; Interkalarstreifen linienförmig bis sehr breit. Hin und wieder trifft man auch Exemplare im "Glenodiniumzustand" mit zartem, hautartigem Panzer. Kern rundlich-eiförmig, zentral.

Archiv für Naturgeschichte 1918. A. 8. Chromatophoren rundlich-scheibenförmig, hell- bis schwarzbraun, zahlreich, wandständig. Augenfleck fehlt. Besonders im Herbste findet man große rote Öleinschlüsse. Fortpflanzung: vorwiegend durch "Teilung der nackten Zelle unter Zerreißung und Abwerfung der Hülle". Solche nackte Zellen finden sich freischwimmend oft in größerer Zahl; sie sind mit reichlicher, ohne Tuscheeinbettung sichtbarer Gallerte umgeben und sind wahrscheinlich befähigt, sich auch freischwimmend zu teilen. (Gallertsporen oder Cystes mouqueux)¹⁴) Andere Fortpflanzungsarten bisher unbekannt. Die Encystierung soll nach Schilling nach Abwerfen des Panzers "unter Bildung einer neuen strukturlosen Hülle" erfolgen.

Vorkommen: Überall gemein in stehenden oder langsam fließenden Gewässern, die auch etwas verschmutzt sein können. (Gedüngte Fischteiche.) Kommt auch in sehr großen, tiefen Seen limnetisch vor und ist hier manchmal die einzige Peridinee. Fundorte: z. B. Großer Plöner See, Kellersee, Schaalsee, Schweriner See, Madüsee, Kosnosee, Schlawasee, Eschbachtalsperre bei Remscheid (noch im Dezember), Walchensee, Wigrysee bei Suwalki. (Siehe Seite 191.)

Peridinium cinctum var. regulatum mihi Textfig. 140.

Unterscheidet sich von *P. cinctum* nur durch den Bau der Epivalvatäfelung. Die Apikalplatten sind sämtlich nahezu

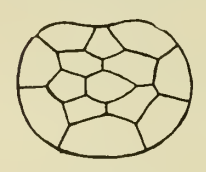


Fig. 140.

Peridinium cinctum
var. regulatum mihi.
Epivalvatäfelung.
(Walchensee.)

Die Apikalplatten sind sämtlich nahezu gleichgroß und so geordnet, daß die r map den vorderen Pol bildet und die übrigen kreisförmig um diese gruppiert sind. Bei den bisher gesehenen Exemplaren waren ferner die at gleichgroß.

Abb. bei Schilling, Süßwasserflora, Heft 3, S. 46. Ebenfalls: Zeitschr. d. nat. Abt. usw.

Posen, Nr. 81, S. 32, Abb. 12.

Vorkommen: Seltene Form, Kainoweteich bei Trachenberg, Sept. 1912. Walchensee (Oberbayern) 17. 8. 1916.

Peridinium cinctum var. irregulatum mihi Textfig. 141, 142.

Unterscheidet sich von *P. cinctum* nur durch den Bau der Epivalvatäfelung. Die r vap und die r dap sind jede **drei bis viermal so groß** als je eine der drei an der linken Seite gelegenen Apikalplatten. Rechte at größer als die linke.

Abb. in der Zeitschr. d. nat. Abt. usw. Posen, Nr. 81, S. 32, Abb. 14. Die Textabbildung 141 hierselbst gibt die Ventralansicht

¹⁴⁾ Siehe Virieux, J.: Sur la reproduction d'un Péridinien limnetique, P. westi Lemm., in Comptes rendues d. séances d.l. Soc. de Biologie, Tome LXXVI, pag. 534. Paris 1914. Lindemann, E.: Arch. f. Protk., Bd. 39, Heft 3, Taf. 17, Fig. 13. Vergleiche auch hier: Seite 150 und 153.

einer etwas abweichenden Form wieder: hier ist die Rautenplatte sehr klein und die Längsfurche greift daher sehr stark auf die Epivalva über.

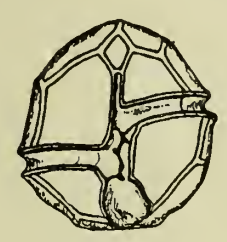


Fig. 141.

Peridinium cinctum var.

irregulatum mihi. Ventral.

(Forma.) Wollsteiner See

(44 \mu lang.) (11. 7. 1916.)



Fig. 142.

Peridinium cinctum
var. irregulatum mihi.
Epivalvatäfelung desselben Exemplares.

Vorkommen: Seltene Form, doch häufiger als P. c. var. regulatum.

Wollsteiner See. Juni 1916. Schlawasee. 2. 7. 1918.

Peridinium cinctum forma angulatum n. f. Textfig. 143—150.

Unterscheidet sich von *P. cinctum* durch eine völlige ventrale Abplattung (oft besonders der Epivalva), durch welche an den Seitenflächen ventral scharfe eckige Kanten entstehen. Bei Betrachtung der natürlichen Lage der Epivalvatäfelung von oben ist die Rautenplatte meist nicht sichtbar und die beiden vap bilden ventral ebenfalls eine scharfe Kante.

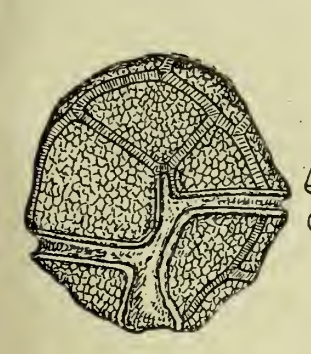


Fig. 143.

Peridinium cinctum
forma angulatum n. f.
Ventral. (Eschbachtalsperre.) (50-55 μ lang.)
(rechte at etwas größer als die linke.)

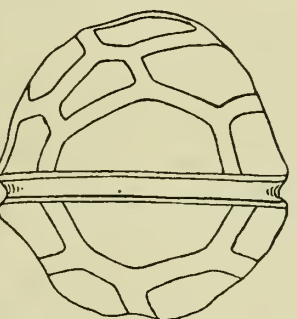


Fig. 144.

Peridinium cinctum
forma angulatum n. f.

Dorsal.



Fig. 145.

Peridinium cinctum
forma angulatum n. f.
Von der rechten
Seite.

Nicht immer ist forma angulatum so deutlich ausgeprägt wie Textfig. 145, 146 oder besonders 149. Übergänge von P. cinctum zur forma angulatum häufig.

Vorkommen: Häufige Form. Eschbachtalsperre bei Remscheid 13. 12. 1904. Kainoweteich bei Trachenberg 29. 9. 1912

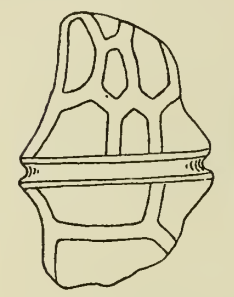


Fig. 146.

Peridinium cinctum forma angulatum n. f. Von der linken Seite.

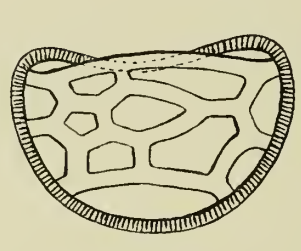


Fig. 147.

Peridinium cinctum forma
angulatum n. f. Epivalvatäfelung in natürlicher
Ansicht.

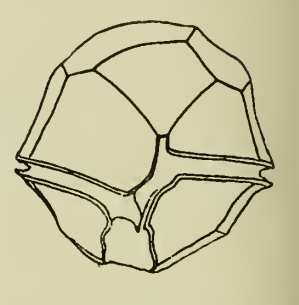


Fig. 148.

Peridinium cinctum forma angulatum n. f. Forma aus dem Kainoweteich (Trachenberg). Ventral. (54 μ lang. 56 μ breit.)



Fig. 149.

Peridinium cinctum
forma angulatum n. f.
Dieselbe Forma von der
rechten Seite. (Epivalva
mit besonders starker
Abplattung.)



Fig. 150.

Peridinium cinctum
forma angulatum n. f.
Glenodiniumzustand.

(auch im Glenodiniumzustande). Waldteich-Kankel bei Lissa (Posen) Frühjahr 1918. In Seen oft weniger typische Exemplare, so im Schlawasee 2. 7. 1918.

Peridinium cinctum forma ovoplanum n. f. Textfig. 151—155.

Täfelung wie *P. cinctum*, doch hat diese Form ein gänzlich verändertes Aussehen. Der Panzer ist hautartig dünn, ohne irgendwelche Verdickungen oder Leisten, so daß die Form (ventral betrachtet) genau wie ein Ei aussieht. Dorsoventral ist dieselbe stark abgeplattet. (Seitenansicht!) Chromatophoren zahlreich, strahlig angeordnet. Kern rundlich, etwa zentral gelegen.

Vorkommen: Nur in einer Probe gefunden, hier aber recht häufig: Eschbachtalsperre bei Remscheid (9. 4. 1903). Das Material verdanke ich der Güte des Herrn Professor Dr. Kolkwitz.

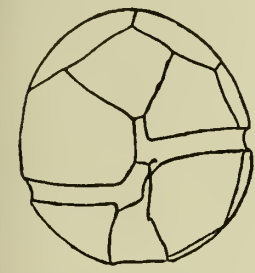






Fig. 152. Peridinium cinctum forma Peridinium cinctum forma Peridinium cinctum ovoplanum n. f. Ventral. ovoplanum n. f. (r. klein.) forma ovoplanum



Fig. 153. n. f. Von der Seite.



Fig. 154. Peridinium cinctum forma ovoplanum n. f. Habitusbild mit Kern und Chromatophoren.

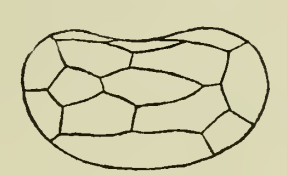


Fig. 155. Peridinium cinctum forma ovoplanum n. f. Epivalvatäfelung, etwa in natürlicher Ansicht.

Vielleicht ein abgeplattetes Glenodiniumstadium einer besonderen Form von P. cinctum¹⁵).

Peridinium cinctum var. laesum n. var. Textfig. 156, 157.

Unterscheidet sich von P. cinctum nur durch die Epivalvatäfelung. Epivalva mit 7 pr + 1 r + 2 vap + 1 sap + 2 dap. Die r dap ist sehr groß. Von P. cinctum abzuleiten durch Ausfall des Interkalarstreifens zwischen der r map und der r dap.

¹⁵⁾ Nach Fertigstellung dieser Arbeit fand ich tatsächlich in einem stillen Waldteiche bei Güstrow (Meckl.) (3. 1919) Formen mit dickem Panzer, die P. c. forma ovoplanum entsprachen, nur daß dieselben kugeliger waren. (Von einer ähnlichen Form dürfte Steins Abbildung (bei Lemmermann, Kryptogamenflora, Seite 651, Fig. 14) herrühren.) Solche dorsoventral abgeplatteten Formen von *P. cinctum*, die manchmal Übergänge zur Forma angulatum bilden, dürften sich in Mooren öfter finden: ich würde dieselben stets *P.c.* forma ovoplanum benennen. (Sie entsprechen in ihrer Abplattung dem *P. willei* forma stagnale n. f.) (*P. c.* var. palustre mihi ist von dieser forma ovoplanum durch die Epivalvatäfelung und durch den Kamm unterschieden.)

Vorkommen: Einzeln unter normalen Formen von P. cinctum. Wollsteiner See. (11. 7. 1916.) 56 µ lang. 50 µ breit. Schöh-

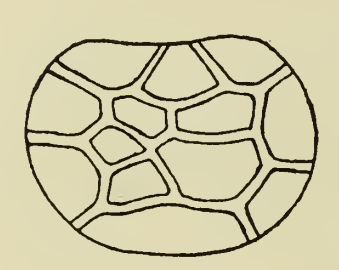


Fig. 156. (56 μ lang; 50 μ breit.) (Wollsteiner See 11. 7. 1916.)

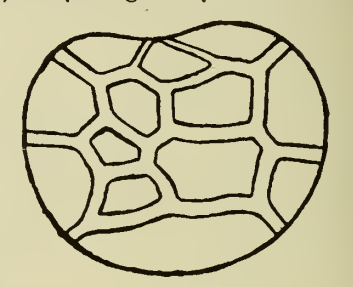


Fig. 157. Peridinium cinctum var. laesum Peridinium cinctum var. laesum n. var. Epivalvatäfelung. var. (Schöhsee 12. 7. 1918.)

see (Holstein). (12.7.18.) Das Material aus dem Schöhsee verdanke ich der Güte des Herrn Professor Dr. Thienemann; die hier gefundene Form zeigte gleichzeitig in geringerem Grade ventrale Abplattung (wie forma angulatum). (Textfig. 157.)

Peridinium cinctum var. dissimile n. var. Textfig. 158, 159.

Unterscheidet sich von P. cinctum nur durch die Epivalvatäfelung. Epivalva mit 7 pr + 1 r + 1 vap + 1 sap + 1 map + 2 dap. Die map berührt die r.

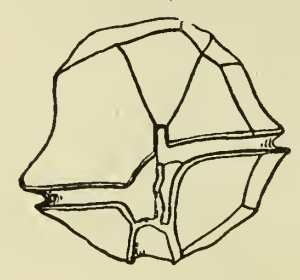


Fig. 158. Peridinium cinctum var. dissimile n. var. Ventral. (Lindensee 13. 5.
 1916.) (56 μ lang; 50 μ breit. Rechte at größer als die linke.)

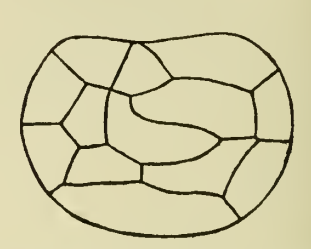


Fig. 159. Peridinium cinctum var. dissimile n. var. Epivalvatäfelung.

Von P. cinctum abzuleiten durch Ausfall des Interkalarstreifens zwischen der I vap und r map und desjenigen zwischen I vap und I map, mit Verschiebung angrenzender Interkalarstreifen.

Vorkommen: Lindensee (Kreutscher See) bei Lissa (Posen) 13. 5. 1916. 1 Ex. 56 μ lang, 50 μ breit.

Untersuchungen über Süßwasserperidineen und ihre Variationsformen 167

Peridinium cinctum var. curvatum n. var. Textfig. 160-162.

Unterscheidet sich von *P. cinctum* nur durch die Epivalvatäfelung. Epivalva mit 7 pr + 1r+ 1 vap + 1 map + 2 sap + 1 dap. Rechte sap sehr groß, halbkreisförmig, reicht von r bis zur 4 pr. Die map berührt gleichfalls die r.

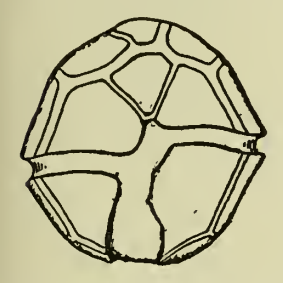


Fig. 160.

Peridinium cinctum
var.curvatum n.var.Ventral (Wollsteiner See.)

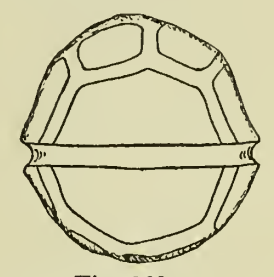


Fig. 161.

Peridinium cinctum
var. curvatum n. var.

Dorsal.

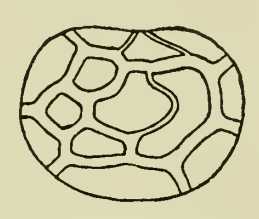


Fig. 162.

Peridinium cinctum var.

curvatum n. var. Epivalvatäfelung.

Von P. cinctum abzuleiten durch Ausfall und Verschiebung mehrerer Interkalarstreifen.

Vorkommen: Wollsteiner See. (11. 7. 1916.) 1 Ex.

Peridinium eximium n. sp. Textfig. 163-166.

Diagnose: Zellen von kugeliger Gestalt, dorsoventral etwas zusammengedrückt. $54~\mu$ lang, $50~\mu$ breit. Apex fehlt. Querfurche ziemlich stark linkswindend, von etwas hervorragenden Rändern eingefaßt. Längsfurche etwas auf die Epivalva übergreifend,



Fig. 163.

Peridinium eximium n. sp.
Ventral. (Eschbachtalsperre 13. 12. 1904.) (leicht
dorsoventral abgeplattet.)

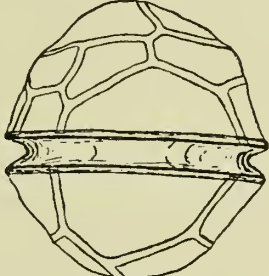


Fig. 164.

Peridinium eximium
n. sp. Dorsal.

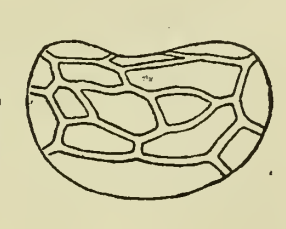


Fig. 165.

Peridinium eximium n.
sp. Epivalvatäfelung.

bis zum Hinterende verlaufend. Epivalva etwas größer als die Hypovalva. Epivalva mit $7 \, \mathrm{pr} + 1 \, \mathrm{r} + 2 \, \mathrm{vap} + 3 \, \mathrm{map} + 2 \, \mathrm{dap}$. (Unterscheidet sich von P. cinctum nur durch eine akzessorische

m map!) Die r map reicht nicht bis zur 2 pr, sondern die r vap und die r dap berühren sich. Die m map grenzt sowohl an

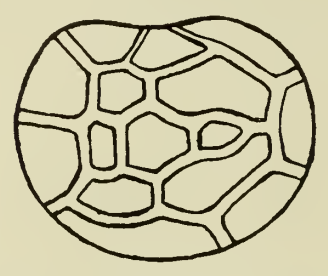


Fig. 166.

Peridinium eximium n. sp. Epivalvatäfelung. (Wollsteiner See 11. 7. 1916.)
(weniger dorsoventral abgeplattet.)

die beiden vap, als auch an die beiden dap. Hypovalva mit 5 pst und 2 at, von letzteren ist die rechte größer als die linke. Tafeln dick, kräftig areoliert; Interkalarstreifen linienförmig bis breit.

Chromatophoren rundlichscheibenförmig, braun. Augen-

fleck fehlt.

Vorkommen: Eschbachtalsperre bei Remscheid (13. 12. 1904). 1 Ex. Wollsteiner See (Posen) (11. 7. 1916).

1 Ex., weniger stark dorsoventral zusammengedrückt.

Peridinium eximium var. mutatum n. var. Textfig. 167.

Unterscheidet sich von *P. eximium* nur durch die Änderung eines Interkalarstreifens der Epivalva. Derjenige zwischen der

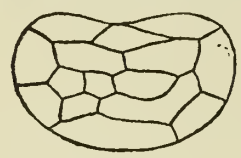


Fig. 167.

Peridinium eximium var.

mutatum n. var. Epivalvatäfelung. (Eschbachtalsperre 20. 4. 1903.)

r map und m map ist an der ventralen Seite nach links noch über den zwischen der r vap und l vap gelegenen hinausgewandert. Daher grenzt die m map wohl an die beiden dap, doch nur an die eine linke vap.

Diese Variationsform gehört scheinbar zu den "travectum"-Formen; sie ist jedoch aus den Seite 182 (bei Heterocapsa) angeführten Gründen nicht zu diesen zu stellen.

Vorkommen: Eschbachtalsperre bei Remscheid. (20.4.1903) 1 Ex.

Peridinium semicirculatum n. sp. (var. β -collineatum n. var.) Textfig. 168—171.

Diagnose: Zelle von ovaler Gestalt, mit unregelmäßigkantigem Umriß, dorsoventral stark abgeplattet. 73 μ lang, 63 μ breit. Apex fehlt. Querfurche stark schraubig; linkswindend, von dicken, quergestreiften Rändern eingefaßt. Längsfurche wenig auf die Epivalva übergreifend, fast bis zum Hinterende verlaufend; in der Mitte des linken Seitenrandes der Längsfurche befindet sich ein nach oben gerichteter Stachel. Epivalva wenig größer als die Hypovalva, mit 4pr + 1r + 2vap + 1 map + 1 sap + 2 dap. Die l vap zu einer sehr kleinen Platte reduziert; die beiden dap und die sap liegen in einem Kreisbogen angeordnet. Die map reicht nicht bis an die 2. pr. sondern die r vap und r dap

berühren einander. Die 4 pr sehr groß, umfaßt die ganze linke Seite der Epivalva. Die map ist langgestreckt-fünfeckig



Fig. 168. Peridinium semicircu-latum n. sp. Ventral. (Ukleisee.)

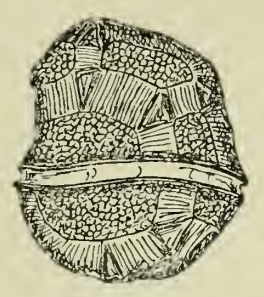


Fig. 169. Peridinium semicirculatum n. sp. Dorsal.



Fig. 170. Peridinium semicircu-latum n. sp. Epivalvatäfelung. (schematisch ausgebreitet.)

und bildet den Scheitel der stark abgeplatteten Form. Hypovalva mit 5 pst + 2 at, von denen die rechte at bedeutend größer ist als

die linke. Die linke ventrale Hälfte der Hypovalva ist massig nach außen vorgetrieben. Tafeln sehr stark, kräftig areoliert. Interkalarstreifen sehr breit. Chromatophoren rundlich-scheibenförmig, braun. Augenfleck fehlt.

Hierzu kann noch bemerkt werden, daß sich die Platten der Epivalva in β-collineatum-Stellung befinden. (Siehe spätere Ausführungen.) Sollte eine Form mit "normaler" Epivalvatäfelung gefunden werden, so wäre vorliegendes Exemplar mit der Varietätsbezeichnung zu versehen.



Fig. 171. Peridinium semicirculatum n. sp. Epivalvatäfelung in natürlicher Ansicht.

Vorkommen: Uklei-See (Holstein). (18. 8. 1916.) 1 Ex. Das Material verdanke ich der Liebenswürdigkeit des Herrn Professor Dr. Thienemann, Plön.

Peridinium germanicum mihi. Textfig. 172, 173.

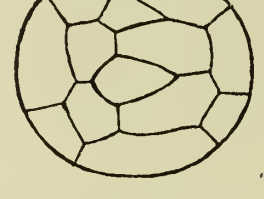
Der Vollständigkeit halber erwähne ich auch hier P. germanicum, weil es von P. cinctum abgeleitet erscheint. (Arch. f. Prot. Bd. 39, Heft 3, S. 250.)

Diagnose: Zellen oval, 42 μ lang, 40 μ breit, dorsoventral etwas zusammengedrückt. Apex fehlt. Querfurche stark links windend; Längsfurche auf die Epivalva übergreifend, auf der Hypovalva verbreitert bis zum Hinterende reichend. Valven fast gleich groß; Epivalva halbkugelig mit 7 pr + 1 r + 2 vap + 1 map + 2dap. Rechte vap und r dap größer als die linke, daher die

Rautenplatte am oberen Ende etwas unsymmetrisch. Hypovalva halbkugelig mit 5 pst und 2 at, von denen die rechte meist etwas größer als die linke ist. Tafeln kräftig areoliert. Chromatophoren bräunlich.

Vorkommen: Witoslawer See (29. 7. 1917). 1 Ex.







(Witoslawer See.)

Fig. 174. Fig. 172. Fig. 173. Peridinium cinctum sub-Peridinium germani- Peridinium germanicum var. originale n. subvar. cum mihi. Ventral. mihi. Epivalvatäfelung. Hypovalvatäfelung.

Peridinium cinctum subvar. originale n. subvar. Textfig. 174.

Diese Form unterscheidet sich von P. cinctum nur durch die Hypovalvatäfelung, indem nämlich die große dorsale Postaequatorialplatte nochmals geteilt ist. Daher Hypovalva mit 6 pst und 2 at, von denen die rechte etwas größer ist.

Vorkommen: Teich auf der Wiese bei der Kirche in Borek

(Posen). (7. 1918.)

Siehe Seite 158. Diese Form erlangte eine besondere Bedeutung durch die Entdeckung der Hypovalvatäfelung von Sphaerodinium Wolosz.

Peridinium scallense subvar. originale n. sp. n. subvar. Textfig. 175—177.

Diagnose: Zellen von kugeliger Gestalt, dorsoventral etwas zusammengedrückt. Etwa 50 µ lang, fast ebenso breit. Apex fehlt.



Fig. 175. Peridinium scallense n. sp. Ventral. (Schaalsee 22. 8. 1916.)

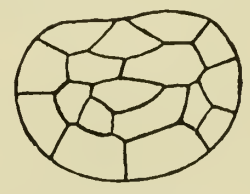


Fig. 176. Peridinium scallense n. sp. Epivalvatäfelung.



Fig. 177. Peridinium scallense n. sp. Hypovalvatäfelung.

Querfurche etwas schraubig, linkswindend. Längsfurche wenig auf die Epivalva übergreifend, bis zum Hinterende verlaufend; in der Mitte des linken Seitenrandes der Längsfurche befindet sich

ein kleiner Stachel. Epivalva etwas größer als die Hypovalva, mit 9 pr + 1 r + 2 vap + 2 map + 1 sap + 2 dap. Die r map reicht nicht bis an die 3 pr, sondern die r vap berührt die r dap und die sap. Hypovalva mit 6 pst und 2 at, von denen die rechte größer ist. Tafeln stark, kräftig areoliert. Interkalarstreifen breit.

Vorkommen: Schaalsee (Lauenburg), Tiergartentief (22. 8. 1916.) 1 Ex. Das Material verdanke ich der Güte des Herrn Professor Dr. Thienemann, Plön. (Siehe auch die Arbeit von Thienemann im Arch. f. Hydrob. u. Planktk. Bd. XII, 1918, über die Bezeichnung der einzelnen Teile des Schaalsee.)

Diese Form ist in mehr als einer Beziehung interessant. Zunächst ist die Hypovalva so getäfelt, wie wir sie bei den Formen finden, die wir mit "subvar. originale" bezeichnet haben. (Siehe Seite 122.) Sodann befindet sich die Epivalvatäfelung, wenn wir sie

mit P. cinctum vergleichen, in der ζ-travectum-Stellung. (Siehe spätere Ausführungen.) Von P. cinctum ist die Epivalvatäfelung vorstehender Form sonst nur durch eine akzessorische Tafel (sap) verschieden. Dasselbe trifft interessanterweise für eine andere Ableitungsform von P. cinctum zu, die ich vorläufig nicht besonders benenne (Textfig. 178). Dieselbe stammt ebenfalls aus dem Material des Schaalsees von Herrn Professor Dr. Thienemann (Dutzower See 14. 8.

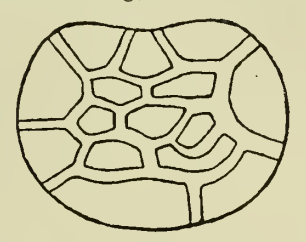


Fig. 178. Peridinium cinctum: Variationsform!

1917), aber weder ihre Epivalvatäfelung zeigt die erwähnte travectum-Stellung, noch weicht ihre Hypovalva vom gewöhnlichen Schema (P. cinctum) ab. Die Zukunft muß entscheiden, ob wir es hier mit einer Zufallsbildung zu tun haben.

Über eine neue Bezeichnungsart gewisser Variationsformen bei den Peridineen.

Voraussetzung für die sichere Erkennung und Bestimmung vorliegender Variationsformen ist eine sichere Beherrschung der normalen Peridineentypen. Die häufigsten Prinzipien der Varietätenbildung bei den Peridineen sind von mir festgelegt worden im Archiv f. Prot. Bd. 39, Seite 210—214. (Siehe auch vorliegende Arbeit S. 121 u. folgde.) Es handelt sich hier meist um Formen, die man einzeln oder in kleinerer Zahl unter normalen Individuen antrifft. (Ausnahme: einige Var. von P. elpatiewskyi, die in südposener Seen zahlreich auftreten.)

Im allgemeinen ist bereits gesagt worden, daß wir die Varietätengruppe a) (Seite 121) mindestens mit der Bezeichnung "varietas" versehen (stärkere Abweichungen zwingen uns oft zur Aufstellung einer neuen Art), während die Gruppe von Variationsformen (im weiteren Sinne) b) durch die Bezeichnung "forma" gekennzeichnet wird. Nach diesem Grundsatze sind sämtliche von mir neu veröffentlichte Peridineennamen gebildet.

Wir sind auf diesem Wege bereits einen Schritt weiter gegangen, indem wir im Archiv f. Prot. Bd. 39, Seite 256 die Bezeichnung "subsp. marssoni" und in vorliegender Arbeit (Seite 122) die Bezeichnung "subvar. originale" anwandten. Zunächst ist hier nun der Ort, nochmals festzustellen, daß wir diese Bezeichnungen hier in einem Sinne anwenden, welcher zwar im allgemeinen mit den internationalen Vorschriften übereinstimmt, doch ein wenig von dem Sinne des Art. 28 (Briquet, John; Règles internationales de la Nomenclature Botanique, Jena 1912) abweicht. Wie schon auf Seite 123 mitgeteilt und durch ein Beispiel erläutert wurde, zwingt uns die Eigenart der Peridineenvariationen, oft einen Namen niederen Grades zu gebrauchen, ohne daß derjenige des nächsthöheren Grades ihm vorangegangen wäre: z. B. Peridinium willei forma stagnale (die "var.", welche vor forma stehen müßte, kann bei abweichender Epivalvatäfelung vor forma treten; ist aber die Epivalva normal, so fehlt die Bezeichnung "var." vor forma gänzlich. Ebenso sagen wir: P. cinctum subvar. originale, ohne daß die Bezeichnung "var." vorausgegangen wäre). Wie ich sehe, ist dieses Verfahren, wenn auch nicht in so ausgedehntem Maße, schon bei anderen (Algen-)Gruppen angewendet worden - uns bietet es die einzige Möglichkeit, die Variationsformen der Peridineen leicht und zwanglos zu bezeichnen.

Ausdrücklich sei indessen nochmals festgestellt, daß wir stets die Vorschrift des Art. 28 innehalten, welche fordert, daß die Namen der Unterarten und Varietäten immer nach ihrer natürlichen Rangfolge aufeinanderfolgen. Eine Umkehrung der Rangfolge wäre selbstverständlich unzulässig.

Zu einer solchen Behandlung der Nomenklatur werden wir gezwungen durch die Eigenart der Peridineen, welche von den verschiedensten Arten ganz gleiche Abweichungen bilden und zwar nicht nur gleiche Abweichungen in einem Merkmale, sondern sogar in verschiedenen, die ganz unabhängig voneinander sind. Beispiele finden wir in Fülle. Peridinium guestrowiense forma compressum und P. willei forma stagnale haben das gemeinsame Merkmal: Abplattung (gleiche Änderung der äußeren Form); P. elpatiewskyi var. collineatum mihi und P. laeve subsp. marssoni var. collineatum mihi sind in derselben Weise gebildet: gleiche Abweichung der Epivalvatäfelung usw. Nun können auch beide Änderungen (Abplattung, Abweichung der Epivalvatäfelung) zu gleicher Zeit auftreten und noch andere dazukommen — kurz, wir würden ein unübersehbares Namengewirre bekommen, wenn wir jede Form ohne Rücksicht auf andere neu benennen wollten, wie es bisher geschehen ist.

Untersuchungen über Süßwasserperidineen und ihre Variationsformen 173

Ieh bin nun bei der Benennung der Variationsformen stets nach demselben Prinzip vorgegangen und will im folgenden eine einheitliche Bezeichnungsart für dieselben vorschlagen. Stellen wir daher hier nochmals alle Möglichkeiten der Varietätenbildung nebeneinander.

Wir unterscheiden folgende Fälle:

A. Änderung der äußeren Gestalt (Gruppe b). (Die } forma

B. Änderung der Täfelung (Gruppe a). (Die äußere Gestalt bleibt dieselbe.)

a) Hypovalvatäfelung ändert sich so, daß statt 5 pst + 2 at eintritt: 6 pst + 2 at. (Andere Änderungen bisher nicht vorgekommen.)

b) Epivalvatäfelung ändert sich, und zwar:

a. nur in geringem Grade und sehr konstant auftretend. (Plattenanordnung bleibt hierbei im allgemeinen ungeändert.)

β. in stärkerem Grade, meist mehr vereinzelt; doch bleibt der Typus der Plattenanordnung noch erkennbar.

γ. total, d. h. die Täfelung trägt einen ganz neuen } sp.

Diese Benennungen können nun beliebig zusammengestellt werden, je nach den Veränderungen, welche die Variationsformen zeigen; doch stets so, daß die Rangstufen sp., subsp., var., subvar., forma in dieser Reihenfolge hintereinander folgen.

Welche Namen man den einzelnen Unterabteilungen beilegen will, bleibt im allgemeinen natürlich dem Forscher überlassen; doch es finden sich innerhalb der Abteilung "var." und "subvar." mit so mathematischer Genauigkeit wiederkehrende Abweichungen, daß es praktisch erscheint, auch für diese bestimmte Namen festzulegen. Und es soll der Hauptzweck dieses Kapitels sein, gerade hier Klarheit zu schaffen.

1. Es ist die Hypovalvatäfelung geändert.

In diesem Falle könnte es nötig sein, die Bezeichnung "subvar." anzuwenden. Nie mals wird dieses getan, wenn sich nur die Größe der beiden at ändert. Ich konnte zeigen (Arch. f. Prot. Bd. 39, Seite 213), daß dieses bei den meisten Formen vorkommt, also die Größe dieser Platten überhaupt kein wesentliches Merkmal einer Form ist und daher nicht besonders bezeichnet zu werden braucht. Immer dagegen schreibe ich "subvar.", wenn die Plattenanzahl der Hypovalva eine andere wird; und zwar, wenn statt 5 pst + 2 at nun 6 ps t + 2 at vorhanden sind (Neubildung eines Interkalarstreifens, der von der rechten at zur Querfurche ausstrahlt), gebrauche ich stets die Bezeichnung: subvar. originale! (Siche Erklärung Seite 122.)

Andere Variationsformen dieser Art sind bisher nicht bekannt geworden. (Die Form: Chalubinskia tatrica Wolosz. habe ich bis jetzt nicht beobachten können; Sphaerodinium gehört in eine ganz andere Peridineengruppe.) In manchen Fällen könnte man sich für die Aufstellung einer neuen Gattung entscheiden, z. B. Gonyaulax; doch ist dort der Charakter der ganzen Form ein anderer.

2. Es ist die Epivalvatäfelung geändert,

und zwar in stärkerem Grade als bei der Bezeichnung subsp. Der ursprüngliche Typus der Plattenanordnung bleibt nicht erhalten, doch bleibt er noch erkennbar. (Meist einzeln auftretende Formen.)

Aus der Fülle der hierher gehörigen Formen greifen wir gewisse, dem Beobachter sofort durch ihre Häufigkeit sowie durch ihren sich mit mathematischer Genauigkeit vollziehenden Bildungsmodus auffallende Variationsformen heraus: sie kehren bei den meisten Peridineenarten stets in gleicher Weise wieder und sind bereits von mir als "collineatum"- und "travectum"-Formen bezeichnet worden.

(Wo der hier zu beschreibende Bildungsmodus nicht vorliegt, bleibt es dem Forscher überlassen, neue Namen zu bilden; andererseits nenne ich sämtliche hierhergehörige Formen var. collineatum und var. travectum. Eine Ausnahme scheint mir indessen berechtigt: wenn eine dieser Formen so häufig ist, daß sie fast als eigene Art beschrieben werden könnte, und sich eine besonders charakteristische Bezeichnung findet, so könnte man sie neu benennen. Es erscheint mir in diesem Falle (ihrer Häufigkeit und konstanten Ausbildungsweise wegen) praktisch, sie vor anderen collineatumoder travectum-Formen durch einen besonderen Namen hervorzuheben. Bisher haben wir hierfür nur ein Beispiel: P. elpatiewskyi var. pseudopenardi mihi.)

a) "collineatum"-Formen.

Eine Menge verschiedener Variationsformen entsteht dadurch, daß ein oder mehrere von den Interkalarstreifen, die zwischen den pr gelegen sind, nach der rechten oder linken Seite weiterwandern. Wandern dieselben nun so weit, daß sie schließlich mit irgendwelchen anderen Interkalarstreifen der Apikalplatten (z. B. den zwischen den vap und map oder den zwischen den map und dap gelegenen) eine gerade Linie bilden, so haben wir "collineatum"-Formen vor uns. Je nachdem nun nur ein Interkalarstreifen zwischen den pr mit einem anderen zwischen Apikalplatten eine gerade Linie bildet oder mehrere dieses gleichzeitig tun, können wir die Varietäten: collineatum, bicollineatum, tricollineatum etc. unterscheiden. Theoretisch sind hier zunächst selbstverständlich mehr Formen denkbar als bisher tatsächlich gefunden sind.

Nun wäre noch durch eine besondere Bezeichnungsweise klarzulegen, welcher Interkalarstreifen von den vielen vorhandenen nun gerade weitergewandert ist. Zu diesem Zwecke orientieren

wir zunächst die Epivalva richtig, d. h. so, daß wir von der dorsalen zur ventralen Seite hinsehen. Dann bezeichnen wir die einzelnen zwischen den pr gelegenen Interkalarstreifen von der Rautenplatte beginnend und von rechts nach links im Kreise herumgehend mit $\alpha, \beta, \gamma \dots$ (Siehe Fig. 179.) So erhalten wir z. B. "var. a-collineatum", wenn der a-Streifen weitergewandert ist usw. Sind 2 Streifen gleichzeitig gewandert, so können wir z. B. eine Form, , $\beta \gamma$ bicollineatum" erhalten.

Es kommen nun z. B. bei P. willei oder P. guestrowiense noch kompliziertere Verhältnisse vor, indem z. B. der β -Streifen mit verschiedenen Interkalarstreifen der Apikalplatten zusammentreffen kann. Alle diese Formen würden stets als "B-collineatum" zu bezeichnen sein, weil der "β-Interkalarstreifen" weitergewandert ist. Diese Formen wären also dann nicht mehr durch ihren Namen, wohl aber durch die folgende abgekürzte Schreibweise ("Formel")¹⁶) zu unterscheiden:

Ik
$$\frac{2 \text{ pr}}{3 \text{ pr}}$$
 coil. Ik $\frac{r \text{ v a p}}{r \text{ m a p}}$ (Textfig. 190) würde bedeuten:

der zwischen 2 pr und 3 pr gelegene Interkalarstreifen (β-Streifen) bildet mit dem zwischen der r vap und r map gelegenen eine gerade Linie. (Ik bedeutet: Interkalarstreifen.) Nur durch eine solche Formel wäre von dieser Form die folgende zu unterscheiden:

$$Ik \frac{2 pr}{3 pr} coll. Ik \frac{r m a p}{d a p}$$

Beide Formen wären also als "\beta-collineatum" zu bezeichnen.

Als Beispiel einer "bicollineatum-Form" sei hier die Epivalvatäfelung der Form P. westi var. areolatum (von Lemmermann) angeführt, ihre Täfelung entspricht der Formel:

Ik
$$\frac{4 \text{ pr}}{5 \text{ pr}}$$
 coll. $\frac{1 \text{ m a p}}{1 \text{ d a p}}$ gleichzeitig Ik $\frac{5 \text{ pr}}{6 \text{ pr}}$ coll. $\frac{1 \text{ v a p}}{1 \text{ m a p}}$;

diese Form (Kryptogamenflora d. Mark Brandenburg, S. 651, Abb. 25) wäre also als P. cinctum var. δε bicollineatum zu bezeichnen. (Siehe Seite 159.)

b) "travectum"-Formen.

Dieselben entstehen dann, wenn ein zwischen den pr gelegener Interkalarstreifen noch über einen Interkalarstreifen zwischen Apikalplatten hinauswandert. Die Bezeichnungsweise dieser Formen ist genau dieselbe wie bei den "collineatum-Formen", nur daß hier für "collineatum" die Bezeichnung "travectum" eintritt. Zu dieser Gruppe gehören die interessantesten Variationsformen.

Als Beispiel möchte ich hier die sehr häufige Form P. elpa-tiewskyi var. pseudopenardi (Archiv f. Prot. Bd. 39, Seite 233)

¹⁶⁾ Gegen die Schreibweise: Ik β coll. Ik $\frac{r \text{ vap}}{r \text{ map}}$ wäre nichts einzuden. wenden.

anführen, ihre Epivalvatäfelung ist von der Form P. elpatiewskyi durch folgende Formel abzuleiten:

Ik $\frac{2 \text{ pr}}{3 \text{ pr}}$ trav. Ik $\frac{\text{r v a p}}{\text{d a p}}$,

das bedeutet: der zwischen 2 pr und 3 pr gelegene Interkalarstreifen ist noch über den zwischen r vap und dap gelegenen hinaus-

gewandert.

Nun können auch hier 2 Interkalarstreifen zwischen pr gleichzeitig weiterwandern, hierdurch entstehen "bitravectum-Formen". Die interessanteste dieser Formen leitet sich von P. laeve ab durch folgende Formel:

Ik $\frac{3 \text{ pr}}{4 \text{ pr}}$ trav. Ik $\frac{\text{r}}{1 \text{ da p}}$ gleichzeitig Ik $\frac{5 \text{ pr}}{6 \text{ pr}}$ trav. Ik $\frac{1 \text{ v a p}}{1 \text{ da p}}$; (Archiv f. Protk. Bd. 39, Heft 3, Seite 256). Diese Form würde

also als P. laeve var. γε-bitravectum bezeichnet werden.

Zum Schluß muß ich hier noch auf einen ganz besonderen Fall hinweisen, welcher nur außerordentlich selten vorkommen dürfte (bisher ist kein Fall bekannt geworden): eine Form, die bereits eine Varietätsbezeichnung erhalten hat (z. B. P. cinctum var. irregulatum, laesum etc.) könnte außerdem noch eine collineatum- oder travectum-Form bilden. Daß solche Formen vorkommen, ist z. B. nach Textfig. 159 so gut wie sicher:

hier bildet der Ik $\frac{2 \text{ pr}}{3 \text{ pr}}$ fast eine gerade Linie mit dem Ik $\frac{\text{v a p}}{\text{r d a p}}$! In diesem Falle kann man die collineatum- oder travectum-Varietät, als die weniger wichtige, in Klammer hinter die andere Varietätsbezeichnung stellen: z. B. wenn in Textfig. 159 tatsächlich Ik $\frac{2 \text{ pr}}{3 \text{ pr}}$ coll. $\frac{\text{v a p}}{\text{r d a p}}$ wäre, so würde man schreiben: *P. cinctum* var. *dissimile* (β-collineatum). Wer hieran Anstoß nehmen sollte, müßte die zweite Varictätsbezeichnung ganz fortlassen und dafür in der Beschreibung der Form die Formel anführen. Zu umgehen ist bei den komplizierten Nomenklaturverhältnissen der Peridineen dicse Bezeichnungsart wohl nicht, bis jetzt könnte sie nur bei folgenden Varietäten vorkommen: P. polonicum var. trilineatum mihi, P. elpatiewskyi var. cruciferum mihi, P. e. var. biradiatum mihi, P. e. var. contortum mihi, P. cunningtoni var. pseudoquadridens mihi, P. guestrowiense var. cyclicum mihi, P. cinctum var. regulatum mihi, P. c. var. irregulatum mihi, P. c. var. laesum mihi, P. c. var. dissimile mihi, P. c. var. curvatum mihi, P. c. var. palustre mihi, P. eximium var. mutatum mihi.

Zur Veranschaulichung des soeben ausführlich Dargestellten ist es nun noch nötig, einige Beispiele anzuführen. Wir wollen hier sämtliche bisher bekannt gewordene Variationsformen der collineatum- und travectum-Gruppe nochmals zusammenstellen und die Ableitung ihrer Epivalvatäfelung durch Formeln feststellen.

Untersuchungen über Süßwasserperidineen und ihre Variationsformen 177

Dies erscheint um so wichtiger, als es mir nicht möglich war, bis zum Abschluß meiner Arbeit im Archiv f. Prot. Bd. 39 die hier gegebene Nomenklatur endgültig zu bestimmen. Daher sind nunmehr einige Variationsformen von P. elpatiewskyi (Ostenf.) Lemm. genauer mit griechischen Buchstaben zu bezeichnen und die Formeln für die Ableitung ihrer Epivalvatäfelung anzugeben. Dasselbe gilt von den hierher gehörigen Formen von P. laeve und P. l. subsp. marssoni. Leider hatte ich damals die Absicht, die griechischen Buchstaben in einem etwas anderen Sinne anzuwenden, als es heute geschieht. Es sind daher diese Buchstaben (Arch. f. Protk. Seite 258) zu ändern; das dort über die Anwendung derselben Gesagte ist nunmehr hinfällig.

Von nun an genügt zur Kennzeichnung einer collineatum- oder travectum-Form (Diagnose derselben) die für die Ableitung ihrer Epivalvatäfelung vom Ausgangstypus gültige Formel vollkommen.

P. elpatiewskyi (Ostenf.) Lemm. Textfig. 179.

Normale Täfelung; die Reihenfolge der pr durch Zahlen angegeben. Die Interkalarstreifen zwischen den pr durch griechische Buchstaben angegeben. (r bedeutet Rautenplatte.)

P. elpatiewskyi var. β -collineatum mihi Textfig. 180.

Ableitung:

Ik
$$\frac{2 \text{ pr}}{3 \text{ pr}}$$
 coll. Ik $\frac{\text{r v a p}}{\text{d a p}}$;

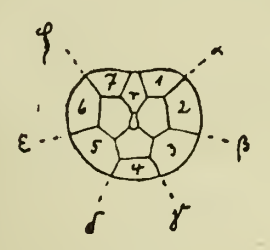


Fig. 179.

Peridinium elpatiewskyi (Ostenf.)

Lemm.

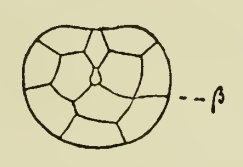


Fig. 180.

Peridinium elpatiewskyi var. β-collineatum mihi.



Fig. 181.

Peridinium

elpatiewskyi

var. βδ-bicollineatum mihi.

P. elpatiewskyi var. $\beta\delta$ -bicollineatum mihi Textfig. 181.

Ableitung:

Ik
$$\frac{2 \text{ pr}}{3 \text{ pr}}$$
 coll. Ik $\frac{\text{r v a p}}{\text{d a p}}$ gleichzeitig Ik $\frac{4 \text{ pr}}{5 \text{ pr}}$ coll. Ik $\frac{\text{l v a p}}{\text{d a p}}$;

Archiv für Naturgeschichte

12 8. Heft

P. elpatiewskyi var. pseudopenardi mihi Textfig. 182.

(Diese Form müßte eigentlich β -travectum heißen; ich habe sie aber ihres besonders häufigen Auftretens wegen (sie kommt in einigen Seen fast ausschließlich vor) durch einen besonderen Namen gekennzeichnet).

Ableitung:

Ik
$$\frac{2 pr}{3 pr}$$
 trav. Ik $\frac{r v a p}{d a p}$;



Fig. 182.

Peridinium elpatiewskyi var. pseudopenardi mihi.



Fig. 183.

Peridinium elpatiewskyi var. βδ-bitravectum n. var.



Fig. 184.

Peridinium

africanum var.

8-travectum

mihi.

P. elpatiewskyi var. β **\delta-bitravectum** n. var. Textfig. 183.

Aus dem Zentrifugenplankton des Berzyner Sees (Posen). 2. 8. 1917.) Ableitung:

Ik $\frac{2 \text{ pr}}{3 \text{ pr}}$ trav. Ik $\frac{\text{r v a p}}{\text{d a p}}$ gleichzeitig Ik $\frac{4 \text{ pr}}{5 \text{ pr}}$ trav. Ik $\frac{\text{l v a p}}{\text{d a p}}$;

P. africanum var. ô-travectum mihi Textfig. 184.

Ableitung:

Ik
$$\frac{4 \text{ pr}}{5 \text{ pr}}$$
 trav. Ik $\frac{\text{r d a p}}{\text{l d a p}}$;

P. laeve var. γε-bitravectum mihi Textfig. 185.

Ableitung:

Ik
$$\frac{3 \text{ pr}}{4 \text{ pr}}$$
 trav. Ik $\frac{\text{r d a p}}{\text{l d a p}}$ gleichzeitig Ik $\frac{5 \text{ pr}}{6 \text{ pr}}$ trav. Ik $\frac{\text{l v a p}}{\text{l d a p}}$;

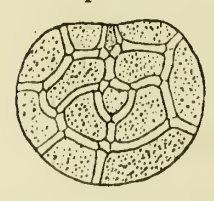


Fig. 185.
Peridinium laeve var
y£-bitravectum mihi.

P. laeve subsp. marssoni var. δ-collineatum mihiTextfig. 186.

Ableitung: Ik $\frac{4 \text{ pr}}{5 \text{ pr}}$ coll. Ik $\frac{\text{r d a p}}{1 \text{ d a p}}$;

P. laeve subsp. marssoni var. γ-collineatum n. var.

Textfig. 187. Aus dem Teiche des Botanischen Gartens zu Breslau. (11. 4. 1918.) Ableitung:

Ik $\frac{3 \text{ pr}}{4 \text{ pr}}$ coll. Ik $\frac{\text{r}}{1 \text{ d}} \frac{\text{d}}{\text{a}} \frac{\text{p}}{\text{p}}$;



Fig. 186.
Peridinium laeve subsp. marssoni var. δ-collineatum mihi.



Fig. 187.

Peridinium laeve subsp. marssoni var. y-collineatum n. var.

P. laeve subsp. marssoni var. g-travectum mihi Textfig. 188.

Ableitung:

Ik
$$\frac{3 \text{ pr}}{4 \text{ pr}}$$
 trav. Ik $\frac{\text{r d a p}}{\text{l d a p}}$;



Fig. 188. Peridinium laeve subsp. marssoni var. y-travectum mihi.

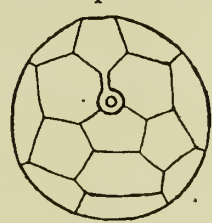


Fig. 189. Peridinium wierzejski var. y-travectum nov.

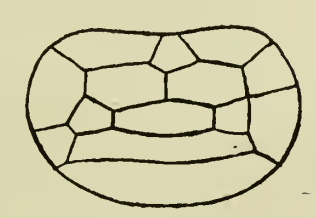


Fig. 190. Peridinium guestrowiense var. β-collineatum n. var.

P. wierzejski var. γ-travectum nov. nom. Textfig. 189.

Woloszyńska gibt von P. wierzejski zwei Typen der Epivalvatäfelung an, von denen nach meinen Befunden die jenige der Fig. 10 als travectum-Form aufzufassen ist (Fig. 10 nach Woloszyńska.) Ableitung: Ik $\frac{3 \text{ pr}}{4 \text{ pr}}$ trav. Ik $\frac{\text{r s a p}}{\text{d a p}}$;

> **P.** guestrowiense var. β -collineatum n. var. Textfig. 190.

Krakower See (Mecklenburg) (8. 1917). Ableitung:

Ik
$$\frac{2 \text{ pr}}{3 \text{ pr}}$$
 coll. Ik $\frac{\text{r va p}}{\text{r map}}$;

P. cinctum var. β -collineatum n. var. Textfig. 191.

Krakower See (Meckl.) (10. 1917). Ableitung:

Ik $\frac{2 \text{ pr}}{3 \text{ pr}}$ coll. Ik $\frac{r \text{ vap}}{r \text{ dap}}$;

P. cinctum var. ε-collineatum n. var. Textfig. 192.

Baalen-See bei Fürstenberg (Meckl.) (8. 1919) und Kellersee (Holstein). (27. 8. 1917.) Ableitung:

Ik $\frac{5 \text{ pr}}{6 \text{pr}}$ coll. Ik $\frac{1 \text{ map}}{1 \text{ dap}}$;

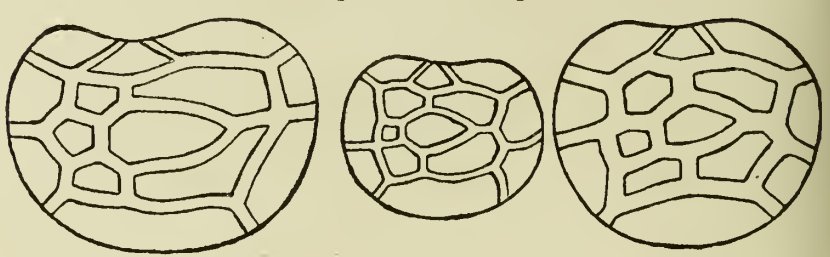


Fig. 191. Peridinium cinctum var. β -collineatum n. var.

Fig. 192. var. ε-collineatum n. var.

Fig. 193. Peridinium cinctum Peridinium cinctum var. ε-collineatum n. var.

P. cinctum var. ε-collineatum n. var. Textfig. 193.

Wollsteiner See (Posen) (11. 7. 1916). Nur durch folgende Formel von der vorhergehenden Form zu unterscheiden:

Ik
$$\frac{5 \text{ pr}}{6 \text{ pr}}$$
 coll. Ik $\frac{1 \text{ vap}}{1 \text{ map}}$;

P. cinctum var. δ-travectum n. var. Textfig. 194.

Kainowe-Teich bei Trachenberg (Schles.) (29. 9. 1912).

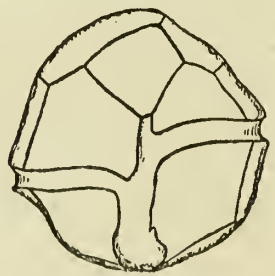


Fig. 194. Peridinium cinctum var. δ-travectum n. var. Ventral.

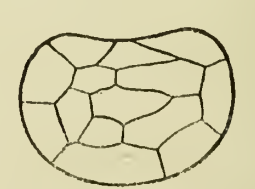


Fig. 195. Peridinium cinctum var. 8-travectum n. var. Epivalvatäfelung.

Untersuchungen über Süßwasserperidineen und ihre Variationsformen 181

Textfig. 195.

Epivalvatäfelung. Ableitung: Dieselbe Form.

Ik $\frac{4 \text{ pr}}{5 \text{ pr}}$ trav. Ik $\frac{1 \text{ map}}{1 \text{ dap}}$;

P. cinctum var. ε-travectum n. var. Textfig. 196.

Aus dem Kellersee (Holstein) (7. 8. 1918). Ableitung:

Ik $\frac{5 \text{ pr}}{6 \text{ pr}}$ trav. Ik $\frac{1 \text{ dap}}{1 \text{ map}}$;

Diplopsalis acuta Entz var. 5-collineatum mihi. Textfig. 197.

Ableitung: Ik $\frac{6 \text{ pr}}{7 \text{ pr}}$ coll. Ik $\frac{1 \text{ vap}}{1 \text{ dap}}$;

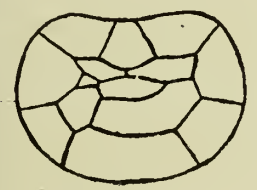


Fig. 196. Peridinium cinctum var. E-travectum n. var.



Fig. 197. Diplopsalis acuta Entz var. L'collineatum mihi.



Fig. 198. Diplopsalis acuta var. \(\zeta\cdot\cdot\tau\cdo

Diplopsalis acuta var. ζ-travectum mihi. Textfig. 198.

Ableitung:

Ik $\frac{6 \text{ pr}}{7 \text{ pr}}$ trav. Ik $\frac{1 \text{ vap}}{1 \text{ dap}}$;

Die Formen der Fig. 197 und 198 sind sehr häufig. Beide Funde sind aus dem Schlawa-See (Schles.). Ich stellte diese Formen Herrn Dr. Schröder-Breslau zur Publikation zur Verfügung. (Ber. d. deutsch-bot. Ges.) (Siehe dort.)

Ich lasse noch 2 abweichende Formen folgen, welche nicht zu

den collineatum- und travectum-Formen gehören:

P. aciculiferum Lemm. (abweichendes Exemplar). Textfig. 199.

Aus dem Lietzensee (Charlottenburg) (1. 1919).

Gehört nur scheinbar zu den collineatum-Formen. Da eine ganze Apikaltafel ausgefallen ist, so haben wir hier eine stärkere Abweichung vor uns, die mit einem beliebigen Varietätsnamen zu bezeichnen wäre. Ich habe diese Form nur einmal gesehen und sehe vorläufig von ihrer Benennung ab, da P. aciculiferum sonst stets mit konstanter Epivalvatäfelung auftritt.

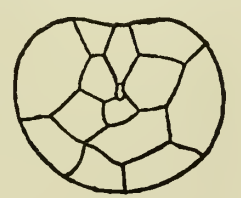


Fig. 199. Peridinium aciculiterum Lemm. (abweichendes Exemplar.)

Heterocapsa triquetra var. litorale n. var. Textfig. 200.

Aus dem Hafen von Rostock (10. 1917).

Hier liegt nur scheinbar eine travectum-Form vor. Das - rinzip des Vorbeiwanderns eines Interkalarstreifens vor einem anderen ist zwar auch hier in die Erscheinung getreten, doch ist

hier nicht ein Ik zwischen den pr verschoben, sondern ein solcher zwischen Apikalplatten. (Bei der Ausgangsform liegt der

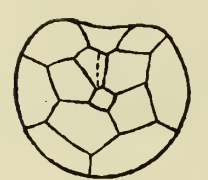


Fig. 200. Heterocapsa triquetra var. litorale n. var.

Ik 1 vap m vap

dort, wo die gestrichelte Linie (Textfig. 200) sich befindet.) Solche Form kann man als "var.", oder, wenn sie sich neben anderen Varietäten (bis jetzt keine bekannt) konstant findet, gar als "subsp." bezeichnen. (Vg. P. laeve subsp. marssoni mihi.) Diagnose der Form folgt an anderer Stelle.

An dieser Stelle sei nochmals auf die interessante Form P. westi var. areolatum Lemm. hingewiesen (Kryptogamenflora, S. 651, Fig. 25). (Siehe auch diese Arbeit: Seite 159.) Dieselbe ist wahrscheinlich nichts anderes als eine Form, die wir nunmehr als P. cinctum var. δε-bicollineatum bezeichnen würden. Solche Form kommt sicherlich vor, denn sie stellt ja nur einen "Zwischenfall" zwischen unseren Textfiguren 193 und 195 dar.

Verfasser ist der Ansicht, daß man bei eingehenderer Untersuchung diese Beispiele von collineatum- und travectum-Formen außerordentlich vermehren könnte.

Anhang.

Anhangsweise lasse ich hier noch einige Erfahrungen folgen, die ich im allgemeinen über das Auftreten der Peridineen in den verschiedensten Gewässern gemacht habe, wobei ich im voraus bemerken muß, daß zukünftige Befunde das hier Mitgeteilte in einzelnen Fällen wohl noch etwas modifizieren werden.

a) Jahreszeitliche Frequenz.

Abschätzungsweise scheint es, als ob die Peridineen unserer Seen (in ähnlicher Weise wie die Bacillariaceen, doch in weit geringerem Grade) zwei Maxima ihres Auftretens haben: das eine liegt im Hochsommer (Juli-August) vor der Bacillariaceenperiode, das andere fällt meist mit der Eisbildung zusammen (Jan.-März). Gewisse Peridineen verschwinden mit dem Eise bald wieder (P. aciculiferum Lemm., Gymnodinium tenuissimum Lauterb.), andere dagegen gelangen erst im Frühjahr (Mai) zu voller Entwicklung: P. laeve subsp. marssoni (Lemm.) mihi, sowie P. willei Huitf.-Kaas mit Verwandten. Bei diesen könnte man statt eines "Wintermaximums" von einem "Frühjahrsmaximum" sprechen.

Man wird jedoch stets im Auftreten der Peridineen eine

b) Abhängigkeit von der Größe des Gewässers feststellen können. Seen: Ganz große, tiefe Seen pflegen arm an Peridineen zu sein. (Typische Vertreter: im Sommer P. cinctum,

im Winter P. willei.)

Besonders findet das über die jahreszeitliche Frequenz Gesagte auf unsere mittleren Landseen Anwendung (z. B. auf die größeren der südwestposener Seengruppe). In ganz kleinen Seen pflegen die Peridineen weit reichhaltiger aufzutreten (Witoslawer See), dafür ist ihre Entwicklung aber mehr von Zufälligkeiten des Milieus abhängig.

Im Winter wird man in vielen Seen (sofern sie nicht sehr klein sind) unter dem Eise besonders P. willei und P. laeve subsp. marssoni finden, diese aber pflegen das Maximum ihres Auftretens gerade im Mai zu haben — daher fällt in den Seen oft das "Wintermaximum" ganz fort. Häufig trifft man auch P. bipes sowie

P. aciculiferum unter dem Eise an.

Zur Erläuterung des Gesagten führe ich die Ergebnisse der Untersuchung von 8 holsteinischen Seen an: die in denselben im Februar 1919 unter dem Eise gefischten Proben verdanke ich sämtlich der Liebenswürdigkeit des Herrn Professor Dr. A. Thienemann-Plön.

Keine der nachstehenden Formen war auffallend stark entwickelt.

P. willei Huitf.-Kaas

Großer Plöner See, Edebergsee, Schöhsee, Plussee, Großer Madebröckensee, Höftsee, Trammersee.

P. laeve subsp. marssoni (Lemm.) mihi.

Edebergsee (1 Ex.), Plussee (1 Ex.).

P. bipes Stein.

Edebergsee, Schöhsee (1 Ex.), Großer Madebröckensee, Trammersee (einzeln).

P. aciculiferum Lemm.

Edebergsee, Höftsee (einzeln); Kleiner Plöner See (1 Ex.). Von diesen Seen ist der kleinste (Großer Madebröckensee) 8,48 ha; es handelt sich also hier um Seen, denen man (in landläufigem Sinne) noch keinen Teichcharakter zusprechen kann. In sehr kleinen Seen habe ich unter dem Eise schon intensive "Wasserblüten" von Peridineen gefunden: so war im Kleinen Ukleisee bei Stadtheide (6. 2. 1919) (2,80 ha) P. willei außerordentlich entwickelt und im Witoslawer See war (Winter 1917/18) unter dem Eise das Wasser geradezu angefüllt mit P. aciculiferum und P. laeve subsp. marssoni!

Für Teiche lassen sich allgemeine Regeln bezüglich des Vorkommens von Peridineen schwer angeben. Mir ist unter dem Eise ganz besonders neben P. aciculiferum und P. laeve subsp. marssoni die von Lauterborn entdeckte, gegen Wärme sehr empfindliche Form Gymnodinium tenuissimum aufgefallen (Sepoldteiche bei Lissa, Lietzensee in Charlottenburg). Wenn das Eis geschmolzen war, so fanden sich in Tümpeln (Südposen) überall Formen, die etwa zwischen P. lomnicki Wolosz. und P. wierzejski Wolosz. standen. (Täfelung bei beiden gleich.) In kleinsten Pfützen ist um diese Zeit Gymnodinium carinatum var. hiemale Wolosz. sehr zahlreich.

Welche Peridineenarten sich im übrigen (besonders im Sommer) mehr in den Seen und welche mehr in Teichen oder Tümpeln aufhalten, kann nur bei der Besprechung der einzelnen Formen an-

gegeben werden.

Aus dem Gesagten geht hervor, daß man überhaupt nur für wirkliche Seen, die nicht bereits Teichcharakter haben, von den erwähnten Maxima der Peridineenentwicklung sprechen kann, denn: je kleiner ein Gewässer, desto mehr ist die Planktonentwicklung von Zufälligkeiten des Milieus abhängig.

c) Beschaffenheit des Wassers.

Die Peridineen lieben im allgemeinen reines, stehendes Wasser; doch scheint ihr Auftreten vom Gasgehalt und von dem Gehalt an organischen Stoffen besonders abhängig zu sein (pflanzenreiche Gewässer). Auffällig ist es, daß in ganz reinen Quell- oder Bachwässern keine Peridineen vorzukommen pflegen, aber auch in Flüssen habe ich sie stets nur vereinzelt gefunden (natürlich die stillen Buchten und Altwässer ausgenommen). Beispielsweise sah ich in der Donau (Braila 20. 12. 1917) (2 Proben), im Nil bei Giseh (7 Proben aus verschiedenen Jahreszeiten), im Ruwufluß in Ost-Afrika (1 Probe) und in Bächen Rußlands und der Türkei keine einzige Peridinee; in einer Menge Proben aus der Elbe bei Blankenese und aus dem Rhein bei Köln fanden sich nur wenige Exemplare von P. cinctum und (im Rhein) guestrowiense. Vielleicht ist der in den Flüssen meist suspendierte feine Schlamm und Sand den Peridineen nicht zuträglich.

Über Peridineen aus organischen Abwässern ist bisher wenig bekannt geworden. Ich habe in gedüngten Fischteichen besonders häufig Sphaerodinium Wołosz. gefunden, seltener Glenodinium oculatum Stein, Gymnodinium aeruginosum Stein und Gymnodinium leopoliense Wołosz. Ceratium fehlte in den Trachenberger Fischteichen fast vollkommen (!), dagegen waren P. tabulatum, cinctum

und munusculum oft gut entwickelt.

d) Die Biocoenose.

Wie ist die übrige Planktongesellschaft eines Gewässers zusammengesetzt, wenn Peridineen darin häufig vorkommen? Diese Frage ist niemals restlos zu beantworten; ja, sie ist eigentlich unstatthaft, denn das Auftreten einer Planktonspezies ist im allgemeinen nicht von dem Auftreten einer anderen abhängig (wenn wir von dem bekannten Verhältnis der Produzenten und Kon-

sumenten im Teichplankton¹⁷) absehen). Nichtsdestoweniger habe ich eine Menge von Proben (durch Feststellung der häufigsten Planktonspezies und Abschätzung ihrer Häufigkeit) hieraufhin

Untersuchungen über Süßwasserperidineen und ihre Variationsformen 185

untersucht und sie in Tabellen verglichen. (Es handelt sich hier nur um das Plankton von Seen.) Hierbei fand ich einige interessante Vorkommnisse, die mir der Veröffentlichung wert erscheinen.

1. Findet sich eine bis ins Höchstmaß gesteigerte Wasserblüte von Cyanophyceen (z. B. Microcystis), so fehlen stets die Peridineen. (Bei mäßigen Cyanophyceenblüten können viele Peridineen vor-

handen sein.)

2. Fand sich dagegen eine "Wasserblüte" von Bacillariaceen (Tabellaria, Asterionella, Fragilaria, Synedra delicatissima oder angustissima, [Attheya]) oder von Dinobryon, so waren oft trotzdem sehr viele Peridineen vorhanden. (Bei einer Blüte von Melosira

habe ich selten viele Peridineen beobachtet.)

Beispiele: Das Plankton des Witoslawer Sees (Juli 1917) bestand vorherrschend aus Peridineen, sowie aus Synedra delicatissima (Attheya) und Dinobryon. Alles andere trat ganz zurück. Im Großen Plöner See (Juli 1895) waren 7 Peridineen entwickelt, daneben Asterionella sehr intensiv und Dinobryon weniger. Primenter See (Juli 1917): viele Peridineen, daneben Synedra häufig, Microcystis und Dinobryon nur mäßig entwickelt. Im Müggelsee waren schon im Mai 1911 die Peridineen sehr zahlreich (7 Arten), daneben Synedra, Asterionella und Dinobryon. Kleiner Plöner See: stärkste "Blüte" von Fragilaria und Melosira (Asterionella, Tabellaria weniger; Mallomonas häufig), trotzdem Ceratium, Gonyaulax, P. cinctum sehr häufig, P. polonicum seltener. Großer Plöner See (8. 1918): sehr viele Peridineen, Tabellaria in "Blüte". Madü-See (9. 1918): eigentümlicherweise scheinbar mitten im Bacillariaceenmaximum (Fragilaria aufs stärkste entwickelt, Tabellaria und Asterionella weniger) nicht gerade zahlreiche Peridineen, aber doch eine Reihe verschiedener Arten. Endlich ein Beispiel einer "Blüte" von Dinobryon: Uklei-See (5. 1918), daneben P. cinctum und willei zahlreich.

Hierbei bemerke ich, daß, abgesehen von den beiden letzten Beispielen, alle diese angeführten Fänge unter mehreren Hundert Seenfängen die besten Peridineenfänge waren! Ich könnte diese Beispiele noch vermehren; besonders möchte ich hier auf die Havelseen bei Fürstenberg (Meckl.) hinweisen, die mir so wertvolles Material zu dem systematischen Teil vorliegender Arbeit lieferten: auch hier herrschten die genannten Bacillariaceen (Asterionella, Fragilaria) und Dinobryon vor.

Selbstverständlich müssen wir aber zugeben, daß es sich bei diesen Beispielen meistens um "Wasserblüten" handelt, welche

¹⁷⁾ Brehm, V.: Einige Beobachtungen üb. d. Zentrifugenplankton. Int. Rev. d. ges. Hydrob. u. Hydrogr., Bd. III, 1910—11. Schaedel, A.: Produzenten und Konsumenten im Teichplankton usw. Arch. f. Hydrob. u. Planktonk., Bd. XI, 1916.

bei weitem nicht ins Höchstmaß gesteigert waren. Bei manchen dieser Beispiele würde man daher besser von einem Vorherrschen der Bacillariaceen und *Dinobryon* sprechen. So findet man besonders bei stärksten "Blüten" von *Melosira* oft keine Peridineen. Immerhin betrachte ich die bei guten Peridineenproben stets wiederkehrende, auffällige Zusammensetzung der Planktonbiocoenose vorläufig als ein bemerkenswertes Resultat meiner Vergleiche.

3. Endlich habe ich noch verschiedene "Wasserblüten" von Ceratium beobachtet. In diesen Fällen fanden sich nicht viel andere Peridineen. (Gonyaulax limnetica, P. polonicum, cinctum,

guestrowiense u. a.: meist nur einzeln.)

e) Einzelne Peridineen und ihre Fundorte.

Zum Schluß will ich hier noch einige (besonders seltenere) Peridineen und ihre Fundorte anführen, soweit sie nicht schon in dieser Arbeit und im Arch. f. Prot. Bd. 39, Heft 3 enthalten sind. Besonders drängt es mich auch, nach Abschluß meiner posener Tätigkeit, nochmals alle wichtigen Fundorte dieser Provinz zusammenzustellen.

Ceratium hirundinella O. Fr. Müll.

Bachmann¹⁸) versuchte zuerst, die unendliche Formenfülle von *Ceratium* auf 7 Grundtypen zurückzuführen. Nun gelang es Schröder (Ber. d. deutsch-bot. Ges. Bd. XXXV, Heft 9, 1918, Seite 687), im Schlawasee Formen nachzuweisen, welche die Aufstellung zweier interessanter, neuer (dreihörniger) Typen nötig machten: es sind der *Furcoides*- und der *Silesiacum*-Typus. Außerdem scheidet er *Ceratium brachyceros* Daday als selbständige Art aus und nennt Bachmanns *Brachyceros*-Typus nun den *Brachyceroides*-Typus. Hierdurch fühlte ich mich veranlaßt, auf das Vorkommen dieser dreihörnigen Formen auch in anderendeutschen Gebieten zu achten, und ich konnte feststellen, daß diese Formen sehr häufig vorkommen. Besonders schön ausgeprägt und zahlreich fand ich sie in den holsteinischen Seen, z. B. im Behlersee, Dieksee, Edebergsee, Trammersee; in geringerer Zahl sah ich dieselben im Krakower See (Meckl.), in einer Anzahl westpreußischer Seen (z. B. Schloßsee bei Briesen; besonders plumpe Formen), sowie in den südposener Seen (z. B. Witoslawer See).

Ceratium cornutum Clap. et Lachm.

Lauenburg: Garrensee. Westpr.: Gr. Krzywce-See. Posen Wiesenmoor b. d. Papiermühle am Hegesee (18. 5. 1918). Bayern: Kochelsee (Schröder).

· Kolkwitziella salebrosa mihi (mit var. gibbera n. var.)

Holstein: Uklei-See (4. 1918) (leer). Meckl.: Krakower See (8. 1917) lebend. Brandenburg: Spree bei Köpenick (2. 1918) (leer). Posen: Wollsteiner See (11. 7. 1916) (leer).

¹⁸) Phytoplankton des Süßwassers. Jena 1911.

Gonyaulax limnetica mihi

Holstein: Großer Plöner See (10. 1918); Kl. Plöner See (6. 1917); Schöhsee (11. 8. 1917) (12. 7. 1918); Dieksee (7. 1918); Uklei-See (8. 1917 und 1918); Stocksee (5. 1918); Suhrer See (9. 1916); Behlersee (8. 1917). Lauenburg: Schaalsee (8. 1916). Meckl.: Tollensesee (9. 1918), mit Kammbildung; Krakower See (8. 1917); Baalensee bei Fürstenberg (8. 1917). Neumark: Pulssee (9. 1918). Pommern: Madü-See (9. 1918). Westpr.: Kafkensee (13. 8. 1909). Ostpr.: Kosnosee (30. 10. 1902); Mauersee bei Angerburg (7. 5. 1918). Schles.: Schlawasee (Sommer 1918). Bodensee: Gondelhafen von Lindau.

Auffallend ist, daß diese Form in 16 posener Seen niemals gefunden wurde. Sie ist überhaupt aus Posen noch nicht bekannt. In Westpreußen in 17 Seen (von denen allerdings nur einzelne Proben vorlagen) nicht gefunden. Gonyaulax liebt anscheinend tiefere Seen.

Diplopsalis acuta Entz

In (flacheren) Seen überall, doch meist nicht häufig. Holstein: in 10 Seen, darunter der Große Plöner See (9. 1917), Behler See (8. 1917); Edebergsee (7. 1918). Meckl.: Schweriner See (9. 1918). Pommern: Madü-See (9. 1918). Westpr.: Dlugi-See bei Schwornigahr (5.7.1900); Schloßsee bei Briesen (9.1918); sonst in vielen Seen vergeblich gesucht. Posen: u. a. im Primenter See, Berzyner See, Storchnester See, Retschker See, Witoslawer See, Gurschnoer See.

Diplopsalis acuta var ζ-travectum mihi

Posen: Witoslawer See (7.1918]; Holstein: Großer Plöner See (8.1917); Schlesien; Schlawasee (2.7.1918).

POROPERIDINIUM.

Peridinium tabulatum Clap. et Lachm.

In Seen selten. Ein einzelnes Exemplar im Wigrysee bei Suwalki (Polen) (24. 8. 1916) und ein Glenodiniumzustand im Witoslawer See (7. 1918) (Posen). Sonst häufig in Teichen.

Peridinium bipes Stein

In Seen anscheinend als Winterform häufig: so unter dem Eise gefischt im: Edeberg-See (4. 2. 1919); Schöhsee (17. 2. 1919); Großer Madebrökensee (17. 2. 1919) mit der var. occultatum (!); Trammer See (14. 2. 1919) (alle in Holstein). Nordhäuser Talsperre (Westf.).

Sonst im Sommer in kleinen Tümpeln (Moor bei Heingarten (Baden) (11. 1908); in Seen nur selten, so z. B. im Wesseker See (8. 1918) Holstein; Garrensee (8. 1917) Lauenbg.; im Pulssee (9. 1918) (Neumark) Exemplare bis zu 70 μ Größe.

Die in Textfig. 35 abgebildete var. occultatum entstammt einem Ziegelei (lehm) teich Trebchen bei Lissa (unter normalen Formen) (4. 6. 1918).

Peridinium elpatiewskyi (Ostenf.) Lemm.

Auffallend ist das Vorkommen dieser Form. In Posen war dieselbe in großen Mengen zu finden und bildete eine Reihe Variationsformen (siehe Arch. f. Protk. Bd. 39); ebenso fand ich sie in Berliner Seen und in einem Mecklenburger See häufig (siehe ebendort). Dagegen habe ich sie in Holstein und Westpreußen nur in

einigen Exemplaren (leere Panzer) gesehen.
Posen: Außer in den bereits erwähnten Seen noch im Retschker See (9. 7. 1918) häufiger und im Berzyner See (Sommer 1917) nicht häufig gefunden. Holstein: Obgleich 18 Seen untersucht wurden, so fand sich doch nur 1 leeres Exemplar im Großen Plöner See (23. 8. 1918). Westpreußen: Sehr selten im Krenuskesee bei Förstenau (10. 10. 1900); ebenso im Nichor-See (3. 9. 1908). hier fand sich auch die var. pseudopenardi mihi einzeln. Hessen: Altrhein (Neuhafen) 25. 7. 1908.

Peridinium cunningtoni var. pseudoquadridens mihi

Von dieser Form, die meist in Begleitung von P. elpatiewskyi vorzukommen pflegt, gilt dasselbe bezüglich des Vorkommens, was

bereits bei letzterer Form gesagt wurde.

Posen: siehe Arch. f. Protk. Bd. 39. Holstein: nur 1 Exemplar im Großen Plöner See (7. 1895). (18 Seen untersucht.) Lauenburg: Schaalsee (22. 8. 1916) 2 leere Hüllen. Westpreußen: Biallasee (16. 6. 1914) (1 Ex.); Nichor-See (3. 9. 1908) selten. Hessen: Oppenheimer Hafen (Rhein) (16. 7. 1908) selten.

Peridinium umbonatum Stein

Vorwiegend in kleineren Gewässern. Ich fand diese Form im gedüngten "Ochsenteich" (Fischteich) bei Creba (Schlesien) (8. 1918). Die "var." papilliferum (nach der hier vertretenen Nomenklatur müßte es besser forma papilliferum heißen) sah ich in einem Teiche auf der Pfarrerwiese in Borek (Posen) (33 u lang) (7. 1918).

Peridinium lubieniense Wołosz.

Siehe Seite 138. Moor bei Heingarten (Baden) (11. 1908) selten. - Teich des Botanischen Gartens in Breslau (5. 1918). Ein Exemplar, leer.

Peridinium goslaviense Wołosz.

Siehe Seite 141.

Peridinium inconspicuum Lemm.

Siehe Seite 142. Westpr.: Großer Lodrin-See (7. 1908) (ohne Stacheln). — Im Waldteiche bei Kankel (bei Lissa i. P.) fanden sich auch vereinzelt Formen mit längeren Stacheln, die man hätte als forma marchicum bezeichnen können.

Peridinium munusculum mihi

Sehr häufige Form (siehe Archiv f. Protk. Bd. 39). Holstein: Großer Plöner See (17. 8. 1916) (23. 8. 1918); Behler See (8. 1917) (24 μ lang); Suhrer See (9. 1916). Lauenburg: Schaalsee (8. 1916) (26 μ lang). Westpr.: Gelonka-See (26. 8. 1909) (24 μ lang); Kafkensee (13. 8. 1909) auch mit der subsp. contactum, alle Exemplare ziemlich lang bestachelt. Ostpr.: Kleiner Regler See, selten (29. 4. 1908). Schlesien: Schlawasee (2. 7. 1918) selten (20—27 μ lang); Kobelwiese (Sudeten). Baden: Moor bei Heingarten (11. 1908). Bodensee: Gondelhafen von Lindau (kaum 20 μ lang) selten.

Die forma spiniferum n. f. fand sich im Primenter See (5. 1916 und 5. 1918) und im Retschker See (7. 1918) (bis 28 µ lang) (Posen).

— P. m. subsp. contactum forma spiniferum n. subsp. n. f. wurde in

Posen nur im Primenter See beobachtet (5. 1918).

Peridinium aciculiferum Lemm.

Holstein: Edebergsee (4. 2. 1919); Höftsee (15. 2. 1919); Kleiner Plöner See (14. 2. 1919) 1 Ex. Pommern: Madü-See (17. 4. 1918) 1 Ex. Posen: Unter dem Eise in Südposen fast in jedem kleineren Gewässer (Witoslawer See: diese Form in Höchstentwicklung (!); Storchnester See, Sepoldteiche, überall sehr häufig). Baden: Moor bei Heingarten (1 Ex.) (11. 1908)

Peridinium polonicum Wolosz.

Eine der häufigsten Peridineen. Findet sich in Seen, aber auch

gelegentlich in kleinen Teichen.

Holstein: Großer Plöner See (9. 1917; 10. 1918); Kleiner Plöner See; Edebergsee (7. 1918); Behler See (9. 1917); Uklei-See (8. 1916; 8. 1918); Kellersee (8. 1917). Lauenburg: Schaalssee (8. 1916) 1 Ex. Meckl.: Schweriner See, Tollensesee (9. 1918). Uckermark: Unterer Uckersee (9. 1918). Pommern: Madü-See (9. 1918). Westpr.: Nichor-See (3. 9. 1908); Glowkasee bei Poln. Cekcin (10. 7. 1900): Bielle See (16. 6. 1914): Dlugi See bei Schwernig Cekcin (10. 7. 1900); Bialla-See (16. 6. 1914); Dlugi-See bei Schwornigahr (5. 7. 1900); Kafken-See (13. 8. 1909); Schloßsee bei Briesen (9. 1918); Haidsee (Heubudensee) b. Danzig (25. 8. 1907). Ostpr.: Mauersee bei Angerburg. Brandenburg: Müggelsee, Schlachtensee. Posen: Primenter See, Bentschener See, Gorkasee, Goplosee (50 μ lang), Witoslawer See, Wojnowitzer See, Retschker See, Tremessener See. Besonders hebe ich hervor, daß ich diese Form im Dorfe Wolfskirch bei Lissa in einem Lehmtümpel mit einem deutlichen, wenn auch oft blassen, roten Augenfleck gesehen habe. — Im Schlawasee wurde am 2. 7. 1918 zum ersten Male auch bei dieser Form eine "Teilung der Zelle samt ihrer Hülle (Panzer) im beweglichen Zustande" beobachtet.

Peridinium penardi Lemm.

Siehe Arch. f. Protk. Bd. 39, Seite 247. — Posen: Bentschener See; Witoslawer See. Hessen: Oppenheimer Hafen (Rhein) (16. 7. 1908). Westfalen: Schloßgraben zu Münster (11. 9. 1912). Afrika: Viktoria Nyanza, Probe 3 nach Woloszyńska. Ich bezweifle, daß diese Form mit P. penardi, wie es bei uns vorkommt, identisch ist.

Peridinium penardiforme mihi

Siehe Seite 127. - Außer den dort angegebenen Fundorten noch: Schaalsee (8. 1916) 1 Ex. und im Großen Plöner See (23. 8. 1918) nicht mit Sicherheit festgestellt.

Peridinium berolinense Lemm.

Holstein: Kleiner Plöner See (30. 7. 1917) mit dickem Panzer; (vorher hatte ich schon im Tremessener See (Posen) (7. 1918) einmal ein Exemplar mit festem Panzer vermutet, aber nicht mit Sicherheit erwiesen). Posen: Sepoldteich bei Lissa (5. 1918); Teich bei Stawiszyn (Borek, Bachgebiet der Pogona) (19. 7. 1918). Schlesien: Sehr zahlreich im Teiche des Botanischen Gartens zu Breslau (5. 7. 9. 1918). Westfalen: Schloßgraben zu Münster (11. 9. 1912).

Peridinium lomnicki-wierzejski (?) Wołosz.

In Südposen nach der Schneeschmelze überall in Tümpeln und kleinen Teichen häufig Formen, die ich nur als Zwischenformen von P. lomnicki Wolosz. und P. wierzejski Wolosz. ansprechen kann.

CLEISTOPERIDINIUM.

Peridinium willei Huitf.-Kaas

Nebenformen: siehe erster Teil vorliegender Arbeit. - Die typische Form mit etwas zusammengeklemmter Epivalva fand sich in folgenden Gewässern:

Holstein: Großer Plöner See (8. 1917); Uklei-See (5. 1918; 8. 1916); Stocksee (5. 1918); Behlersee (9. 1917); Suhrersee (5. 1918); Schöhsee (5. 1918). Lauenburg: Garrensee (8. 1917); Schaalsee (8. 1916; 8. 1917). Mecklenburg: Müritz (22. 4. 1918). Westpr. Schloßsee bei Briesen (9. 1918); Großer Krzywce-See (4. 7. 1900); Krenuskesee bei Förstenau (10. 10. 1900); Dlugi-See bei Schwornigahr (5. 7. 1900); Kafkensee (13. 8. 1909). Brandenburg: Müggelsee (17. 5. 1911). Posen: Gorka-See (3. 6. 1917); Goplo-See (7. 1918); Primenter See (5. 1916). Polen: Wigrysee bei Suwalki (24. 8. 1916). Schlesien: Schlawasee (2. 7. 1918). Bayern: Walchensee (17. 8. 1916). Württemberg: Waldteich zwischen Ringschnait und Hattenburg (1. 9. 1918). Baden: Moor bei Heingarten (11. 1908). Westfalen: Talsperre im Herbringhausertal bei Lüttringhausen¹⁹) (13. 12. 1913). Nebenformen siehe Text.

¹⁹⁾ Siehe Kolkwitz, R.: Mitt. d. Kgl. Prüfungsanstalt, Heft 15, 1911, Seite 366.

Peridinium guestrowiense mihi

Ist im Sommer eine der gemeinsten Formen und findet sich überall. (Fundorte: siehe Seite 154.) Hier seien noch einige Fundorte mitgeteilt: Holstein: Großer Plöner See, Kleiner Plöner See, Edeberg-See, Trammer See, Uklei-See (hier ein etwas abgeplattetes Exemplar, Übergang zur forma compressum), Kellersee, Behlersee. Lauenburg: Garrensee, Schaalsee. Westpr.: Großer Krzywce-See, Nichor-See, Kafken-See. Posen: Bentschener See, Wollsteiner See, Berzyner See, Primenter See, Witoslawer See, Wojnowitzer See, Retschker See, Storchnester See; Teiche und Tümpel

Im Oktober bis November scheint diese Form ganz zu verschwinden. Man trifft dann höchstens noch leere Hüllen an. Herr Professor Dr. Thienemann hatte die Liebenswürdigkeit, mir 4 Vergleichsproben aus dem Großen Plöner See zu senden, vom 28. 10. 1918, 19. 11. 1918, 25. 11. 1918 und 10. 2. 1919. Im Fange vom Oktober war P. guestrowiense schon recht selten; im November fand ich nur noch 1 Exemplar. Dafür wurde allmählich P. willei häufiger.

Peridinium cinctum Stein

Die gemeinste Form aller Peridineen. Ich habe sie fast in jedem Gewässer, vom großen Landsee (Müritz, Wigrysee bei Su-walki) bis zum kleinsten Tümpel oder Graben, gefunden. Sie scheint auch leicht verschmutztes Wasser nicht zu verschmähen. (Fundorte siehe Seite 162.) (Nebenformen siehe dort.)
Ich habe P. cinctum fast in allen untersuchten Seen gefunden

(Holstein: 14 Seen, Lauenburg: 2 Seen, Westpr.: 8 Seen usw.), häufig trifft man Formen, die zur forma angulatum überleiten, so

im Schöhsee, Uklei-See, Trammersee u. a. m.

Auch diese Form verschwindet im Herbst scheinbar total; ich habe sie in den 4 bei P. guestrowiense erwähnten Proben aus dem Großen Plöner See noch im Oktober einzeln festgestellt, dann am 19. 11. waren noch einige Exemplare vorhanden, am 25. 11. fand ich nichts mehr. Mitunter kommt diese Form jedoch noch im Dezember vor.

Peridinium laeve Huitf.-Kaas

Diese Form ist mit der subsp. marssoni zweifellos eine typische Winterform, die in Seen allerdings (wie P. willei) ihr Entwicklungsmaximum erst im Mai hat. Um so mehr überrascht es, daß man in ganz seltenen Fällen plötzlich mitten im Hochsommer in einem vereinzelten Teiche diese Form in höchster Entwicklung antrifft: so konnte ich sie im Juli 1918 in einem Wiesenteiche am Waldesrande bei Borek (Posen) großartig entwickelt feststellen.
Unter dem Eise habe ich P. l. subsp. marssoni in größeren

Seen seltener angetroffen und stets nur vereinzelt, dagegen kam

es in Teichen und Tümpeln meist in großer Menge vor.

Holstein: Sommerfänge aus 18 Seen enthielten kein einziges Exemplar. Unter dem Eise (Februar 1919) fand sich die subsp. marssoni im Edebergsee (1 Ex.) und im Plussee (1 Ex.). Westpr.: Biallasee (16. 6. 1914) (1 Ex.). Ostpr.: Kl. Regler See (29. 4. 1908) (1 Ex.); Kurisches Haff bei Memel, Brackwasser, vereinzelt. (28. 9. 1906). Posen: Primenter See (5. 1917), "Wasserblüte" von subsp. marssoni; Witoslawer See (im Sommer eine leere Hülle; im Winter unter dem Eise gut entwickelt). Schles.: Teich im Botanischen Garten zu Breslau. Die Assistentin im dortigen Institut, Frl. Kaethe Reiter, hatte die Liebenswürdigkeit, mir eine Reihe von Proben aus dem Frühjahre 1918 aus diesem Teiche zur Verfügung zu stellen. Im März herrschten noch P. aciculiferum und wierzejski-ähnliche Formen vor, P. l. subsp. marssoni war nur in einzelnen Exemplaren vorhanden. Am 11. 4. war die subsp. marssoni schon überwiegend vorhanden, um am 3. 5. den Höhepunkt der Entwicklung erreicht zu haben. Von nun an wurde es mehr und mehr von P. berolinense verdrängt. Ich halte diese Entwicklung für sehr typisch; nur tritt P. berolinense oft erst etwas später auf.

Staszicella dinobryonis Wołosz.

Diesen in systematischer Hinsicht noch unsicheren Planktonepibionten trifft man hin und wieder in Seen an.

Holstein: Großer Plöner See (23. 8. 18); Behler See (7. 8. 1917) sehr selten. Schöhsee (12. 7. 1918). Westpr.: Glowkasee

bei Poln. Cekcin (10. 7. 1900) selten.

Wie ich bereits mitteilte, habe ich mich bemüht, bei Abschluß meiner posener Tätigkeit hier noch einmal alle Peridineenfundorte aus der Provinz Posen, die mir bekannt geworden sind, zusammenzustellen (Archiv f. Protk. Bd. 39; vorliegender Text und dieser Anhang). Somit will ich nun auch noch die Fundorte der übrigen gefundenen Peridineen aus hier nicht näher behandelten Gruppen folgen lassen.

Sphaerodinium cracoviense Wołosz. Die 3 von Wołoszyńska angegebenen Arten sind wahrscheinlich zusammenzuziehen. Die von mir gefundenen Formen entsprechen am meisten der Spezies cracoviense. (Nach meiner Ansicht ist dieses sicher die frühere Form Glenodinium cinctum Ehrbg., nicht, wie Woloszynska meint P. Dybowski. Freilich hat man letztere, sowie P. polonicum oft dafür angesehen.²⁰) Trachenberg: Jamnigteich, Kainoweteich.

²⁰) Bachmanns Abbildung (Phytopl. d. Süßw., Seite 97, Fig. 91) paßt, wie die Beschreibung Seite 102 besser auf das in Seen häufige *P. polonicum*, als auf *Gl. cinctum* Ehrbg. Daher habe auch ich mich veranlaßt gesehen, in meiner ersten Arbeit über das Pesener Scenplankton *P. polonicum* als *Gl. cinctum* Ehrbg. zu bezeichnen. (Ztschr. d. nat. Abt. d. d. Ges. f. Kunst u. Wiss. Pesen, Nr. 77, Seite 6, 10, 22, 23.) Ebendert ist stets für *P. quadridens* zu schreiben: *P. cunningtoni* var. *pseudoquadridens mihi*, das ich spätet (Arch. f. Protk., Bd. 39) klarstellte.

Borek (Posen): Teich im Park des Schlosses Karlshof. Creba (Schlesien): in einem Fischteiche. Masurische Seen.

Glenodinium oculatum Stein (= Peridinium oculatum Wołosz.) Teich an der Brennerei bei Schloß Karlshof (Borek) (Posen); Creba: Ochsenteich.

Spirodinium silvaticum mihi Kankeler Waldteich bei Lissa

Gymnodinium fuscum Stein: Ziegeleiteich (Lehmteich) Trebchen bei Lissa (Posen). Vereinzelt im Frühjahr.

Gymnodinium leopoliense Wolosz. Teich a. d. Brennerei bei

Schloß Karlshof (Borek) (Posen).

Gymnodinium tenuissimum Lauterb. Sepoldteiche bei Lissa (Posen); Schwarzer See bei Güstrow (Mecklenburg).

Gymnodinium carinatum var. hiemale Wolosz. Überall in

kleinsten Wasserlöchern (Pfützen in Wäldern) bei Lissa (Kankel).

Amphidinium obrae mihi siehe Archiv f. Protk. Bd. 39.

Heterocapsa triquetra Stein (im Süßwasser) siehe Archiv f. Protk. Bd. 39.

Allen denen, die mich bei meinen Untersuchungen hilfsbereit unterstützt haben, spreche ich auch an dieser Stelle meinen wärmsten Dank aus: ganz besonders Herrn Professor Dr. A. Thienemann für die freundliche Übersendung seines gesamten Planktonmateriales aus norddeutschen Seen, sowie Herrn Professor Dr. R. Kolkwitz und Herrn Professor Dr. A. Seligo, ebenfalls für die Übersendung reichhaltigen Materiales. Ebenso bin ich den Herren Dr. Br. Schröder, Dr. Schaedel, den Wasserbauämtern in Köpenick und Lötzen und der Nahrungsmittel-Untersuchungsstelle zu Köln zu besonderem Danke verpflichtet.

Literatur.

Außer den bereits in meiner ersten Arbeit über die Variationsformen der Süßwasserperidineen im Archiv für Protistenkunde Band 39, Heft 3, angegebenen Werken nenne ich hier noch folgende: Bachmann, H., Das Phytoplankton des Süßwassers mit bes. Ber.

d. Vierwaldstätter Sees. Jena 1911. Briquet, J., Règles internationales de la Nomenclature botanique.

Jena 1912.

Huitfeldt-Kaas, H., Die limnetischen Peridineen. In Kom-

mission bei Jakob Dybwad, Christiania 1900. Kolkwitz, R., Über die Ursachen der Planktonentwicklung im Lietzensee. Ber. d. deutsch-bot. Gesellschaft Bd. XXXII, Heft 10, 1914.

Lindemann, E., Zeitschrift d. nat. Abt. d. deutsch. Ges. f. Kunst u. Wiss. Posen, Nr. 77, 1916; Nr. 81, 1917; Nr. 83, 1918.

— Archiv des Vereins der Freunde d. Natgesch. in Mecklenburg 71,

Paulsen, O., Peridinales, in "Nord. Plankton". Heft XVIII.

Archiv für Naturgeschichte 1918. A. 8. 8. Heft 13

Schilling, A. in Paschers Süßwasserflora. Heft 3.

Schröder, Br., Über Planktonepibionten. Biolog. Centralbl.
Bd. XXXIV, Nr. 5, 1914.
Schwebepflanzen a. d. Wigrysee bei Suwalki (Polen). Ber. d.

deutsch-bot. Ges. Bd. XXXV, Heft 3, 1917.

— Beitr. z. K. d. Phytopl. aus d. Kochel- u. Walchensee. Ebenda

Bd. XXXV, Heft 7, 1917.

— Phytoplankton a. d. Schlawasee. Ebenda Bd. XXXV, Heft 9,

Seligo, A., Tiere u. Pflanzen des Seenplanktons. Stuttgart.

Thienemann, A. Unt. üb. d. Beziehungen zw. d. Sauerstoffgehalt d. Wassers u. d. Zusammensetzung d. Fauna in nordd. Seen. Arch. f. Hydrob. u. Plk. Bd. XII, 1918.

Virieux, J., Šur la reproduction d'un Péridinien limnétique, P. westi Lemm., in Comptes rendues d. séances d. l. Soc. de

Biologie, Tome LXXVI, pag. 534. Paris 1914.

West, G.S., Journal of the Linnean Society (Botany), Vol. XXXIX London 1909-11.

Woloszynska, J., Sitzungsber. d. Warschauer Ges. d. Wiss. 1913 Liefg. 7.

Beitrag zur Kenntnis der Dynastiden.

Von

Paul Minck, Berlin.

(Mit 26 Textfiguren.)

10. Asiatische Xylotrupiden.

I. Allgemeine Betrachtungen.

Eine umfangreiche Sendung der Fa. Dr. O. Staudinger und A. Bang-Haas, Dresden, gab mir Gelegenheit, einen Blick in die Formenmannigfaltigkeit der Gattung Xylotrupes zu werfen.

In dieser Gattung fällt in erster Linie ein sehr komplizierter sekundärer Geschlechtsdimorphismus auf, der z. T. durch geographische Separation und entsprechend verschiedenartige Daseinsbedingungen innerhalb des Gesamtverbreitungsgebietes, der Spezialisierung unterworfen gewesen ist. Er erstreckt sich auf den Kopf, Halsschild, die Flügeldecken, die Vorderbeine und bei der Gattung Trypoxylus auch auf die Hinterbeine.

Die Männchen tragen auf dem Kopfe und dem Halsschild ein mehr oder weniger stark entwickeltes Horn, das am Ende gegabelt ist. Bei einzelnen Arten, namentlich stark entwickelten Individuen, ist das Kopfhorn außerdem in halber Höhe mit einem nach

ZOBODAT - www.zobodat.at

Zoologisch-Botanische Datenbank/Zoological-Botanical Database

Digitale Literatur/Digital Literature

Zeitschrift/Journal: Archiv für Naturgeschichte

Jahr/Year: 1918

Band/Volume: 84A 8

Autor(en)/Author(s): Lindemann Erich

Artikel/Article: Untersuchungen über Süßwasserperidineen und

ihre Variationsformen II. 121-194